

UNIVERSIDAD NACIONAL DE INGENIERIA

Programa Académico de Ingeniería Civil



ANALISIS DINAMICO
DE MODELOS ESTRUCTURALES
EMPLEANDO ENVOLVENTES SISMICAS
DE VELOCIDADES

TESIS DE GRADO

Para optar el Título de Ingeniero Civil

JOSE OSCAR RODRIGUEZ SALCEDO

PROMOCION 1972

LIMA - PERU 1973

I N D I C E

C A P I T U L O I

	Pág.
I.0 INTRODUCCION GENERAL	1
I.1 METODO DE LAS FUERZAS ESTATICAS EQUIVALENTES	3
I.2 DISEÑO POR ANALISIS ESPECTRAL	3
I.3 ANALISIS TIEMPO - HISTORIA	4

C A P I T U L O II

II.0 NUEVO METODO DE DISEÑO CON ENVOLVENTES SISMICAS DE VELOCIDADES	9
II.1 FUNDAMENTO TEORICO	10
II.1.1 Excitación por Impulso	10
II.1.2 Respuesta de una Vibración General: Integral de Superposición	11
II.1.3 Respuesta de una Estructura de Un Grado de Libertad a un Movimiento del Suelo debido a un Sismo	13
II.1.4 Respuesta de una Estructura de Varios Grados de Libertad al Movimiento del Suelo debido a un Sismo	16
II.2 ENVOLVENTES SISMICAS DE VELOCIDADES	29
II.3 RECOMENDACIONES PARA EL USO DEL METODO	35

C A P I T U L O III

III.0 APLICACION A MODELOS ESTRUCTURALES	40
III.1 DESCRIPCION DE MODELOS	40
III.2 DIMENSIONAMIENTO Y METRADOS	43
III.3 METRADOS	44

C A P I T U L O IV

IV.0 PROGRAMAS DE COMPUTACION	51
IV.1 DIAGRAMAS DE FLUJO DE PROGRAMAS	52
IV.1.1 Subrutina Matriz Multiplicación	53
IV.1.2 Subrutina Eigen Values y Eigen Vectors	54
IV.1.3 Programa Principal	58
IV.2 EXPLICACION DE DIAGRAMAS DE FLUJO	67

	Pág.
IV.2.1 Subprograma EIGEN	67
IV.2.2 Programa Principal	68
IV.3 LISTADO DE PROGRAMAS	71

C A P I T U L O V

V.0 RESUMEN.....	79
------------------	----

C A P I T U L O VI

VI.0 ANALISIS COMPARATIVO CON OTROS DISEÑOS	113
---	-----

C A P I T U L O VII

VII.0 CONCLUSIONES	129
--------------------------	-----

A P E N D I C E	132
-----------------------	-----

B I B L I O G R A F I A	138
-------------------------------	-----

A MIS PADRES

Debo expresar mi más sincero agradecimiento al Ingo. Roberto Morales - Morales por su asesoramiento, así como también por haberme facilitado la bibliografía que hizo posible ese trabajo; de igual forma mi agradecimiento al Centro de Cómputo de la UNI y a todos quienes fueron mis profesores.

C A P I T U L O I

I.O. INTRODUCCION GENERAL

El Perú está situado en el Círculo Circum-Pacífico, que es la zona de mayor frecuencia sísmica del mundo, por lo que está expuesto a continuos terremotos, que traen lamentables consecuencias por las pérdidas de vidas humanas y de bienes materiales.

Cabe destacar el sismo del 31 de mayo de 1970, donde las pérdidas fueron cuantiosas, se estima que en dicho sismo perdieron la vida unas 50,000 personas, hubieron 180,000 heridos y las pérdidas de bienes materiales se estima en la suma de 20 mil millones de soles.

Por lo expuesto: se hace imprescindible lograr un mejor conocimiento sobre el comportamiento dinámico de estructuras usuales. El estudio de este comportamiento es muy complejo, pues, - depende de muchos factores, algunos de ellos imprescindibles; estos factores se agrupan en tres campos:

a).- Referentes a las propiedades de la estructura, fundamentalmente su período de vibración y su coeficiente de amortiguamiento.

b).- Referentes al sismo, fundamentalmente su magnitud y distancia epicentral.

c).- Referentes al suelo donde está ubicada la estructura.

Se han propuesto muchos métodos de diseño que en alguna forma tratan de tomar en cuenta la influencia de los factores enunciados; algunos de estos métodos son muy simples, otros quizás

muy complejos para un análisis práctico de estructuras usuales. Virtualmente en todo análisis sísmico práctico la estructura es analizada como un sistema elástico, aunque se reconoce que este límite puede ser excedido durante un movimiento sísmico violento.

Análisis usando hipótesis inelásticas o elasto-plásticas - solo son hechos como estudios de investigación, pero estas técnicas no son de uso práctico para los ingenieros quienes están limitados por el tiempo, computación y honorarios.

Actualmente no se puede obtener predicciones precisas del comportamiento de edificios durante sismos, esto es porque las técnicas tienen fuentes de inexactitud e incertidumbre: tales como inexactitud en cargas o datos de entrada, inexactitud al asumir las propiedades de la estructura, inexactitud en el análisis o en la interpretación de resultados.

En la actualidad no se disponen de suficientes datos que permitan hacer confiable un diseño en 100 %; las observaciones de daños indican que la intensidad y frecuencia de las vibraciones sísmicas son grandemente influenciadas por las condiciones locales de cimentación y que suelos blandos y profundos pueden amplificar fuertemente la respuesta.

Al asumir las propiedades de la estructura es usual ignorar la participación de los elementos no estructurales, por eso los valores calculados a menudo subestiman la rigidez y resulta que los períodos de vibración son más grandes que los verdaderos. Los verdaderos valores del factor de amortiguamiento tampoco son constantes pues varían con la amplitud y pueden cambiar durante la vida del edificio y durante el progreso de un mismo sismo.

Las técnicas para el análisis de respuesta de estructuras a movimientos sísmicos, en general, tienen sus limitaciones inherentes, las cuales adicionan incertidumbres; a continuación se describen superficialmente los procedimientos más usados en el análisis sísmico.

I.1. Método de las Fuerzas Estáticas Equivalentes.

Incluido en la mayoría de los códigos de diseño antisísmico, probablemente las recomendaciones de la Asociación de Ingenieros Estructurales de California (SEIAC) son las mejores y más usadas en los códigos. El método constituye el producto de observaciones y experiencias de muchos años, pero no es el más representativo del comportamiento sísmico de estructuras. Consiste en tomar como fuerza lateral aplicada en la base, un porcentaje del peso total y luego distribuirla a lo alto del edificio en forma proporcional a la altura y peso de los pisos.

El uso del método de fuerzas estáticas equivalentes constituye un análisis espectral, para el primer modo de vibración, asumiendo desplazamiento lineal.

I.2. Diseño por Análisis Espectral.

Los espectros son el ploteo de las máximas respuestas de un sistema de un solo grado de libertad sometido a la acción de un sismo dado, considerando su período de vibración y su coeficiente de amortiguamiento.

El procedimiento usual para análisis espectral incluye los

siguientes pasos:

- 1).- Selección del espectro de diseño.
- 2).- Determinación de los períodos de vibración y formas ← de modo que van a ser incluidos en el diseño.
- 3).- Lectura de la respuesta en el espectro para el período de cada modo considerado.
- 4).- Cálculo de la participación de cada modo de vibración.
- 5).- Combinación de efectos para obtener la máxima respuesta (desplazamiento, velocidad o aceleración).
- 6).- Transformación de la máxima respuesta en momentos y cortes.

El análisis espectral todavía tiene fuentes de incertidumbre tales como:

- A).- El dato de entrada de espectros es asumido.
- B).- No existe manera de considerar el efecto de duración del mismo.
- C).- Existe incertidumbre al considerar la combinación de efectos.
- D).- Pequeñas inexactitudes en la estimación de la rigidez y amortiguamiento de la estructura tiene considerable efecto sobre las fuerzas, y no existe manera manual de incluir el cambio de no-linealidad.

I.3. Análisis Tiempo-Historia.

Es una análisis que requiere más capacidad de computación y conocimientos que los procedimientos usuales. Generalmente in-

cluye los siguientes pasos:

- 1).- Se selecciona un record sísmico como el representativo de un sismo esperado.
- 2).- El record es digitizado en una serie de pequeños intervalos de tiempo, usualmente en 1/25, 1/40, 1/100 de segundo con su respectivo valor de aceleración ocurrida.
- 3).- Se idealiza un modelo matemático de la estructura que usualmente consiste de una serie de masas concentradas eslabonadas con resortes elásticos; cada masa representa un piso y cada eslabón, la rigidez de los miembros aporticados.
- 4).- El modelo matemático y el record digitizado son suministrados a la computadora, la aceleración indicada en el record se considera aplicada en la base de la estructura.
- 5).- La computadora integra la ecuación de movimiento de cada masa que están sujetas a incremento de elasticidad y fuerzas de amortiguamiento. Se obtienen resultados completos de todo el record y el máximo valor de respuesta se obtienen por exploración de los resultados.

Este procedimiento incluye automáticamente varios modos de vibración y combina sus efectos conforme ocurren, también se sabe en qué momento ocurre la máxima respuesta porque se dispone de escala de tiempo.

Sin embargo este método tiene varias fuentes de incertidumbre tales como:

- a).- El dato de entrada es asumido.
- b).- Por la naturaleza errática de los sismos una pequeña variante en la estimación de las características de la estructura puede reflejar un cambio grande en la respuesta.

Recientemente (1972) el Japón ha propuesto un nuevo método de análisis dinámico antisísmico que ha sido incorporado al reglamento japonés de construcciones. En resumen este método tiene los siguientes pasos:

- 1).- Se calcula una velocidad de diseño que depende de la ubicación, uso de la estructura, interacción suelo-estructura y de la velocidad espectral.
- 2).- A su vez la velocidad espectral depende del período predominante del suelo, del período de vibración y amortiguamiento de la estructura y de la velocidad estandar
- 3).- La velocidad estandar toma en cuenta la sismicidad de la zona donde está ubicada la estructura, este valor será diferente para zonas de mayor o menor sismicidad. El Japón como consecuencia de un estudio de su sismicidad para la velocidad estandar ha adoptado el valor de 60 cm/seg.
- 4).- En base a la velocidad de diseño es posible calcular los desplazamientos y fuerza cortante de los pisos

por intermedio de las fórmulas que son variantes del método espectral; estas fórmulas incluyen las formas de modo, factor de participación, masa de cada piso y frecuencia angular de vibración. Este método también nos da la oportunidad de incluir un parámetro que toma en cuenta el comportamiento no-lineal de la estructura representado por su ductilidad y que modificará los cortantes obtenidos.

En nuestro medio para el análisis de estructuras usuales se utiliza el procedimiento propuesto por el Reglamento Peruano - de Diseño Antisísmico, el cual en resumen viene a ser el método - estático de fuerzas equivalentes.

Para análisis de estructuras de mayor importancia recomienda usar un análisis dinámico sobre la base de un espectro teórico

$$Sa = c \cdot g = .05 \cdot g / \sqrt[3]{T}$$

Dada las condiciones expuestas anteriormente creemos que es necesario contar con un método de análisis práctico más real y que a su vez represente tiempos mínimos de computación empleados.

El objetivo de esta Tesis es analizar el nuevo método propuesto en Japón y recomendar su uso, porque de acuerdo a los estudios efectuados creemos que muy bien puede adaptarse en nuestro medio; además nos permite jugar con los parámetros que tienen efecto sobre la respuesta sísmica, en forma más directa, así como también nos permite escoger la velocidad estandar de acuerdo a la sismicidad de la zona y la cual, como primera aproximación, podrá tomarse de un mapa de regionalización sísmica, obtenido me-

diente un estudio de la sismicidad de nuestro medio ya efectuado anteriormente. (11)*

En los capítulos siguientes se sigue el proceso de este método desde la parte teórica hasta la obtención de resultados, en la siguiente forma:

En el Capítulo II se trata la parte teórica relacionada con el método propuesto, también se menciona la parte de envolventes sísmicas de velocidades y algunas recomendaciones.

En el Capítulo III se describen los modelos estructurales analizados, dimensionamiento y metrados.

En el Capítulo IV se trata lo referente con los programas de computación utilizados, diagramas de flujos y listados.

En el Capítulo V se dan los resultados de análisis de los modelos estudiados.

En el Capítulo VI se hace un análisis comparativo de los resultados obtenidos con el método propuesto y aquellos que se obtienen del método estático y método espectral del Reglamento Peruano de diseño antisísmico, esta comparación se hace en forma gráfica.

Finalmente en el Capítulo VII se dan las conclusiones, apéndices y bibliografía.

* Los números entre paréntesis representan las referencias dadas en la Bibliografía.

C A P I T U L O II

II.O. NUEVO METODO DE DISEÑO CON ENVOLVENTES SISMICAS DE VELOCIDADES.

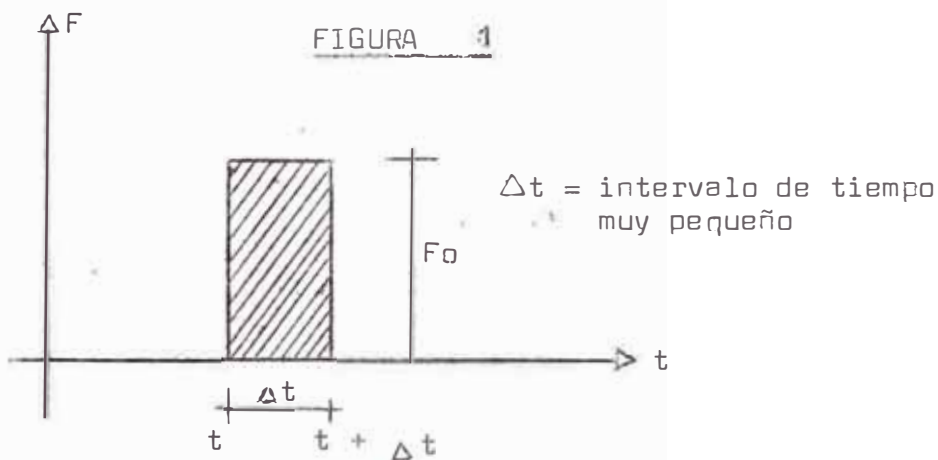
El nuevo método japonés propuesto es una variante del análisis dinámico espectral; por ello vamos a dar un resumen de la teoría indicando a partir de qué punto se hace tal cambio. Con tal objetivo primeramente obtenemos la respuesta de una excitación por impulso y a través de este resultado se puede evaluar la respuesta para una vibración general transitoria; el problema sísmico para un sistema de un solo grado de libertad es asimilado a la respuesta de una vibración transitoria. Cuando se tiene una estructura de varios grados de libertad que es lo que sucede en edificios de más de un piso, es posible analizarla con los conocimientos anteriores aplicando el concepto de formas de modo de vibración, luego la estructura es analizada como sistemas independientes de un solo grado para cada forma de modo de vibración y la respuesta total se obtiene por superposición.

Para nuestro caso, en el momento de obtener las fuerzas dinámicas (fuerza de inercia) para cada piso, en lugar de utilizar la respuesta espectral de velocidad usamos la velocidad de diseño, que viene a ser la velocidad que llega a la estructura cuando el suelo se mueve con una velocidad determinada, en la obtención de la velocidad de diseño intervienen varios factores que serán vistos posteriormente.

II.1. FUNDAMENTO TEÓRICO.

II.1.1. Excitación por Impulso.

Evaluaremos la respuesta transitoria de una excitación particular de impulso, más tarde aplicando el principio de superposición a los resultados obtendremos la respuesta de cualquier excitación arbitraria.



De la ecuación de impulso - variación de momento

$$I = F_0 \Delta t = m \dot{x}_t + \Delta t - m \dot{x}_t$$

Considerando

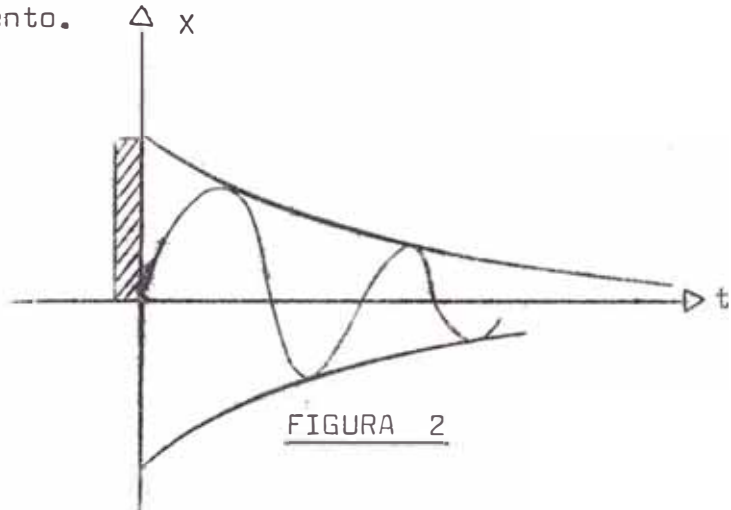
$$x_t = 0 ; \dot{x}_t = 0$$

$$\dot{x}_{t + \Delta t} = F_0 \Delta t / m = I / m$$

Si medimos el tiempo desde el fin del impulso y asumiendo que no hay cambio apreciable de desplazamiento durante el intervalo pequeño Δt ; entonces las condiciones iniciales son:

$$t = 0 ; x_0 = 0 ; \dot{x}_0 = I / m$$

Siendo $F(t) = 0$ para $t > 0$ y no habiendo fuerza de excitación, el sistema estará sometido a una vibración libre con amortiguamiento.



La ecuación diferencial es:

$$\ddot{x} + 2\delta \omega_1 \dot{x} + \omega_1^2 x = 0 \quad (1)$$

Cuya solución es:

$$x = e^{-\delta \omega_1 t} (C_1 \sin \omega_1 t + C_2 \cos \omega_1 t) \quad (2)$$

Aplicando las condiciones iniciales

$$t = 0 ; \quad x_0 = 0 ; \quad C_2 = 0$$

$$t = 0 ; \quad \dot{x}_0 = I/m ; \quad C_1 = 1/\omega_1^2 I/m$$

Tenemos:

$$x = \frac{I}{m \omega_1^2} e^{-\delta \omega_1 t} \frac{-\delta \omega_1 t}{\sin \omega_1 t} \quad (3)$$

II.1.2 Respuesta de una Vibración General Transitoria Integral de Superposición.

Si tenemos una excitación transitoria arbitraria, su res-

puesta se puede obtener aplicando los resultados anteriores de impulso.

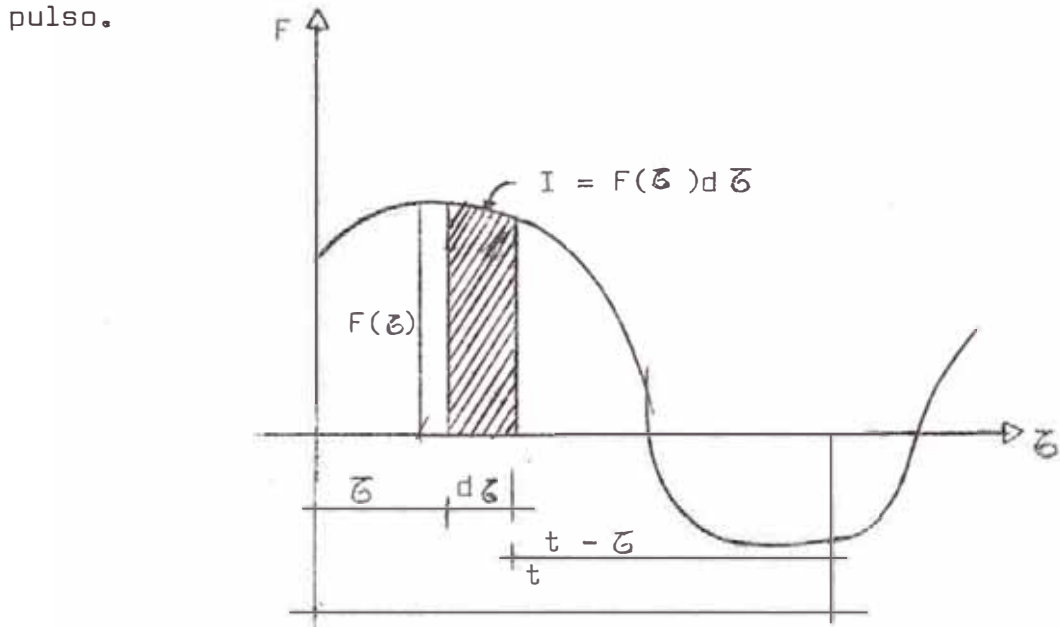


FIGURA 3

Considerando el sistema inicialmente en reposo

$$\ddot{\xi} = 0 ; \quad x_0 = 0 ; \quad \dot{x}_0 = 0$$

Según ecuación (3) la respuesta debida a un impulso cualquiera (zona achurada en la Figura) sin considerar los otros impulsos puede ser escrita como.

$$dx = \frac{I}{m \omega_1} e^{-\omega_1 (t - \xi)} \operatorname{Sen} \omega_1 (t - \xi) \quad (4)$$

Pero como

$$I = F(\xi) d\xi$$

Luego

$$dx = \frac{F(\zeta)}{m \omega_1^2} e^{-j\omega_1(t-\zeta)} \sin \omega_1(t-\zeta) d\zeta \quad (5)$$

El efecto de todos los impulsos desde el intervalo $\zeta = 0$ a $\zeta = t$ contribuye a la respuesta total en el tiempo t .

$$x = \int_0^t \frac{F(\zeta)}{m \omega_1^2} e^{-j\omega_1(t-\zeta)} \sin \omega_1(t-\zeta) d\zeta \quad (6)$$

$$\omega' = \omega_1 \sqrt{1 - \zeta^2}$$

Esta ecuación es conocida como la integral de Duhamel, de superposición o de Convolución.

II.1.3 Respuesta de una estructura de un grado de libertad a un Movimiento del suelo debido a un sismo.

Los resultados derivados anteriormente son suficiente para encontrar la máxima respuesta desarrollada en una estructura debida a un sismo.

La ecuación diferencial de movimiento de una estructura flexible cuando la base es excitada por una aceleración \ddot{x}_g puede ser escrita como :

$$m \ddot{x}_r + C x_r + k x_r = -m \ddot{x}_g = F(t) \quad (7)$$

donde $F(t)$ representa la fuerza de inercia aplicada como una dis-

turbación a la masa m del sistema y X_r es el desplazamiento relativo entre la masa y el movimiento del suelo; en la práctica \ddot{x}_g es la componente horizontal de la aceleración de la base que es asumida igual a la aceleración del suelo e idéntica al record tiempo-aceleración obtenida desde el acelerógramo para movimientos fuertes durante un terremoto.

La respuesta de desplazamiento relativo $X_r(t)$ puede ser obtenida para cualquier tiempo, t , mediante la integral de Duhamel reemplazando $F(\zeta)$ por $-m \ddot{x}_g(\zeta)$, entonces la expresión exacta para el desplazamiento relativo toma la forma

$$X_r(t) = \frac{1}{\omega_n \sqrt{1 - \zeta^2}} \int_0^t \ddot{x}_g e^{-j\omega_n(t-\zeta)} \operatorname{Sen} \omega_n \sqrt{1 - \zeta^2} (t - \zeta) d\zeta \quad (8)$$

Vamos a definir las siguientes expresiones

$$S = \int_0^t \ddot{x}_g(\zeta) e^{-j\omega_n(t-\zeta)} \operatorname{Sen} \omega_n(t-\zeta) d\zeta \quad (9)$$

$$C = \int_0^t \ddot{x}_g(\zeta) e^{-j\omega_n(t-\zeta)} \cos \omega_n(t-\zeta) d\zeta \quad (10)$$

de acuerdo a la expresión (8) el desplazamiento relativo se puede expresar como:

$$x_r(t) = -\frac{1}{\omega_i} s \quad (11)$$

Las expresiones para la velocidad y aceleración se puede obtener derivando la expresión (11) y éstas son:

$$\dot{x}_r(t) = \frac{\delta}{\sqrt{1-\delta^2}} s - c \quad (12)$$

$$\ddot{x}_r(t) = -\frac{\delta^2 \omega_i}{\sqrt{1-\delta^2}} s + 2\delta \omega_i c + \omega_i^2 c + \omega_i^2 s = \ddot{x}_g(t) \quad (13)$$

Para pequeños amortiguamientos $\omega_i \approx \omega_i$ y teniendo en cuenta que $|s|_{\max} = |c|_{\max}$.

Tenemos las siguientes expresiones:

$$|x_r|_{\max} = \frac{1}{\omega_i} |s|_{\max} \quad (14)$$

$$|\dot{x}_r|_{\max} = |c|_{\max} = |s|_{\max} \quad (15)$$

$$|\ddot{x}|_{\max} = |\ddot{x}_r + \ddot{x}_g|_{\max} \approx \omega_i |s|_{\max} \quad (16)$$

Denominando :

S_d = desplazamiento relativo maximo experimentado por la estructura durante un sismo = espectro de respuesta de desplazamiento.

S_v = Velocidad relativa maxima que ocurre en la estructura durante un sismo = espectro de respuesta de velocidad.

S_a = Aceleración absoluta máxima que ocurre en la estructura durante un sismo = espectro de respuesta de aceleración.

De acuerdo a ello se tiene las siguientes expresiones :

$$S_d = |X_r|_{\max} = \frac{1}{\omega_1} |S|_{\max} = \frac{1}{\omega_1}, \quad S_v = \frac{T}{2\pi} S_v \quad (17)$$

$$S_v = |X_r|_{\max} = |S|_{\max} = S_v \quad (18)$$

$$S_a = |\ddot{X}_r + \ddot{X}_g|_{\max} = \omega_1, \quad |S|_{\max} = \omega_1, \quad S_v = \frac{2\pi}{T} S_v \quad (19)$$

II.1.4 Respuesta de una estructura de varios grados de libertad al movimiento del suelo debido a un sismo.

Un sistema de muchos grados de libertad se puede analizar como varios sistemas independientes de un solo grado, y obtener su respuesta por superposición.

Para tal efecto se acostumbre idealizar la estructura como un sistema masa - resorte (Fig. 4); cada masa representa un piso y los resortes representan las rigideces de los miembros aportados.

Por razones prácticas vamos a estudiar un sistema de 3 grados, pero todo lo que se dice para dicho sistema es válido para cualquier otro.

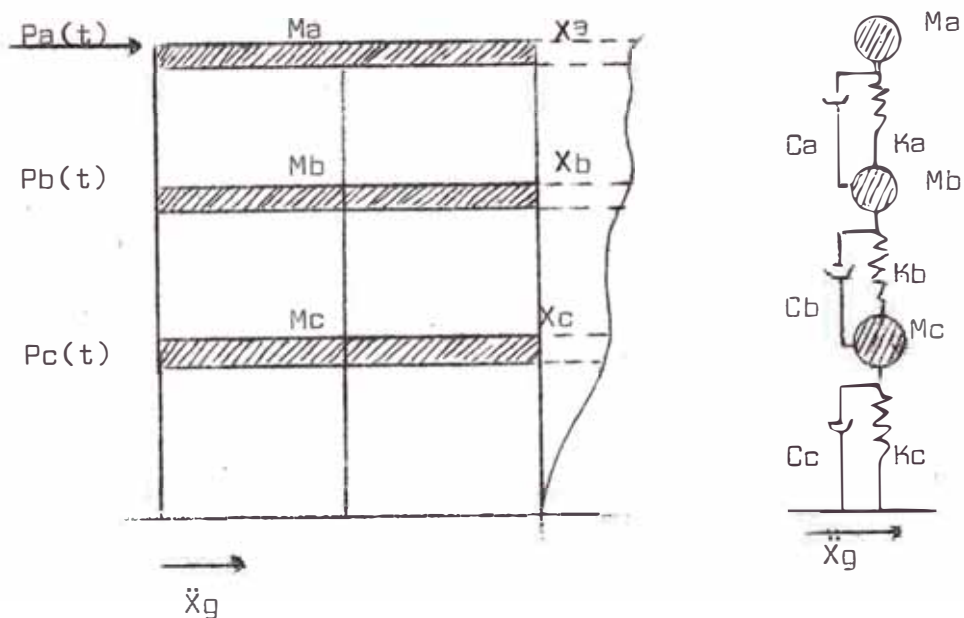


FIGURA 4

La ecuación de movimiento para cada piso es:

$$F_{Ia} + F_{ca} + F_{ka} = P_a(t)$$

$$F_{Ib} + F_{cb} + F_{kb} = P_b(t) \quad (20)$$

$$F_{Ic} + F_{cc} + F_{kc} = P_c(t)$$

donde

F_I = fuerza de inercia

F_c = fuerza de amortiguamiento

F_k = fuerza elástica

La fuerza de inercia será igual a la masa de cada piso por su aceleración.

$$F_{Ia} = M_a \ddot{x}_a$$

$$F_{Ib} = M_b \ddot{x} \quad (21)$$

$$F_{Ic} = M_c \ddot{x}$$

En forma matricial puede representarse

$$\begin{Bmatrix} F_{Ia} \\ F_{Ib} \\ F_{Ic} \end{Bmatrix} = \begin{bmatrix} M_a & 0 & 0 \\ 0 & M_b & 0 \\ 0 & 0 & M_c \end{bmatrix} \begin{Bmatrix} \ddot{x}_a \\ \ddot{x}_b \\ \ddot{x}_c \end{Bmatrix} \quad (22)$$

o también

$$\{F_I\} = [M] \{x\} \quad (23)$$

La fuerza elástica depende de los desplazamientos del sistema y puede representarse convenientemente por la influencia de los coeficientes de rigidez.

$$\begin{aligned} F_{ka} &= k_{aa} X_a + k_{ab} X_b + k_{ac} X_c \\ F_{kb} &= k_{ba} X_a + k_{bb} X_b + k_{bc} X_c \\ F_{kc} &= k_{ca} X_a + k_{cb} X_b + k_{cc} X_c \end{aligned} \quad (24)$$

En forma matricial se puede expresar como

$$\{F_k\} = [k] \{x\} \quad (25)$$

En forma similar se obtiene la expresión para la fuerza de amortiguamiento.

$$\{F_c\} = [c] \{x\} \quad (26)$$

reemplazando (23), (25), (26) en (20)

$$[M] \{ \ddot{x} \} + [C] \{ \dot{x} \} + [K] \{ x \} = P(t) \quad (27)$$

La expresión (20) es la ecuación que gobierna el problema sísmico.

Los mismos factores que gobiernan la respuesta dinámica de un sistema de un solo grado, controlan la respuesta de un sistema de muchos grados, es decir, el período de vibración y la forma de desplazamiento.

Asumiendo un comportamiento de vibración libre sin amortiguamiento de la ecuación (27) tenemos:

$$[M] \{ \ddot{x} \} + [K] \{ x \} = 0 \quad (28)$$

Teniendo en cuenta que en vibración libre el movimiento es armónico:

$$x = \bar{x} \operatorname{Sen} \omega t \quad (29)$$

Reemplazando en (28)

$$[K] \{ x \} = \omega^2 [M] \{ x \} \quad (30)$$

La ecuación (30) representa el problema EIGEN, ésta ecuación provee n frecuencias ω_n (ó períodos) y n formas de modo ϕ_n para problemas de n grados de libertad.

$$[\phi] = [\phi_1 \ \phi_2 \ \dots \ \phi_n] \quad (31)$$

Estas formas de modo tienen 2 propiedades fundamentales de

ortogonalidad

$$\{\phi_n\}^T [M] \{\phi_m\} = 0 \text{ para } m \neq n \quad (32)$$

$$\{0_n\}^T [k] \{\phi_m\} = 0 \text{ para } m \neq n \quad (33)$$

En general un desplazamiento X_i puede obtenerse como la suma de las contribuciones de cada modo

$$X_i = \sum_{n=1}^N \phi_{in} Y_n \quad (34)$$

donde Y_n es la amplitud para el modo n .

En forma matricial puede expresarse como

$$\{x\} = [\phi] \{y\} \quad (35)$$

a $\{y\}$ se le llama vector coordenada generalizada y representa las amplitudes de cada modo de vibración, reemplazando en ecuación (27)

$$[M] [\phi] \{\ddot{y}\} + [C] [\phi] \{\dot{y}\} + [k] [\phi] \{y\} = P(t) \quad (36)$$

Premultiplicando por la transpuesta de $[\phi]$

$$[\phi]^T [M] \{\ddot{y}\} + [\phi]^T [C] \{\dot{y}\} + [\phi]^T [k] \{y\} = \\ [\phi]^T P(t) \quad (37)$$

Por las condiciones de ortogonalidad vemos que obtendremos n ecuaciones independientes de un solo grado de libertad.

Teniendo en cuenta que $P(t)$ puede representarse como

$$P(t) = -[M] \ddot{x}_g \quad (38)$$

La solución para el enésimo modo puede obtenerse por la integral de Duhamel como hemos visto anteriormente.

$$y_n(t) = -\frac{\beta_n}{\omega_1 \sqrt{1-\delta^2}} \int_0^t \ddot{x}_g e^{j\omega_1(t-\tau)} \sin \omega_1 \sqrt{1-\delta^2} (t-\tau) d\tau \quad (39)$$

donde : β_n = factor de participación

$$\beta_n = \frac{\{\phi\}^T [M] \begin{Bmatrix} 1 \\ \vdots \\ 1 \end{Bmatrix}}{\{\phi\}^T [M] \{\phi\}} \quad (40)$$

La fuerza dinámica en cada piso es

$$F_i = [k] \{x_i\} \quad (41)$$

$$F_i = [k] \{\phi_n\} \quad y_n$$

$$\text{Como } [k] \{\phi_n\} = \omega^2 [M] \{\phi_n\}$$

$$F_i = \omega^2 [M] \{\phi_n\} \quad y_n$$

teniendo en cuenta que:

$$S_a = \omega^2 Y_n = \omega S_v \quad (42)$$

reemplazando en (41)

$$F_i = [M] \{Q_n\} \omega S_v \quad (43)$$

para el modo n y el piso i el valor de F_i será

$$F_i = \beta_n m_i q_{in} \omega S_v \quad (44)$$

La ecuación (44) es la base del método propuesto pero la obtención de S_v será mediante la participación directa de todos los factores que intervienen en la respuesta dinámica de estructuras.

En nuestro caso llamamos a S_v la velocidad de diseño y lo representamos como V_d ; Para obtener V_d debe hallarse primero S_v que a la vez está determinada por S_o .

En forma esquemática puede representarse como:

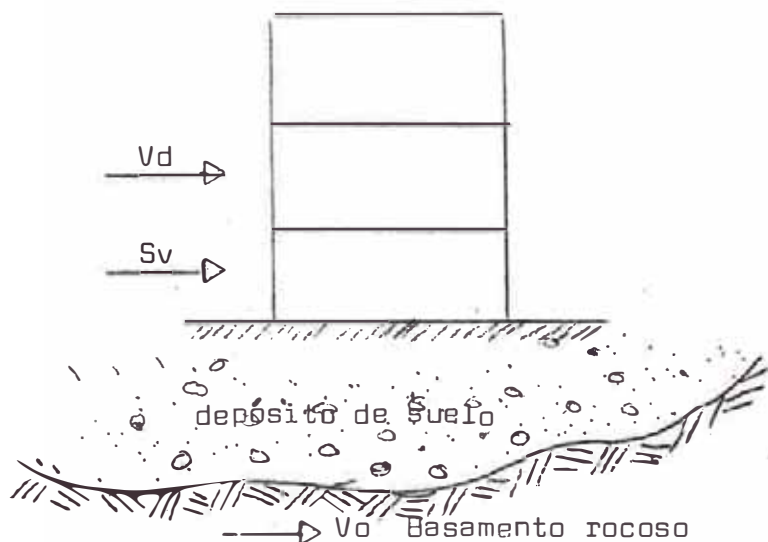


FIGURA 5

V_o = velocidad estandar

S_v = velocidad básica espectral

V_d = velocidad de diseño

La velocidad de diseño se obtiene con la siguiente fórmula:

$$V_d = Z \cdot I \cdot E \cdot S_v$$

donde : V_d = velocidad de diseño

Z = factor que depende de la ubicación del edificio

I = factor que depende del uso del edificio

E = factor de modificación debido a la relación
suelo-estructura

S_v = velocidad básica de respuesta espectral.

A su vez S_v está relacionada con el período del edificio,
período del suelo, amortiguamiento del edificio de la siguiente -
manera :

$$S_v = M_1 \cdot M_2 \cdot S_r \cdot V_o$$

donde :

M_1 = coeficiente que depende del período predominante
del suelo.

M_2 = coeficiente dependiente del factor de amortigua
miento.

S_r = velocidad especial normalizada decidida por

$$r = T_b / T_g$$

$$S_r = r \text{ si } 0 \leq r \leq 1$$

$$S_r = 1 \text{ si } r > 1$$

T_b = período de la estructura en un modo arbitrario
 \bar{T}_g = período predominante de diseño del subsuelo
 T_g = período predominante del suelo
 V_0 = velocidad estandar que se obtiene de los mapas de * regionalización sísmica; en nuestro caso primero debemos multiplicar esta velocidad por el factor de amplificación.

A continuación se proporciona las tablas para escoger los valores de todos los factores que intervienen en la obtención de la velocidad de diseño.

Z de 0.8 a 1.0 según sea zona de mayor o menor sismicidad

FACTOR I

Edificios	I
Estaciones radiales, televisión hospitales, reservorios	1.5
Estaciones telegráficas, teléfónicas, bomberos	1.3
Oficinas gubernamentales, edificios escolares, edificios muy altos ($h > 60$ m.), edificios de grandes plantas ($A > 10000\text{m}^2$)	1.2
Otros	1.0

F A C T O R E		E F F I C I O D E :						
CONDICION DEL SUELO	MADERA	ALBÁNI- LEIRA	PURT. DE CIMENT. ARM.	PAREDES DE C. ARM.	PAREDES DE C. PRE- TENSADA	ESTRUCT MIXTAS	ACERO	PORTICOS DE CONG. ARM. C/PERF
SUELO MUY ESTABLE Y DURO (ROCA, GRAVA, ARENA GRÁVESA)	0.7	1.5	1.0	1.3	1.5	1.0	0.9	0.9
SUELO BUENO (ARENOZA, GRAVOSA, ARENA DURA)	1.0	1.3	1.1	1.2	1.3	0.9	1.0	1.0
SUELO ESTABLE (ARCILLA ARENOSA Y GRAVOSA Y MIXTOS)	1.3	1.3	1.2	1.0	1.2	0.9	1.0	1.2
SUELO MALO Y BLANCO	1.5	1.3	1.3	0.9	1.2	0.9	1.1	1.3

Valores de M1		
Tg (seg)	\bar{T}_g (seg)	M1
$T_g \leq 0.5$	0.5	1.0
$0.5 < T_g \leq 1.5$	1.0	1.5
$T_g > 1.5$	2.0	2.0

Valores de M2	
Amortiguamiento h	M2
$h \leq 0.01$	1.0
$h = 0.05$	0.7
$h = 0.20$	0.4
$h \geq 0.5$	0.2

Una vez obtenida la velocidad de diseño se entra a calcular la fuerza sísmica, los cortantes y el desplazamiento.

La fórmula para la fuerza sísmica es:

$$F_i = M_i \sqrt{\sum_{n=1}^n (\theta_n \cdot \phi_{in} \cdot w_n \cdot V_d)^2}$$

donde :

F_i = fuerza sísmica en el i^{er} piso (ton)

M_i = masa del i^{er} piso (ton.sec. 2 /cm)

ϕ_{in} = n^{a} forma de modo en el i^{er} piso

θ_n = n^{a} factor de participación

ω_n = frecuencia angular del n^{O} modo

V_d = velocidad sísmica de diseño

n = máximo número de modos considerados.

La fuerza de corte y los desplazamientos serán calculados por las siguientes fórmulas :

$$Q_i = \sum_{i=1}^{N} \sqrt{\left(\sum_{n=1}^n M_i \cdot \theta_n \cdot \delta_{in} \cdot \omega_n \cdot V_d \right)^2}$$

$$U_i = \sqrt{\sum_{n=1}^N (\theta_n \cdot \delta_{in} \cdot V_d / \omega_n)^2}$$

donde :

Q_i = fuerza de corte en el i^{O} piso

U_i = desplazamiento de la base del i^{O} piso

N = número de pisos

Como la mayoría de las estructuras son dúctiles, y esto les permite soportar más fuerzas, el cortante debe ser modificado en la siguiente forma:

$$Q'_i = Q_i / \sqrt{2u - 1}$$

donde :

Q'_i = fuerza de corte en el i^{O} piso, considerando el factor de ductilidad.

Q_i = fuerza de corte dada por ecuación anterior

u = factor de ductilidad mayor de 1.0

El factor de ductilidad puede escogerse con la ayuda de la siguiente tabla :

FACTORES DE DUCTILIDAD (u)	
Edificio	u
Estaciones de radio, hospitales, almacenes peligrosos en el área urbana	1.0
Partes bajas del edificio	1.0 á 1.5
Estaciones telegráficas, telefónicas, bomberos, oficinas administrativas, edificios escolares, estructuras grandes	1.0 á 2.0
Otras estructuras dúctiles	2.0 á 3.0

Podemos notar que las fórmulas que nos dan la fuerza cortante y desplazamiento incluyen los términos para utilizar todos o algunos modos, también se nota que se toma como respuesta la más aproximada hasta ahora que es la "Raíz Media Cuadrática".

II.2 ENVOLVENTES SISMICAS DE VELOCIDADES

En esta parte de la tesis se va a tratar más o menos en forma referencial el trabajo que fue realizado en la Universidad Particular Ricardo Palma (11). Este constituye un estudio de la sismicidad del Perú, y en base a ella se puede obtener curvas de desplazamiento, velocidad y aceleración del suelo en el manto rocoso; en nuestro caso sólo haremos uso de las curvas de velocidad a la que denominamos "Envolventes Sísmicas de Velocidades".

En síntesis las curvas son el resultado de la relación entre el riesgo sísmico y la estructura geológica y representan parámetros en función del período de retorno promedio; es decir, desarrollaron un método para la evaluación del riesgo sísmico en cualquier punto geográfico, este método sistematiza parte de la información geológica, sismológica y sismotectónica existente.

La clasificación de los sismos de acuerdo a su origen entectónicos y volcánicos son también una certificación de la teoría tectónica de placas sobre la cual se fundamenta este método, basado en la teoría de deriva continental de Wegener que apareció a principio de siglo y que se mantuvo en rezago. Wegener sostuvo que los Continentes australes empezaron a moverse hacia el Ecuador; América del Sur y África empezaron a separarse hace unos 70 millones de años mientras que la apertura del Atlántico llegó a su culminación hace unos pocos millones de años. En las últimas décadas ha revivido la teoría de Wegener y han sido evidenciadas por otras investigaciones especialmente la de Blackett y Runcorn sobre paleomagnetismo, así como también la de Hess sobre

formación del suelo marino.

La teoría tectónica de placas se basa en el concepto de desplazamiento del suelo marino y de la cual depende la distribución de sismos; de acuerdo a ésta la corteza terrestre consiste - de placas rígidas que se encuentran en movimiento relativo, la capa más fría exterior es de unos 100 kilómetros aproximadamente y se denomina Litósfera; la capa siguiente es la Astenósfera y es más caliente, su movimiento se realiza por relajación y deformación lenta en contraste con la Litósfera que se fractura al defor marse. Las fronteras de las placas son los lugares sísmicos por el movimiento relativo, estas fronteras vienen a constituir los - cinturones sísmicos.

Los tipos de fronteras son tensionales o compresionales segúñ las placas se separen o junten relativamente, otro tipo es la llamada falla transversal en la cual las placas se separan sin es fuerzos; ahora podemos explicarnos el por qué los sismos se producen en determinadas fajas.

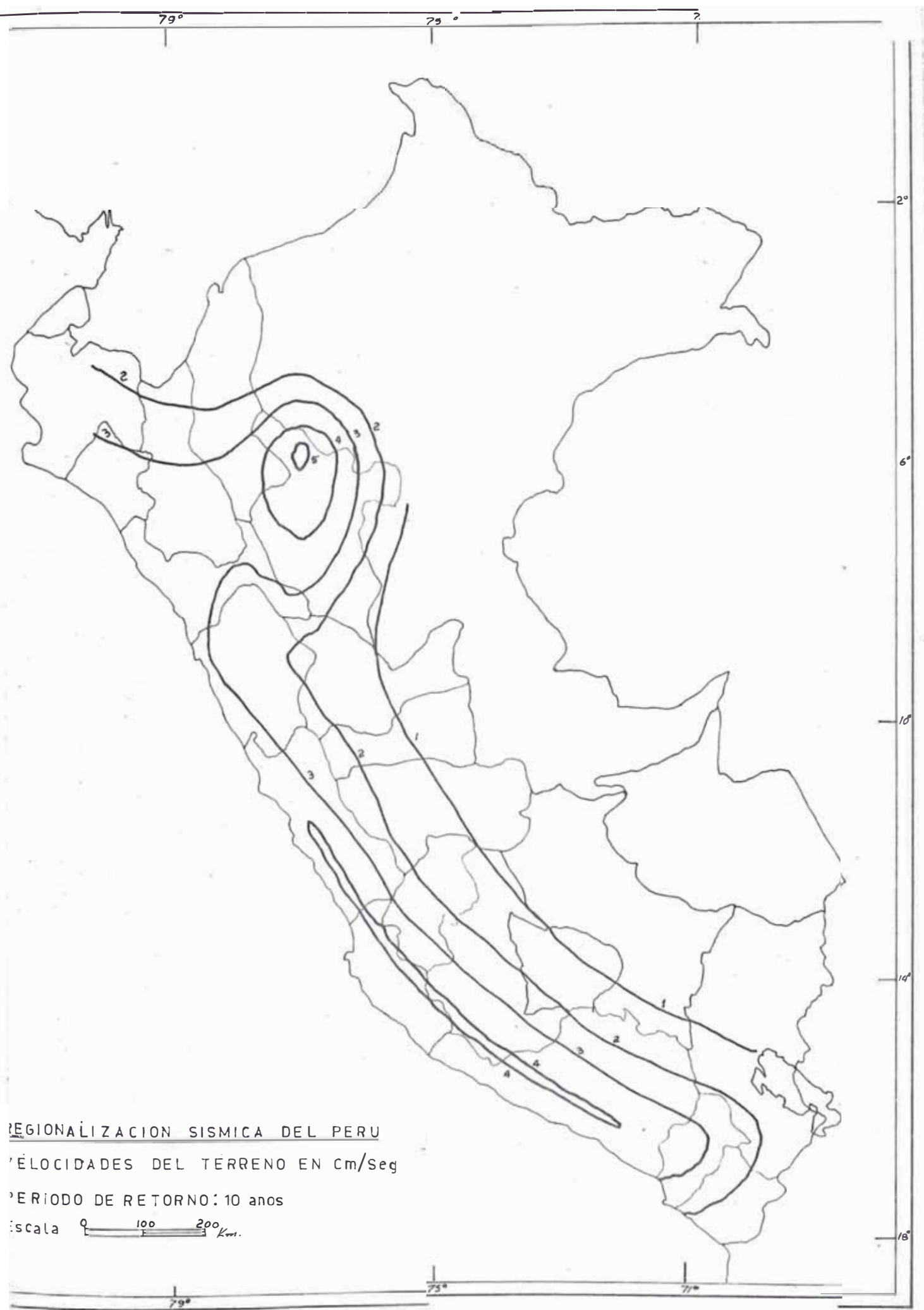
El Perú se encuentra ubicado en uno de estos cinturones, - es decir, en el Círculo Pacífico, y el efecto más grande es el de la placa de Nazca que se desliza contra la placa de América del - Sur, es decir, las deformaciones son de tipo compresivo; esto ex plica el por qué la Cordillera de los Andes es una cordillera jo ven que se levanta lentamente.

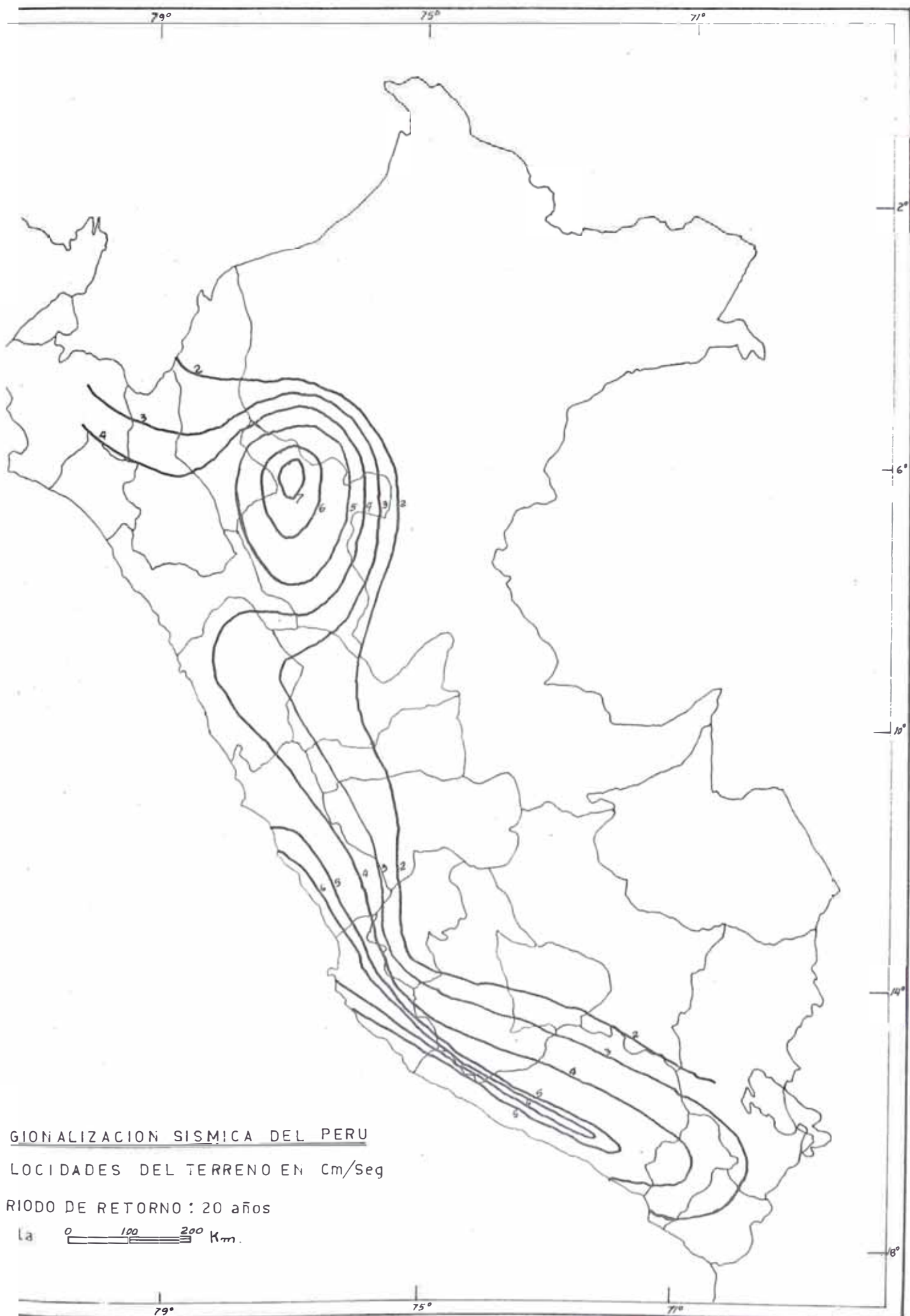
Luego la teoría más fuerte que prueba el origen de los sis mos es la de tectónica de placas. En base a esto y teniendo en cuenta que la placa de Nazca ejerce una acción de cuña en la pla tafoma continental crea una linea productora de sismos a lo lar-

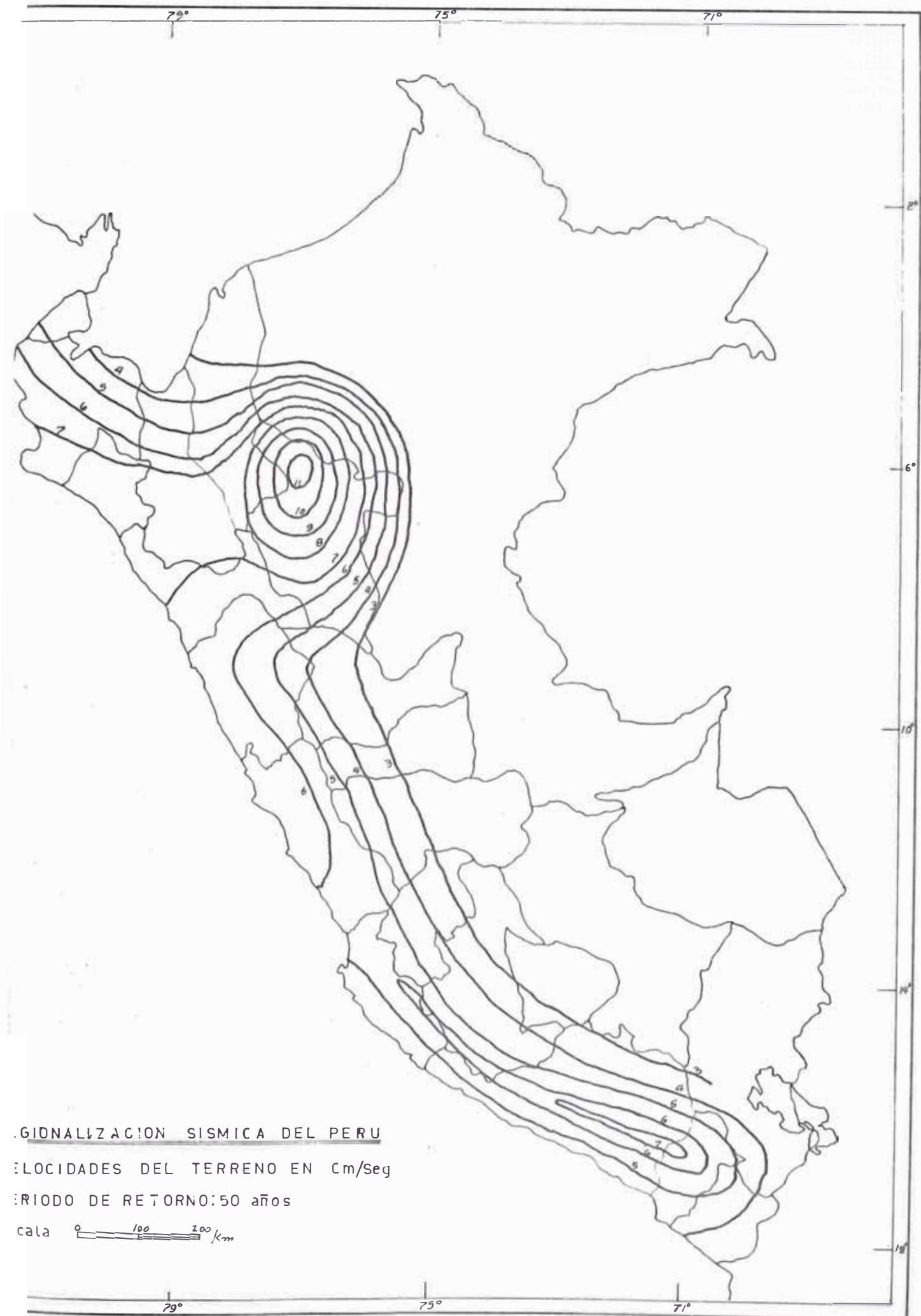
go de la costa y paralela a la intersección de las placas. También han considerado una línea productora de sismos en la zona de Moyer bambá debido a la presencia de una falla sísmicamente activa de una profundidad de 60 km. y una longitud de 200 Km. A partir de estos datos adaptaron el método propuesto por Allin Cornell el cual basado en consideraciones probabilísticas, geológicas y geométricas permite evaluar la aceleración, velocidad y desplazamiento en determinado punto, estos puntos han sido considerados en la intersección de los meridianos y paralelos en una superficie cuadrillada del territorio, luego con estos y por medio de la interpolación han trazado líneas isosísmicas.

Para la evaluación del riesgo sísmico han usado el método de Cornell, que consiste en asumir una función del parámetro que se quiere evaluar; ellos evaluaron la función de intensidad en términos de las características geométricas del punto, de la magnitud, y de la distancia focal, para tal efecto usaron las constantes del suelo de California; en forma similar hicieron con la aceleración, velocidad y desplazamiento del suelo por la fórmula propuesta por Kanai y obtuvieron la evaluación numérica para los puntos de intersección de meridianos y paralelos.

A continuación se presentan las envolventes de velocidad - para períodos de retorno de 10, 20 y 50 años







II.3 RECOMENDACIONES PARA EL USO DEL METODO

Como parte adicional de este Capítulo se da unas sugerencias para la selección de valores de diseño que son producto de otras investigaciones y más que nada se incluyen como deducción teórica.

Valor del Factor Z

Como se ha dicho anteriormente es un factor que depende de la zona de ubicación de la estructura, en este caso nos ayudaremos con los mismos mapas de regionalización sísmica que dan idea de las zonas más desfavorables.

Factor I

Es un valor que depende del uso a que va a ser destinado el edificio y se basa en la prioridad y cantidad de personas que va a albergar durante su vida.

Factor E

Debe tenerse bastante cuidado al seleccionar este valor porque es uno de los que toma en cuenta el suelo; es sabido que la geología local tiene marcada influencia sobre la intensidad del movimiento del suelo y ello sobre el comportamiento de la estructura. Los grados de daño dependen en algunos casos del suelo y el espesor de las capas superficiales. La clasificación de los edificios por su material se debe a que su comportamiento va

a ser diferente en especial su rigidez.

Valor del Factor M1

Se considera que el período predominante del suelo tiene gran importancia en el diseño de estructuras asísmicas porque el fenómeno de resonancia puede ocurrir cuando el período natural del edificio es igual al período predominante del suelo sobre el cual se cimienta el edificio.

El período predominante del suelo es determinado por observaciones microterremotos, pero una investigación completa requiere además de lo anterior, de perforaciones, estudio geológico, estudio microtopográfico.

Como información se puede dar los siguientes valores para períodos predominantes de diferentes suelos:

Suelo	Período Tg (seg)
Roca, terreno duro	0.1 á 0.2
Firme aluvional	0.2 á 0.4
Suave aluvional	0.3 á 0.6
Suave de gran potencia	0.2 á 1.0

Valor de M2

Este depende del amortiguamiento de la estructura. Se sabe que esta característica reduce la respuesta de la estructura, el amortiguamiento es provisto por los materiales de los miembros

de la estructura y también por los miembros no estructurales, sin embargo no existe una teoría definida que permita establecer el coeficiente de amortiguamiento.

En el presente el factor de amortiguamiento es estimado por medio de trabajos experimentales y las siguientes conclusiones han sido establecidas.

En edificios rígidos y masivos el amortiguamiento es mayor.

- Parece haber tendencia a que el amortiguamiento se incremente con un decremento en el período natural, el cual depende de la forma, tamaño y altura del edificio; se dice que de edificios altos debe esperarse un amortiguamiento menor.

Partes no estructurales como paredes divisorias, tabiquería incrementan el amortiguamiento.

- El amortiguamiento se incrementa con los modos de frecuencia de vibración.

El amortiguamiento se incrementa con el desplazamiento.

- El amortiguamiento en estructuras de concreto armado es mayor que en estructuras de acero.

Diferentes autores dan valores diferentes para el factor de amortiguamiento y estas son:

Autores		J. Blume	L. Jacobson	R. Merritt and S. Housner	S. Nafetua rine	E. Rosen blueth	F. Tsui	H. Unemura	J. Borges and A. Rava ra.
Tipo de construcción									
Concreto	0.05 a 0.10	0.10 a 0.16	0.07 a 0.10		0.09 0.08	0.05 a 0.14	0.07 a 0.14	0.05 a 0.09	0.04 a 0.05
est. Acero	----	----	----		0.03 0.04	0.01 a 0.06	0.03 a 0.06	0.01 a 0.08	elast. plast.
edif. madera	----	0.10 a 0.20	----		0.06 ----	----	----	0.20	----
edif. albañ.	----	0.10 a 0.18	----		0.06 ----	----	0.14	----	----

Factor de Ductilidad μ

Ductilidad es la habilidad de una estructura para incrementar su deformación inicial mientras permanece sosteniendo la carga. Se define como la relación de la deflexión máxima permisible a la deformación límite.

La propiedad de ductilidad es importante por dos razones básicas:

- Es económicamente impráctico diseñar las estructuras para resistir el máximo sismo esperado dentro del rango elástico de esfuerzos.
- Es difícil predecir las características de un movimiento sísmico en un lugar dado.

Por las razones mencionadas, la mayoría de los códigos de antisísmica especifican fuerzas más pequeñas que la fuerza esperada por un sismo severo.

Muchas veces las estructuras resisten sismos más fuertes - que aquel para el cual fueron diseñadas, no por los coeficientes de seguridad que se hayan tomado, sino porque la estructura entra al comportamiento no lineal debido a la ductilidad que posee.

En salvaguarda de la integridad se toman en cuenta muchos detalles que permiten que la estructura sea dúctil y pueda tomar más esfuerzos, tales son aquellos de estribamientos y limitaciones de cuantía. La magnitud del factor de ductilidad que puede ser alcanzado en una estructura depende del material y configuración estructural, la velocidad de carga, la tendencia de algunos materiales a fallar con fractura frágil y otros factores como nudos conexiones y algunas concentraciones de esfuerzos.

Existen muchas fórmulas y gráficos que tratan de hallar el factor de ductilidad, y experimentalmente se ha obtenido valores de 4 ó 5 para el factor de ductilidad.

C A P I T U L O III

III.0 APLICACION A MODELOS ESTRUCTURALES

El método podría ser aplicado a un sin número de modelos de edificios, con el fin de tener una idea más clara de su funcionamiento y también para dar las apreciaciones y recomendaciones con más acierto; pero por el limitado tiempo de computación sólo se han estudiado 33 modelos.

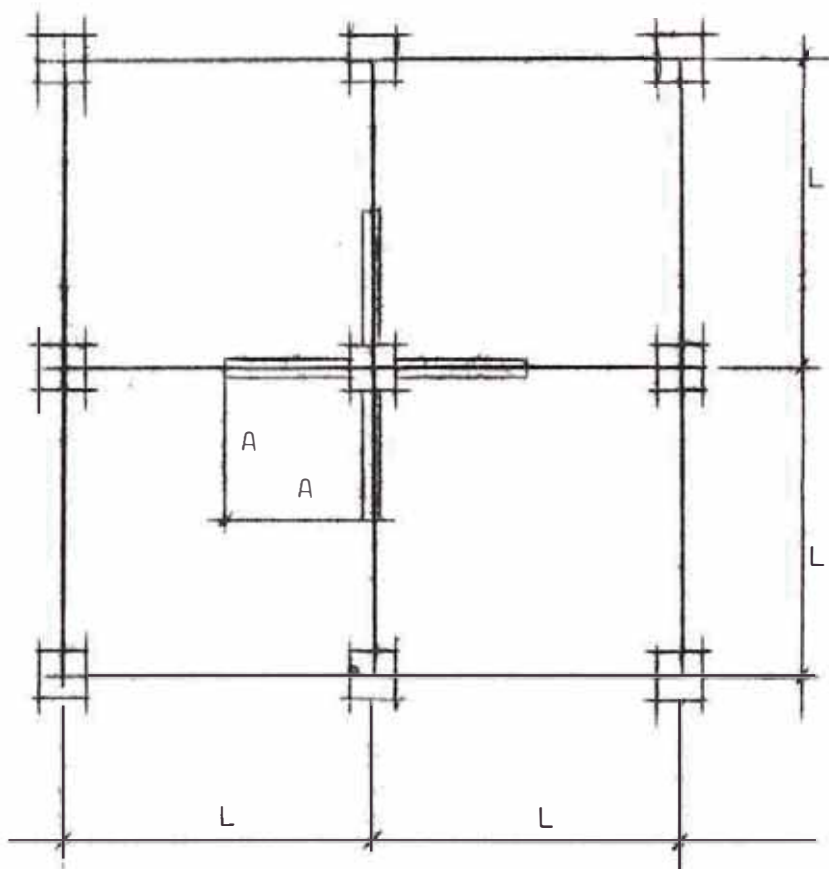
El dimensionamiento de los elementos se ha hecho con las tablas del Dr. Yamashiro dadas en el Congreso Nacional de Sismología e Ingeniería Antisísmica del 22 - 26 /9/69.

III.1. DESCRIPCION DE MODELOS

Los modelos analizados consisten en edificios de 10 pisos con placas al centro en forma de cruceta y con 6 columnas en el perímetro, las placas van aumentando cada décimo de luz, las luces varían a fin de tomar los valores usuales en nuestro medio, en total estos modelos dan una combinación de 33 edificios.

Debe hacerse notar que las rigideces de cada piso se han tomado iguales a las rigideces usadas en la referencia (9); en dicho trabajo se usó el mismo modelo de edificio pero el objetivo fué la idealización de placas como columnas y comportamiento de la estructura con el aumento del elemento rigidizante, esos modelos sólo fueron analizados por el método estático del Reglamento Peruano.

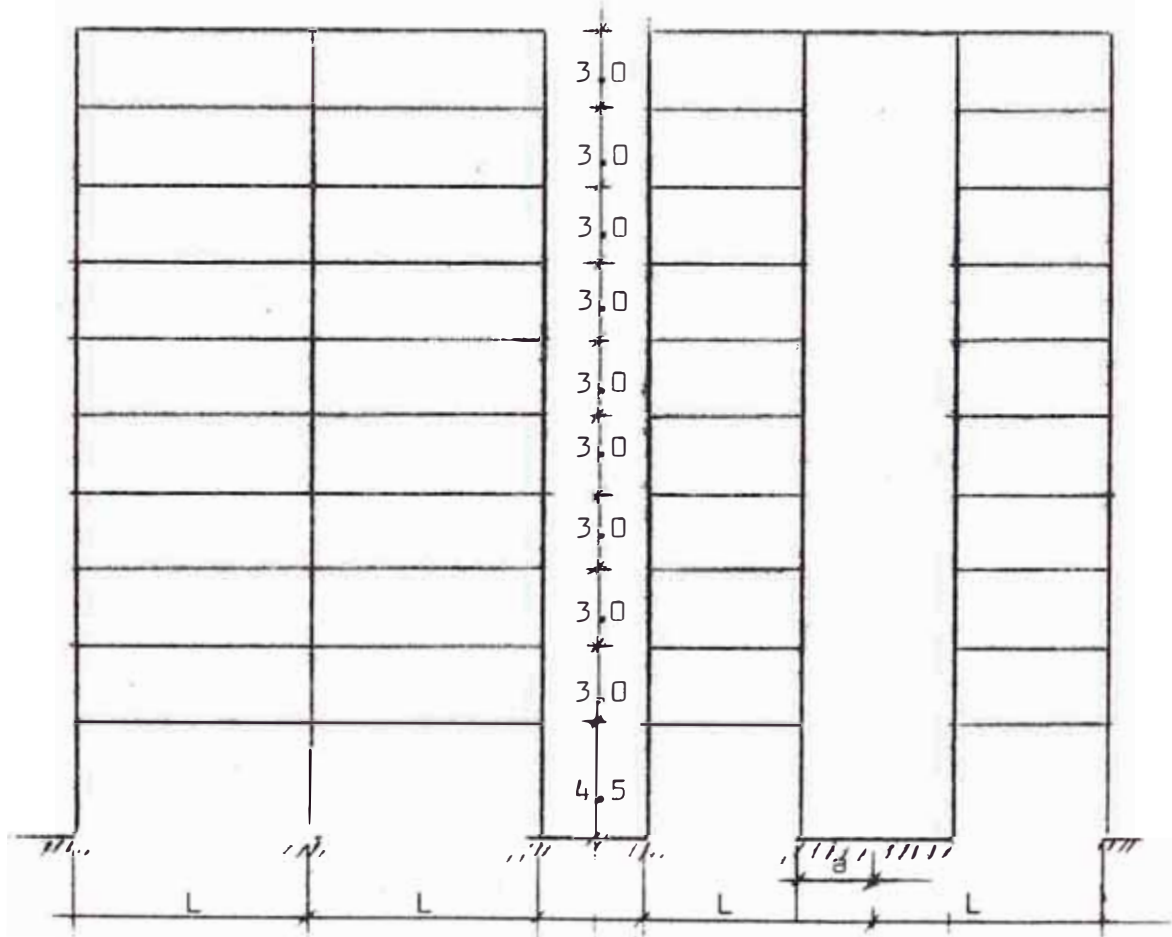
P L A N T A



$$L = 4; 6; 8 \text{ m.}$$

$$A = 0; L/10; 2L/10; \dots; L$$

E L E V A C I O N E S



III.2 DIMENSIONAMIENTO Y METRADOS

En esta parte sólo se va a proporcionar los cuadros de las dimensiones de los elementos y el resultado del metrado.

DIMENSIONES PARA LOS EDIFICIOS

t = espesor del aligerado

b = ancho de viga

h = peralte de viga

L(m)	b(m)	h(m)	t(m)
4	.25	.30	.20
6	.30	.50	.25
8	.40	.70	.35

Columnas

L(m)	Pisos	Tipo I (cm)	Tipo II (cm)	Tipo IV (Cm.)
4	1ro - 5to	50 x 50	40 x 40	35 x 35
	6to - 10o	30 x 30	30 x 30	30 x 30
6	1ro - 5to	70 x 70	60 x 60	45 x 45
	6to - 10mo	45 x 45	40 x 40	30 x 30
8	1ro - 5to	90 x 90	75 x 75	55 x 55
	6to - 10mo	60 x 60	50 x 50	40 x 40

III.3 METRADOS

A continuación presento la tabulación de las masas y rigideces por piso de todos los edificios.

$$m = \frac{Kg - Sg^2}{Cm.}$$

$$K = \frac{Kg.}{Cm.}$$

P I S O		EDIFICIO NÚMERO				
		1	2	3	4	5
1	m	71.285	72.000	72.735	73.469	74.204
	K	57020	60203	81057	131750	214638
2	m	68.724	69.316	69.908	70.500	71.092
	K	192436	202916	266816	403551	601744
3	m	68.724	69.316	69.908	70.500	71.092
	K	192436	202916	266816	403551	601744
4	m	68.724	69.316	69.908	70.500	71.092
	K	192436	202916	266816	403551	601744
5	m	66.653	67.245	67.837	68.429	69.020
	K	192436	202916	266816	403551	601744
6	m	64.571	65.163	65.766	66.347	66.939
	K	62370	72850	136750	273485	471678
7	m	64.571	65.163	65.766	66.347	66.939
	K	62370	72850	136750	273485	471678
8	m	64.571	65.163	65.766	66.347	66.939
	K	62370	72850	136750	273485	471678
9	m	64.571	65.163	65.766	66.347	66.939
	K	62370	72850	136750	273485	471678
10	m	68.939	69.235	69.531	69.827	70.122
	K	62370	72850	136750	273485	471678

P I S O		EDIFICIO NUMERO				
		6	7	8	9	10
1	m	74.939	75.673	76.408	77.143	77.878
	K	328364	466328	622401	789931	965347
2	m	71.684	72.276	72.867	73.459	74.051
	K	839920	1100764	1371892	1650781	1924824
3	m	71.684	72.276	72.867	73.459	74.051
	K	839920	1100764	1371892	1650781	1924824
4	m	71.684	72.276	72.867	73.459	74.051
	K	839920	1100764	1371892	1650781	1924824
5	m	69.612	70.204	70.796	71.388	71.980
	K	839920	1100764	1371892	1650781	1924824
6	m	67.531	68.122	68.714	69.306	69.898
	K	709854	970698	1241826	1520715	1794758
7	m	67.531	68.122	68.714	69.306	69.898
	K	709854	970698	1241826	1520715	1794758
8	m	67.531	68.122	68.714	69.306	69.898
	K	709854	970698	1241826	1520715	1794758
9	m	67.531	68.122	68.714	69.306	69.898
	K	709854	970698	1241826	1520715	1794758
10	m	70.418	60.714	71.010	71.306	71.609
	K	709854	970698	1241826	1520715	1794758

P I S O		EDIFICIO NUMERO				
		11	12	13	14	15
1	m	78.612	161.224	162.551	163.878	165.204
	K	1147262	233857	246446	323113	287195
2	m	74.643	156.224	157.245	158.265	159.286
	K	2196488	789271	829587	1042609	1422750
3	m	74.643	156.224	157.245	158.265	159.286
	K	2196488	789271	829587	1042609	1422750
4	m	74.643	156.224	157.245	158.265	159.286
	K	2196488	789271	829587	1042609	1422750
5	m	72.571	150.561	151.531	152.551	153.531
	K	2996488	789271	829587	1042609	1422750
6	m	70.490	144.898	145.918	146.938	147.959
	K	2066422	150411	190727	403749	783890
7	m	70.490	144.898	145.918	146.938	147.959
	K	2066422	150411	190727	403749	783890
8	m	70.490	144.898	145.918	146.938	147.959
	K	2066422	150411	190727	403749	783890
9	m	70.490	144.898	145.918	146.938	147.959
	K	2066422	150411	190727	403749	783890
10	m	71.989	145.357	145.918	146.429	146.940
	K	2066422	150411	190727	403749	783890

P I S O		EDIFICIO NUMERO				
		16	17	18	19	20
1	m	166.531	167.857	169.184	170.510	171.837
	K	725027	1010837	1323850	1649202	1982232
2	m	160.306	161.327	162.347	163.368	164.388
	K	1879265	2369310	2868137	3360222	3853105
3	m	160.306	161.327	162.347	163.368	164.388
	K	1879265	2369310	2868137	3360222	3853105
4	m	160.306	161.327	162.347	163.368	164.388
	K	1879265	2369310	2868137	3360222	3853165
5	m	154.592	155.612	156.633	157.653	158.673
	K	1879265	2369310	2868137	3360222	3853105
6	m	148.980	150.000	151.020	152.041	153.061
	K	1240405	1730450	2229277	2721362	3214245
7	m	148.980	150.000	151.020	152.041	153.061
	K	1240405	1730450	2229277	2721362	3214245
8	m	148.980	150.000	151.020	152.041	153.061
	K	1240405	1730450	2229277	2721362	3214245
9	m	148.980	150.000	151.020	152.041	153.061
	K	1240405	1730450	2229277	2721362	3214245
10	m	147.450	147.960	148.470	148.980	149.490
	K	1240405	1730450	2229277	2721362	3214245

		EDIFICIO NUMERO				
		21	22	23	24	25
1	m	173.163	174.490	324.184	326.429	328.673
	K	2312720	2638717	579940	615996	816367
2	m	165.408	166.428	316.327	318.112	319.898
	K	4313523	4780948	1957298	2068868	2571261
3	m	165.408	166.428	316.327	318.112	319.898
	K	4313523	4780948	1957298	2068868	2571261
4	m	165.408	166.428	316.327	318.112	319.898
	K	4313523	4780948	1957292	2068868	2571261
5	m	159.694	160.714	307.959	309.745	311.531
	K	4313523	4780948	1957292	2068868	2571261
6	m	154.082	155.102	299.694	301.480	303.265
	K	3674663	4142088	412376	523946	1026339
7	m	154.082	155.102	299.694	301.480	303.265
	K	3674663	4142088	412376	523946	1026339
8	m	154.082	155.102	299.694	301.480	303.265
	K	3674663	4142088	412376	523946	1026339
9	m	154.082	155.102	299.694	301.480	303.265
	K	3674663	4142088	412376	523946	1026339
10	m	150.000	150.510	290.714	291.582	292.449
	K	3674663	4142088	412376	523946	1026339

P I S O	EDIFICIO NUMERO				
	26	27	28	29	30
1	m 330.918	333.163	335.408	337.653	339.898
	K 1193902	1678904	2215303	2766654	3317810
2	m 321.684	323.469	325.255	327.041	328.827
	K 3319791	4144014	4963376	5789308	6554922
3	m 321.684	323.469	325.255	327.041	328.827
	K 3319791	4144014	4963376	5789308	6554922
4	m 321.684	323.469	325.255	327.041	328.827
	K 3319791	4144014	4963376	5780308	6554922
5	m 313.316	315.102	316.888	318.673	320.459
	K 3319791	4144014	4963376	5789308	6554922
6	m 305.051	306.837	305.622	310.408	312.194
	K 1774869	2599092	3418454	4244385	5010000
7	m 305.051	306.837	305.622	310.408	312.194
	K 1774869	2599092	3418454	424385	5010000
8	m 305.051	306.837	305.622	310.408	312.194
	K 1774869	2599092	3418454	4244385	5010000
9	m 305.051	306.837	305.622	310.408	312.194
	K 1774869	2599092	3418454	4244385	5010000
10	m 293.316	194.184	295.051	296.918	296.786
	K 1774869	1599092	3418454	4244385	5010000

		EDIFICIO NUMERO		
P I S O		31	32	33
1	m	342.143	344.388	346.633
	K	3869356	4411946	4940908
2	m	330.612	332.398	334.184
	K	7339985	8088514	8922200
3	m	330.612	332.398	334.184
	K	7339985	8088514	8922200
4	m	330.612	332.398	334.184
	K	7339985	8088514	8922200
5	m	322.245	324.031	325.816
	K	7339985	8088514	8922200
6	m	313.980	315.765	317.551
	K	5795063	6543592	7377278
7	m	313.980	315.765	317.551
	K	5795063	6543592	7377278
8	m	313.980	315.765	317.551
	K	5795063	6543592	7377278
9	m	313.980	315.765	317.551
	K	5795063	6543592	7377278
10	m	297.653	298.520	299.388
	K	5795063	6543592	7377278

C A P I T U L O IV

IV.O. PROGRAMAS DE COMPUTACION

A continuación se detallan los programas de computación usados en este trabajo, se incluyen los diagramas de flujo, su aplicación y listados. Los programas están lo suficientemente detallados para permitir que cualquier persona que esté familiarizada con los elementos de programación pueda usarlos.

A la computadora debe suministrarse las masas y rigideces de cada piso y los valores de los factores de corrección que usa el nuevo método japonés para calcular la velocidad de diseño, en base a esto la computadora nos dará como resultado los desplazamientos y cortantes por piso para el método espectral del Reglamento Peruano y también los desplazamientos y cortantes por piso para el nuevo método japonés.

El nombre de las variables usadas están definidas en el programa principal a excepción de los nombres de las variables de los factores que nos sirven para calcular la velocidad de diseño que son dadas a continuación.

Z = Valor de z (depende de la ubicación del edificio)

USOI = Valor de I

E = Valor del Factor E

TG = Período predominante del suelo.

V0 = Velocidad estandar

DUCT = $\sqrt{2u - 1}$ (factor de ductilidad)

XM1 = Valor de M1

XM2 = Valor de M2

IV.1 DIAGRAMAS DE FLUJO DE PROGRAMAS

Las manifestaciones usadas en los diagramas son:

Tipo de Manifestación

Símbolo

Entrada



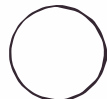
Salida



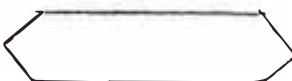
Asignación



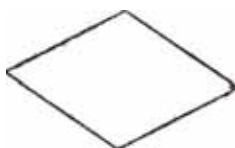
Control Incondicional



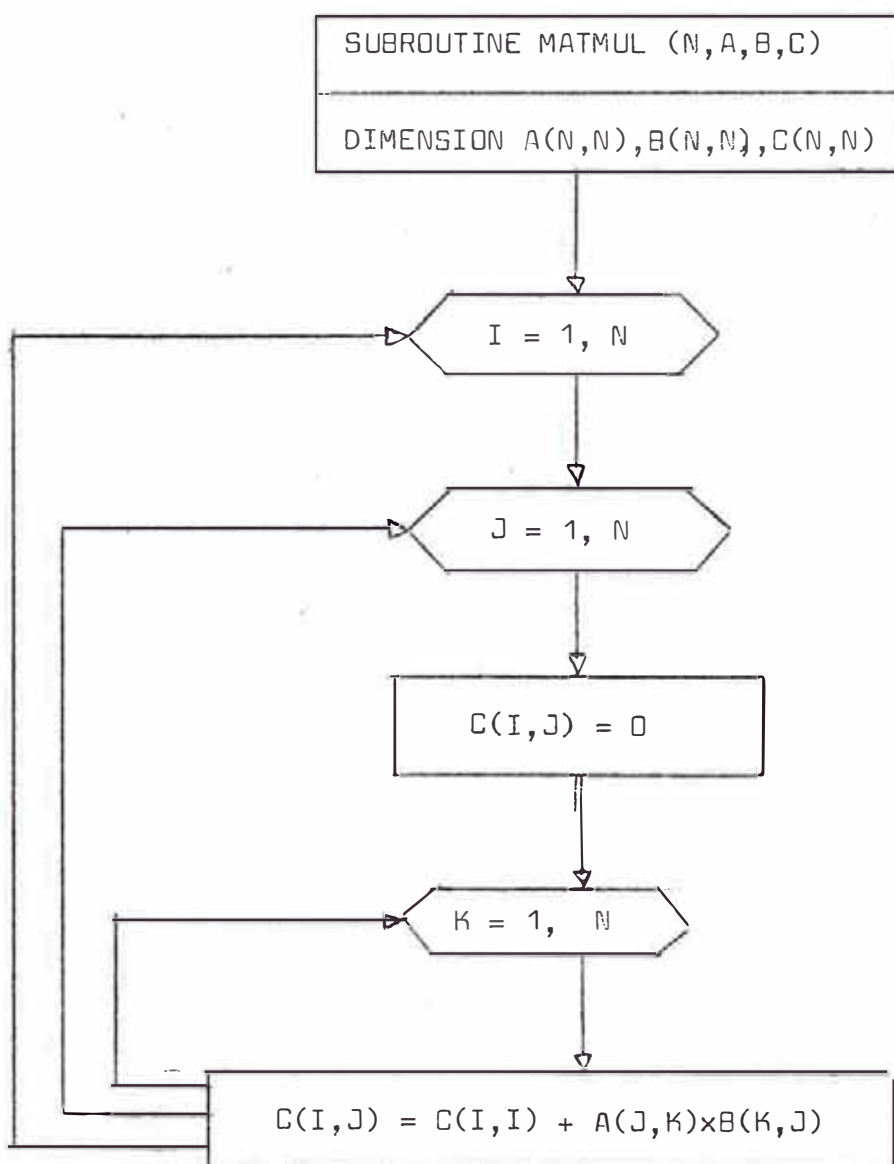
Control Iterativo



Control Aritmético

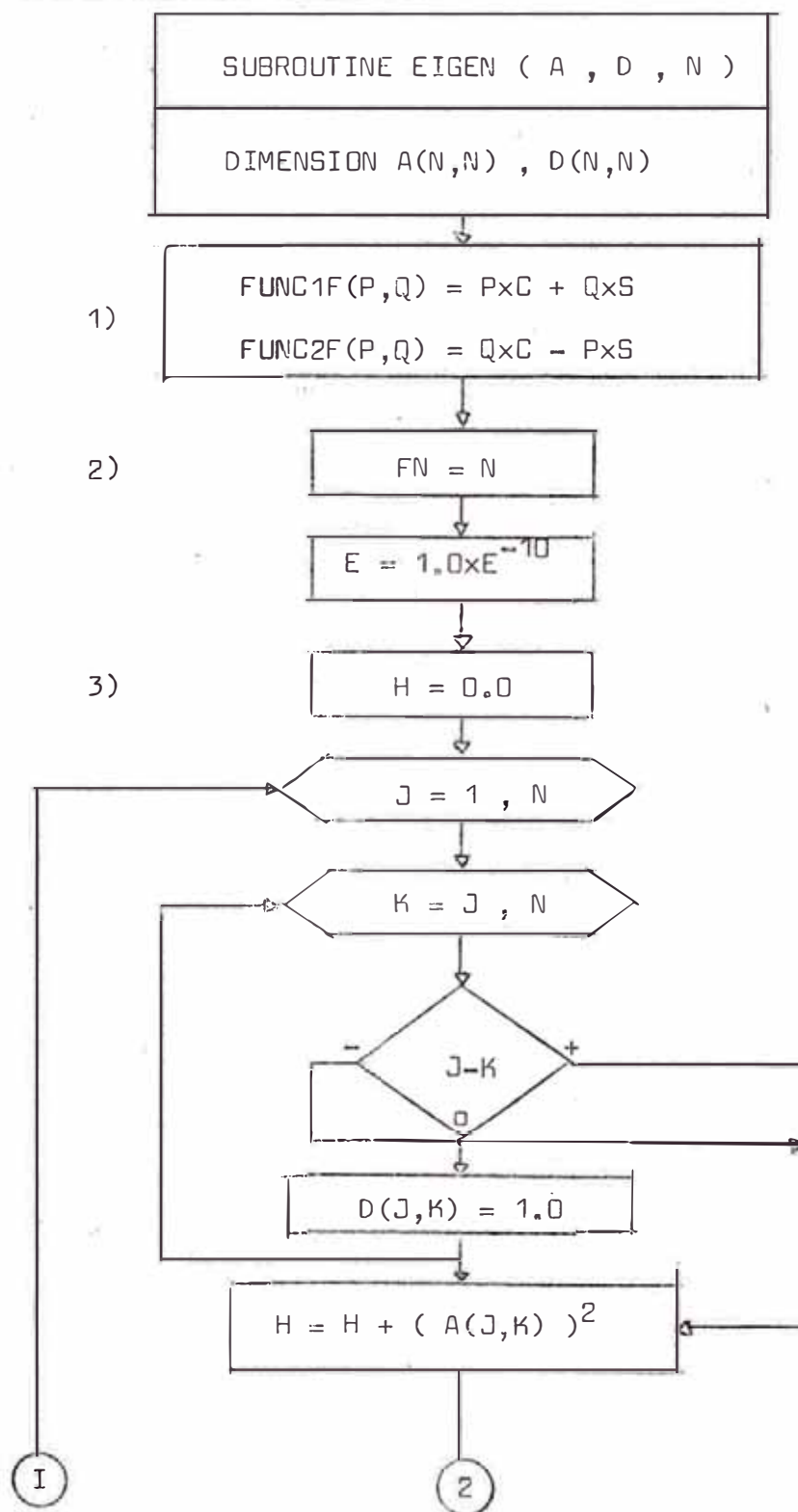


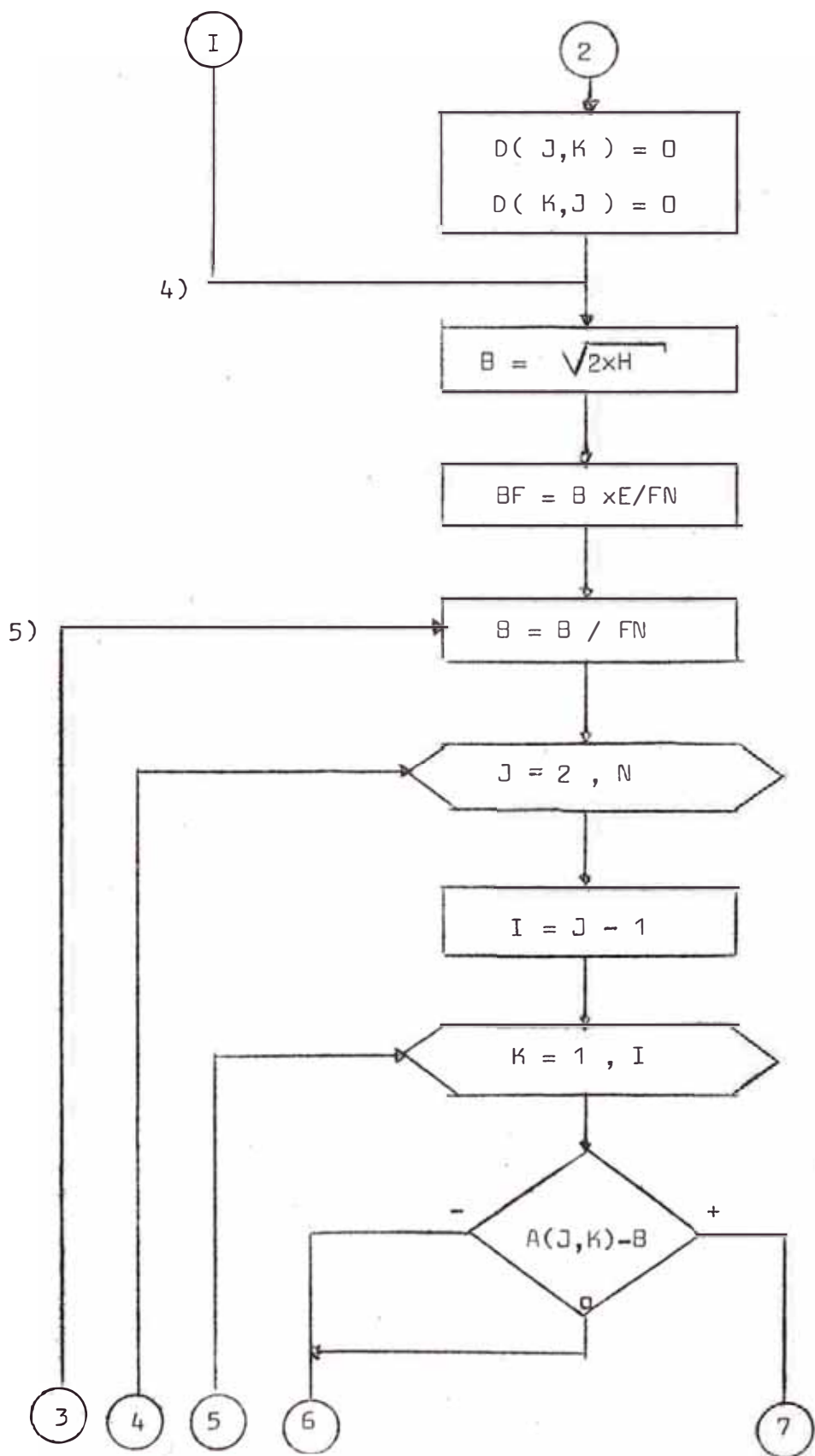
IV.1.1 SUBRUTINA MATRIZ MULTIPLICACION

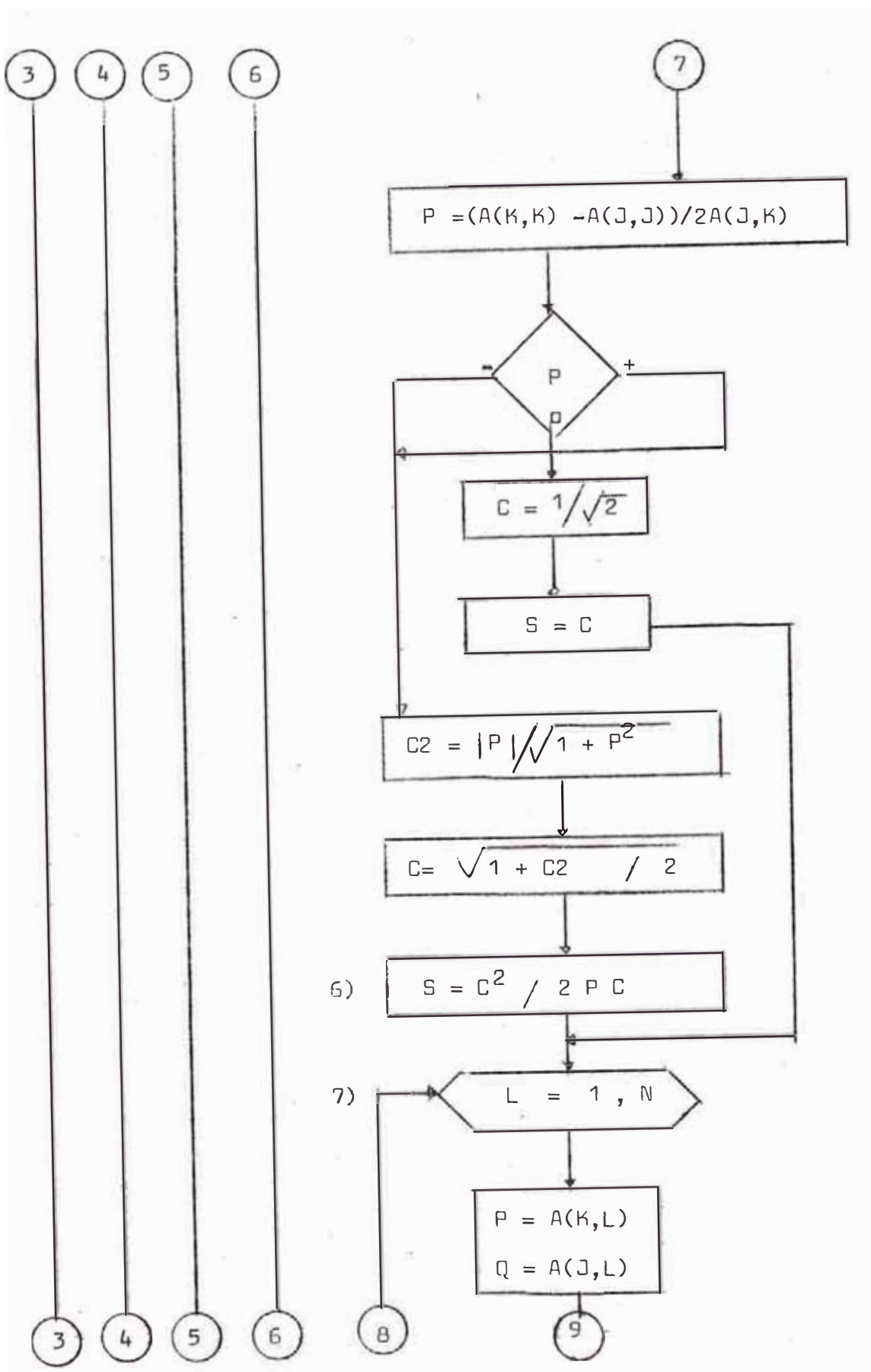


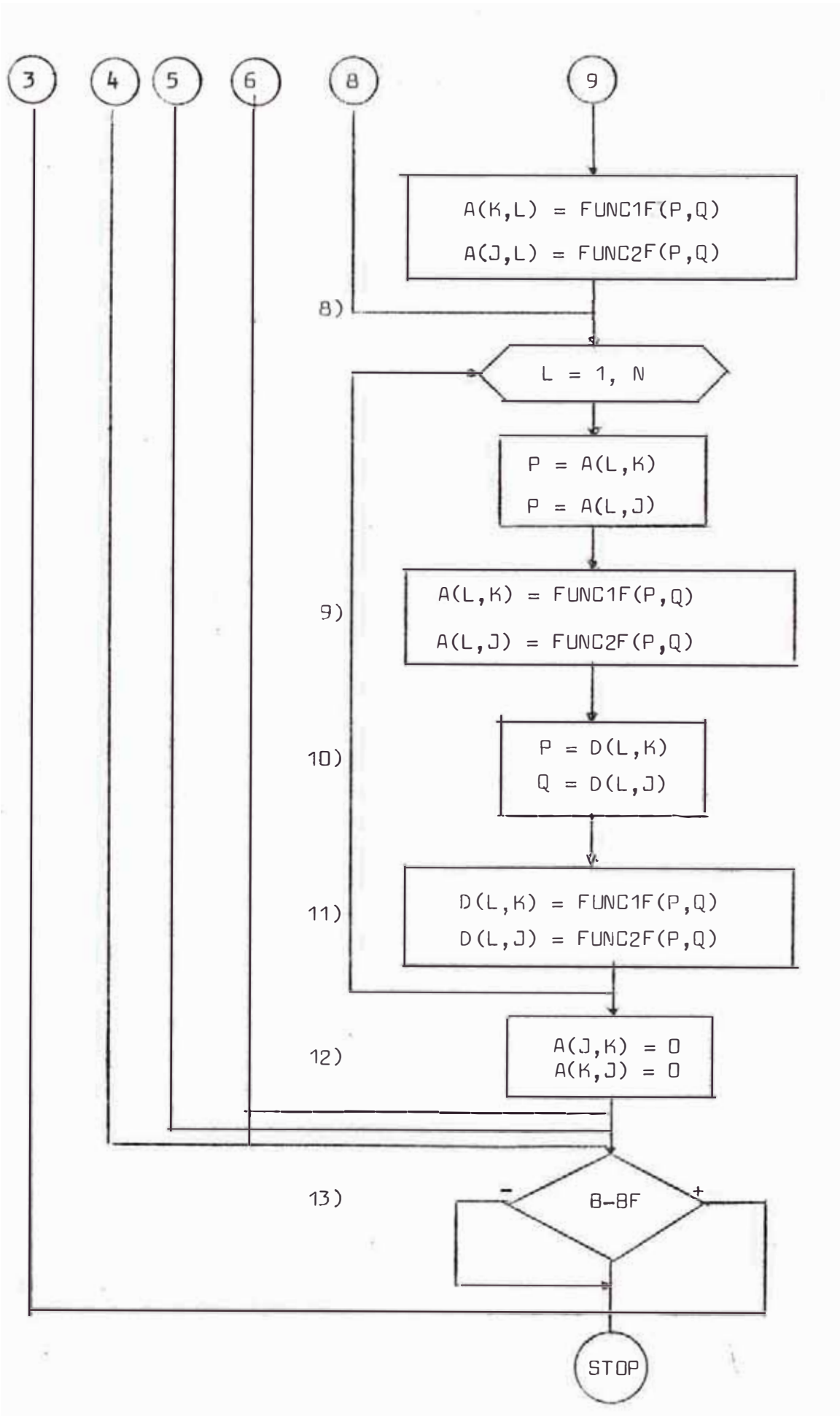
IV.1.2 SUBRUTINA EIGEN VALUES Y EIGEN VECTORS

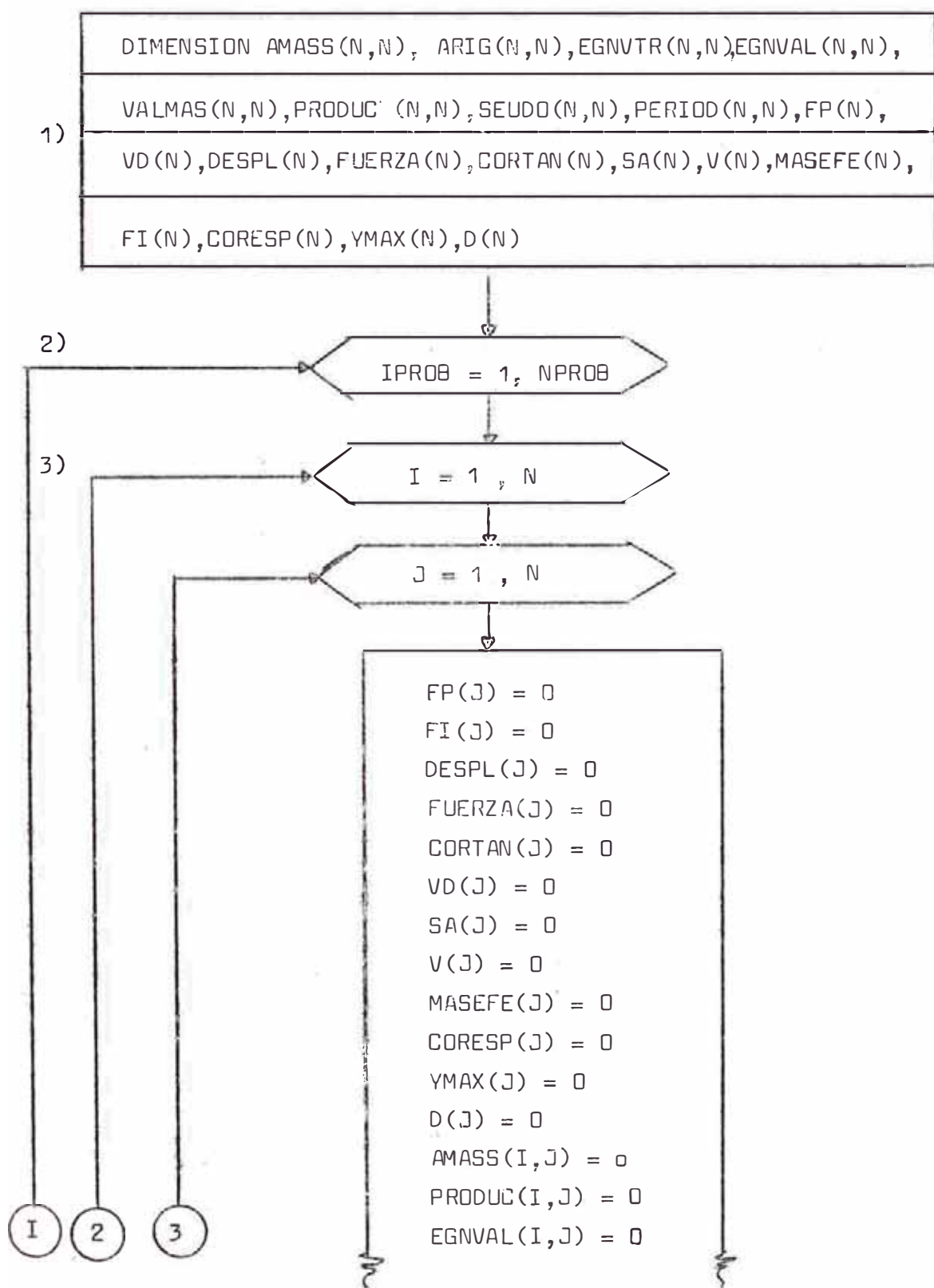
DIAGONALIZACION DE JACOBI

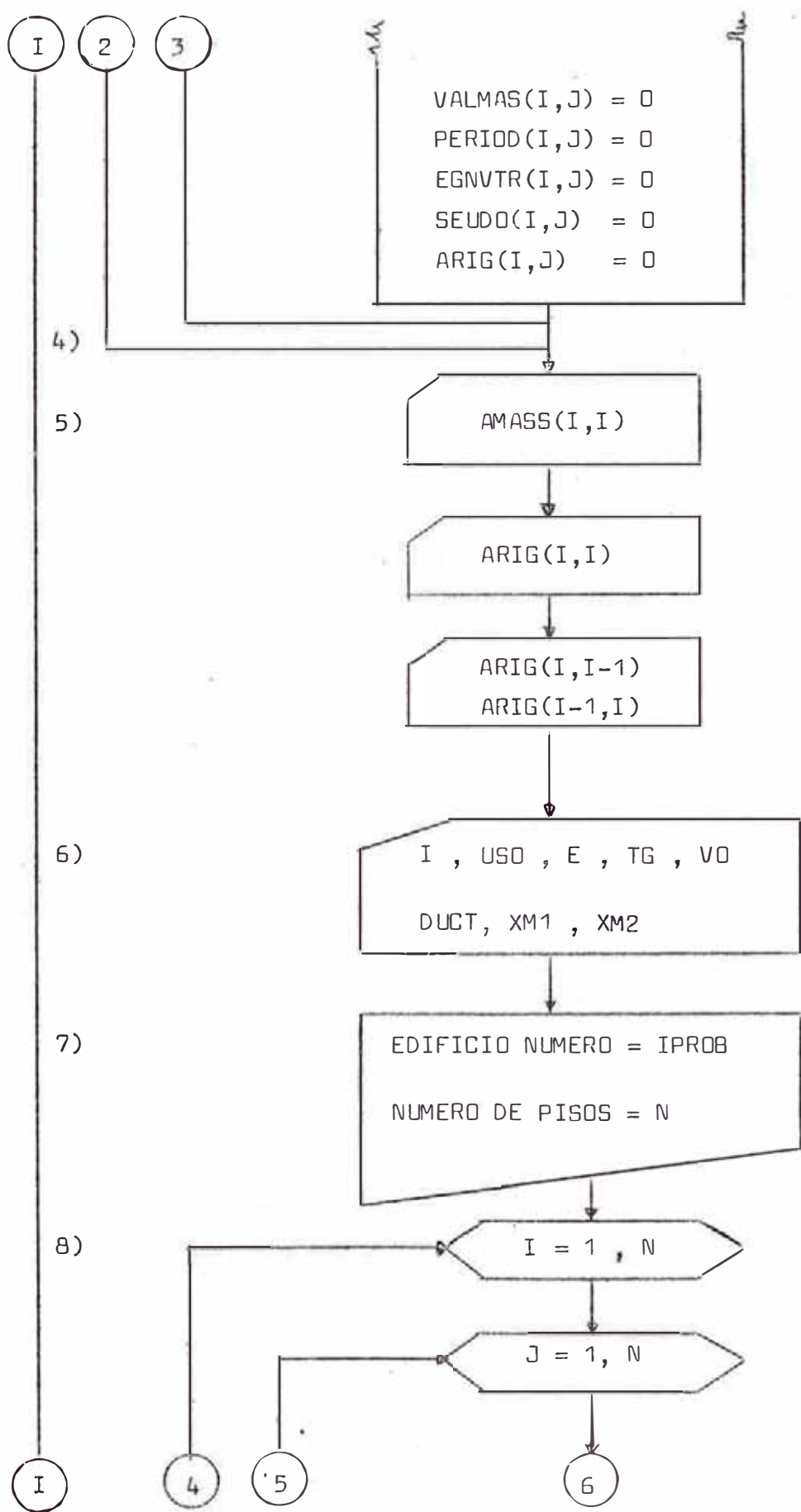


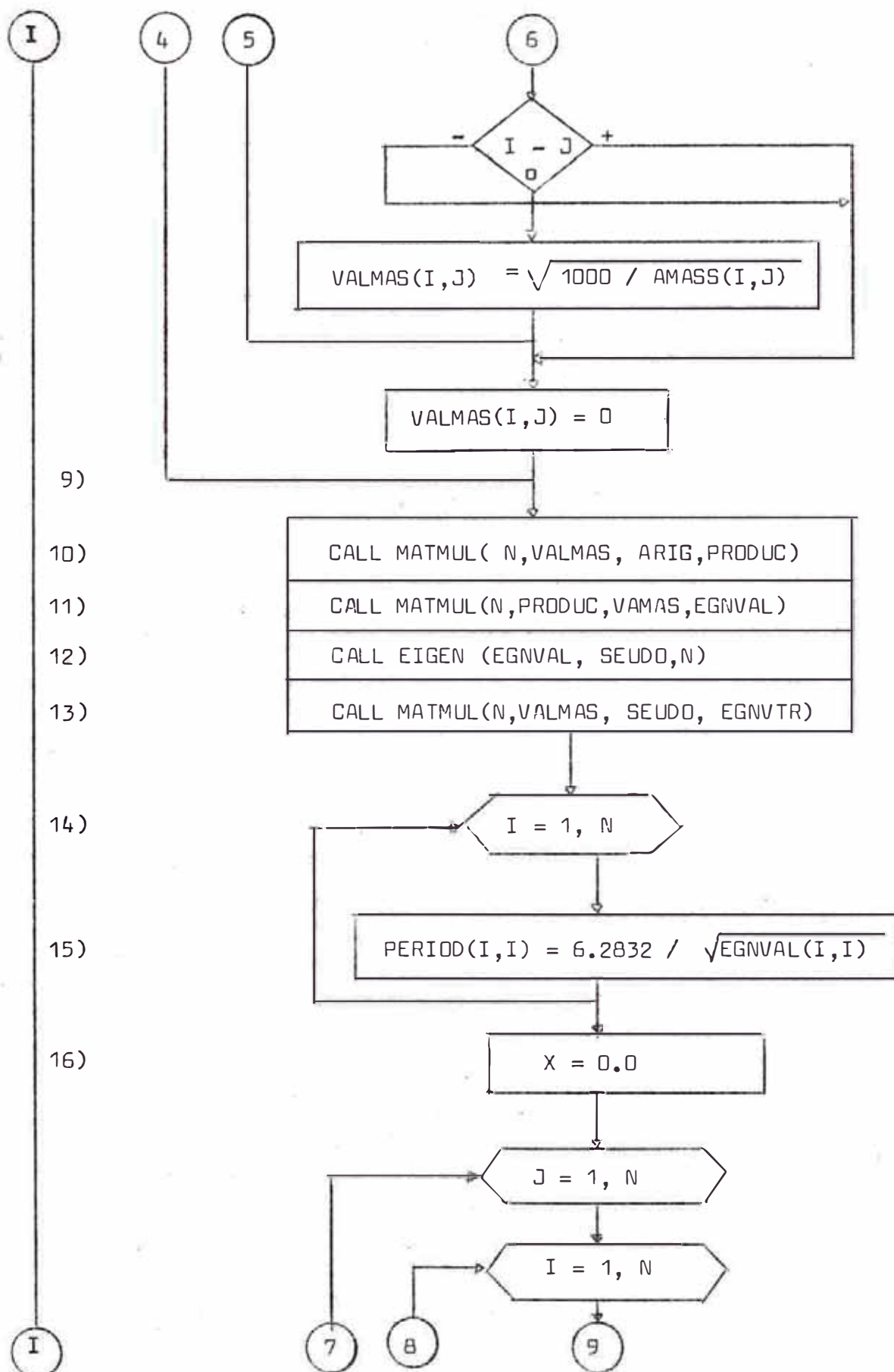


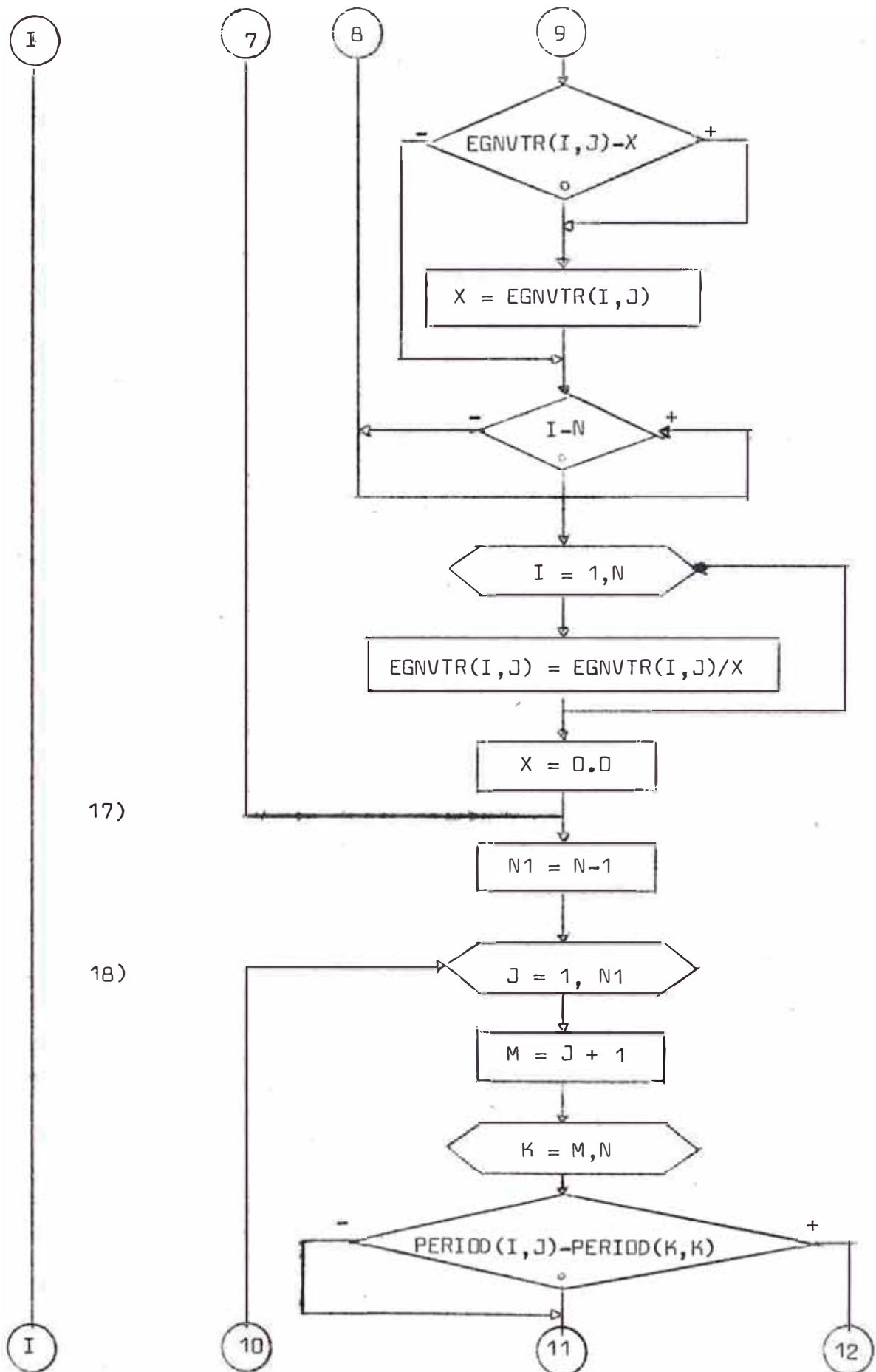


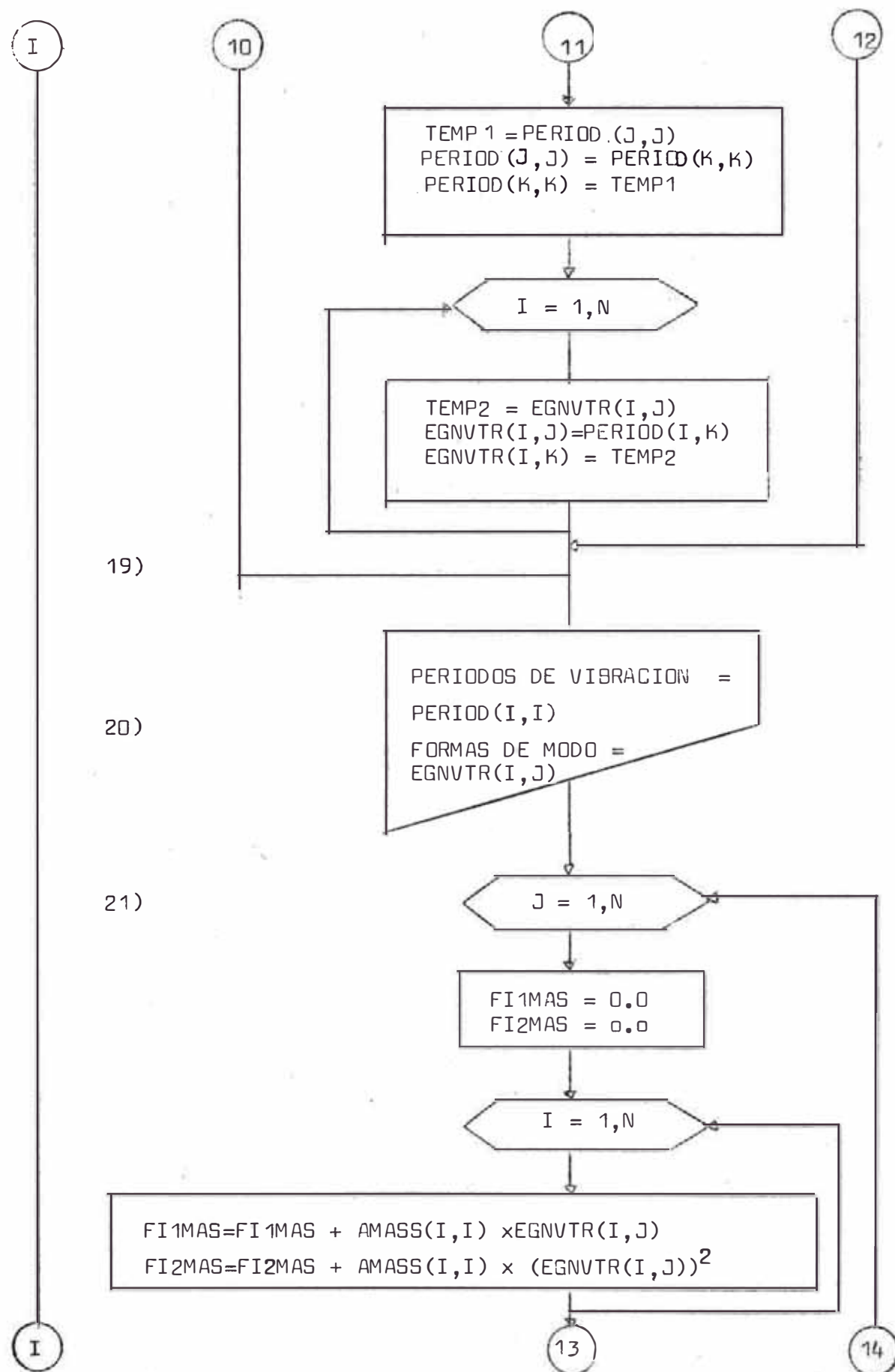


IV.1.3 PROGRAMA PRINCIPAL









(I)

13

(14)

22)

$$\begin{aligned} FP(j) &= FI1MAS/FI2MAS \\ SA(j) &= (0.05/(PERIOD(j,j) \times 0.33) \times 980.0 \\ V(j) &= (FP(j) \times FI1MAS \times SA(j))/1000.0 \\ YMAX(j) &= FP(j) \times SA(j) \times PERIOD(j,j)/6.2832^2 \\ MASEFE(j) &= FI1MAS \end{aligned}$$

23)

FACTORES DE PARTICIPACION = FP(j)

24)

I = 1, N

F1 = 0.0
Y = 0.0

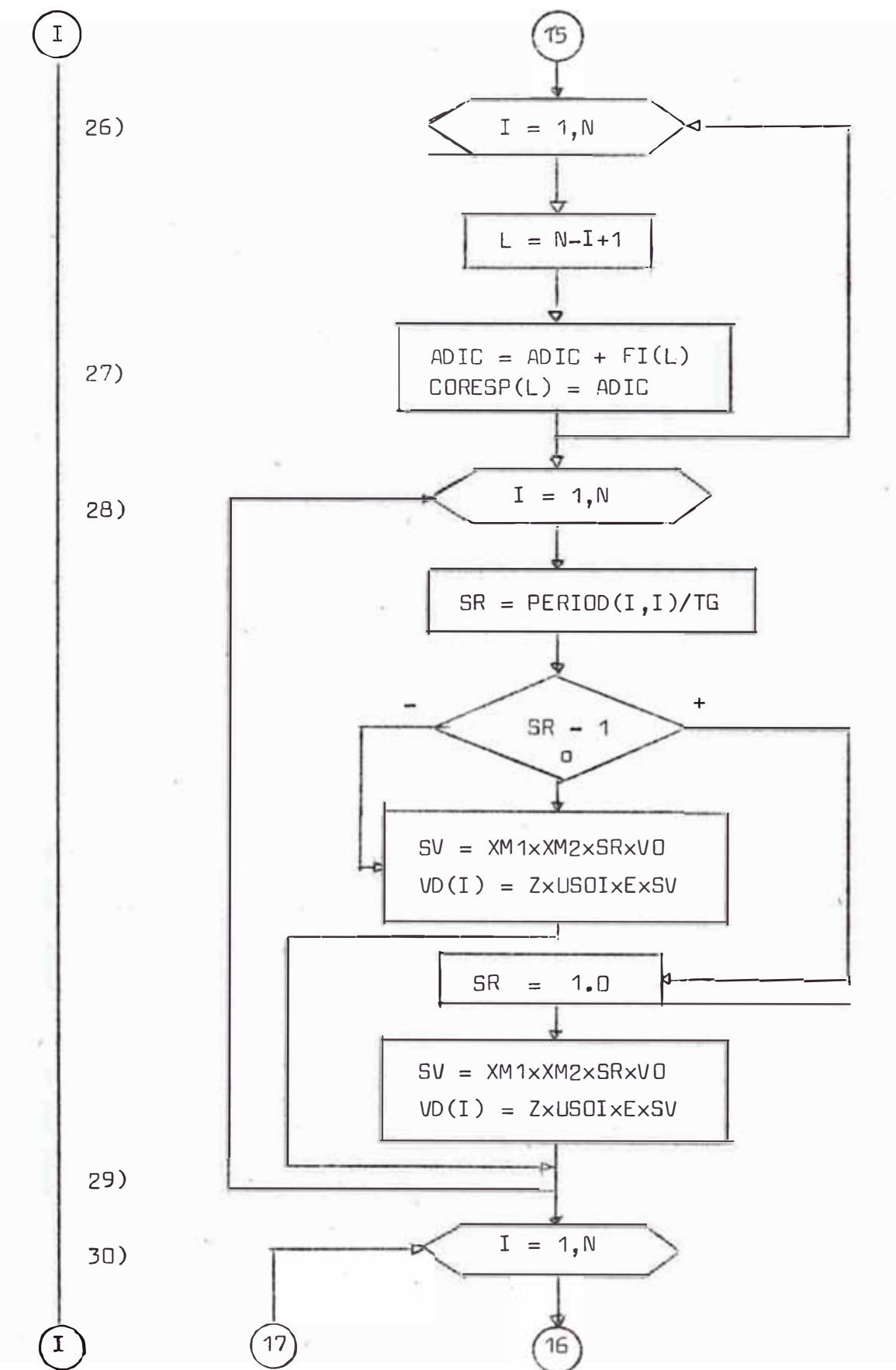
J = 1, N

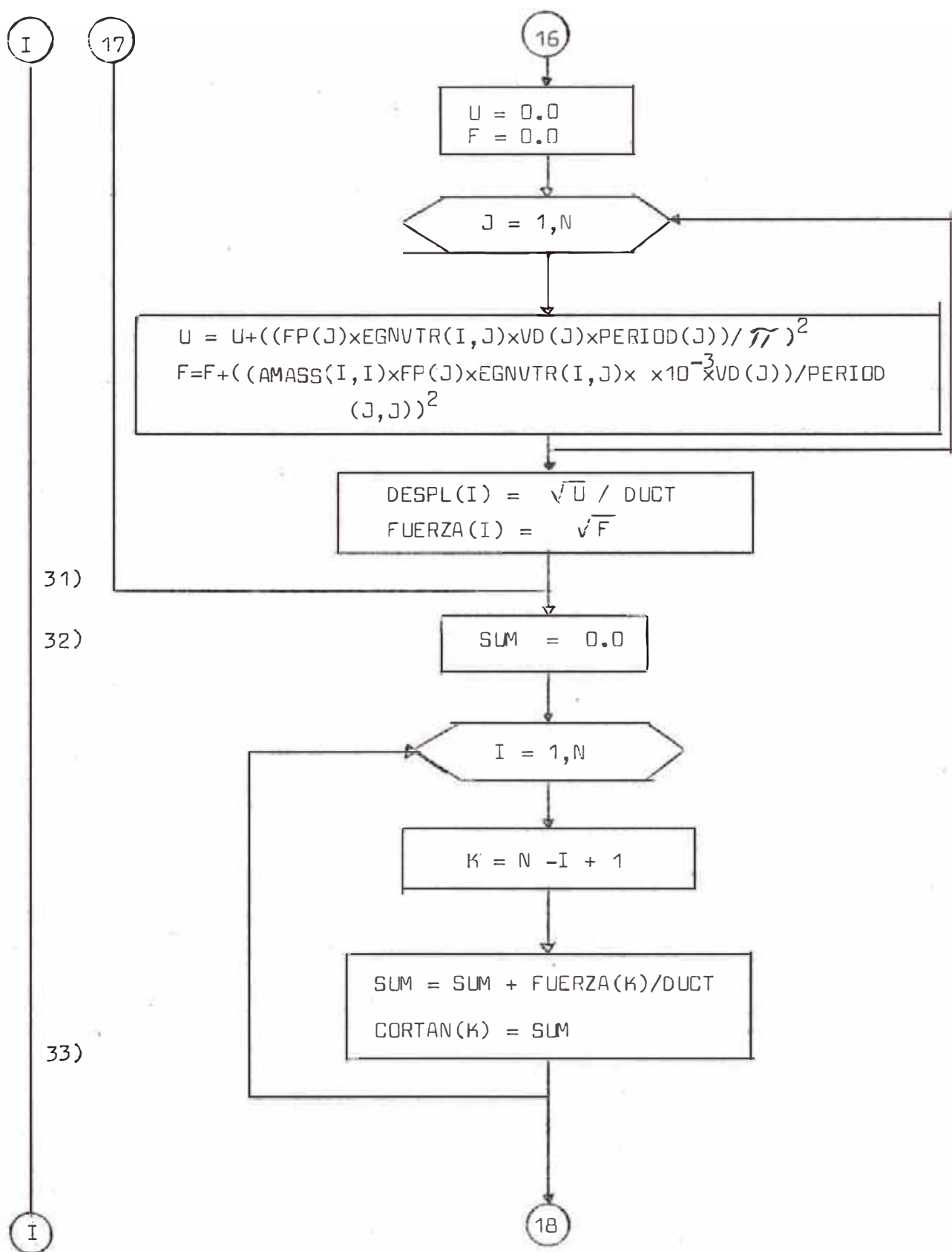
$$\begin{aligned} Y &= Y + (YMAX(j) \times EGNVTR(I,j))^2 \\ F1 &= F1 + ((V(j) \times AMASS(I,I) \times EGNVTR(I,j)) / MASEFE(j))^2 \end{aligned}$$
D(I) = Y
FI(I) = F1

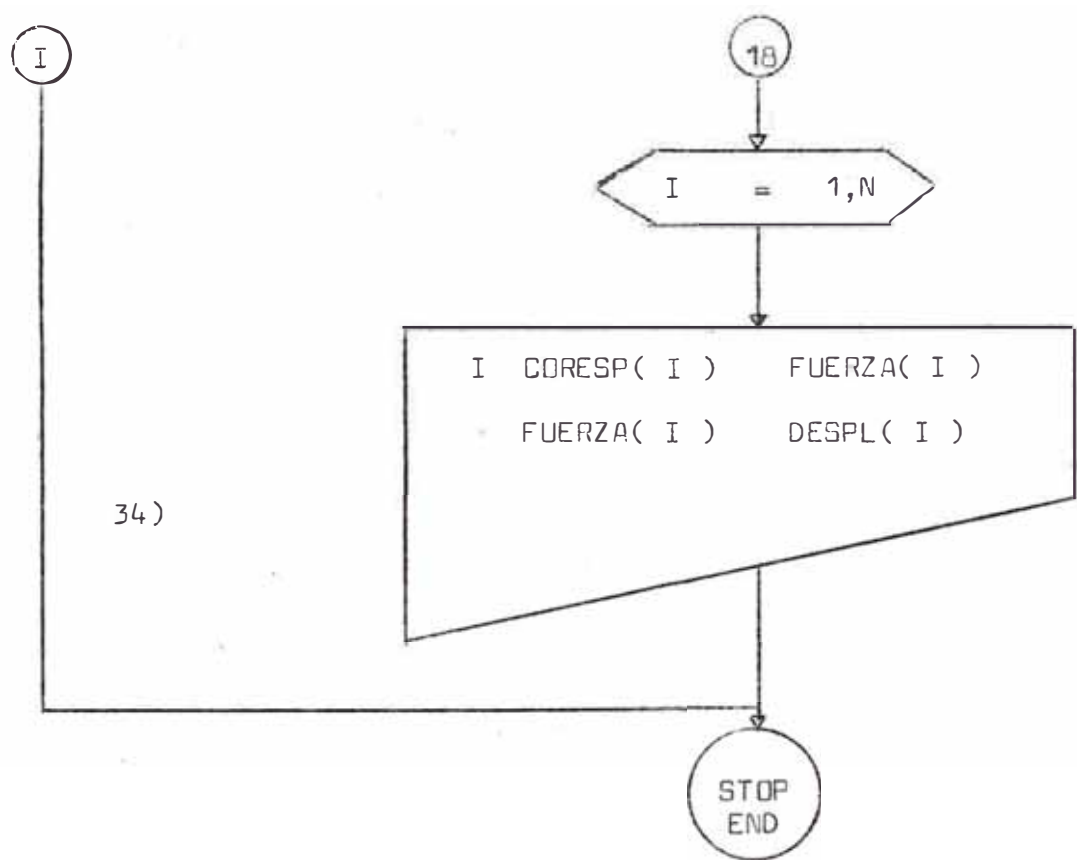
25)

ADIC = 0.0

15







34)

IV.2 EXPLICACION DE DIAGRAMAS DE FLUJO

IV.2.1 SUBPROGRAMA EIGEN (Ver Apéndice A)

Válido para matrices simétricas; "A" es la matriz simétrica, cuyos eigen values y eigen vectors se desea obtener luego se transformará en una matriz diagonal que serán los eigen values; "D" es la matriz de los eigen vectors; "N" es el orden de las matrices.

1) Se crea dos funciones; una de ellas (FUNC1F) premultiplica y sólo transforma dos filas de la matriz, la otra (FUNC2F) posmultiplica y sólo transforma dos columnas de la matriz.

2-3) Hace el valor de FN = N y E = $1 \cdot 10^{-10}$ que servirán para valores inicial y final de control, también da un valor inicial para H = 0.

3-4) Itera para hallar el valor de H igual a la suma de los cuadrados de los elementos del triángulo superior fuera de la diagonal, también toma como primera aproximación para los vectores característicos una matriz unidad.

4-5) Halla valor de $\theta = \sqrt{2H}$ y calcula un valor inicial de BF y un valor final $\theta = \theta/FN$ que serán los controles de iteración.

5-6) Comienza iteración para tomar elementos del triángulo inferior fuera de la diagonal y calcula por medio de las fórmulas deducidas de la teoría de Jacobi el valor de C y S que son Seno y Coseno.

- 7-8) Itera para premultiplicar la matriz "T" por la matriz "A"
- 8-9) Itera para posmultiplicar la matriz "A" por la matriz "T".
- 10-11) Con la iteración anterior va formando el producto de las matrices "T"
- 12) Hace los términos pivoteados igual a cero
- 13) Compara si el valor de B ha igualado al valor final - de control para terminar el subprograma

IV.2.2 PROGRAMA PRINCIPAL

- 1) Dimensionamiento de las variables con subíndice definidas en el listado del programa
- 2) Iteración para resolver un número de problemas igual a NPROB
- 3-4) Borra todos los arreglos para resolver cualquier número de problemas
- 5-6) Lee las matrices masa; de rigidez y los valores de los factores.
- 7) Imprime el número de problema y el número de pisos del edificio.
- 8-9) Itera para hallar la inversa de la raíz de la matriz masa (en este caso lo hace directamente porque la matriz masa es diagonal)
- 10) Halla el producto de matrices $B^{-1/2}A$
- 11) Completa el producto anterior $B^{-1/2}AB^{-1/2}$ obteniendo

así una matriz simétrica a la que se puede aplicar la subrutina EIGEN

- 12) Aplica la subrutina EIGEN a la matriz anterior y se obtiene los eigen values.
- 13) Dado que los eigen vectors hallados por el paso anterior no son los verdaderos los transforma por medio de una multiplicación ($\theta^{-1/2} \tilde{M}$) obteniendo así los verdaderos eigen vectors.
- 14-15) Halla los períodos $T = 2\pi / \sqrt{\omega^2}$
- 16-17) Normaliza los eigen vectors haciendo el mayor igual a 1.
- 18-19) Ordena los períodos en forma descendente para tener el período fundamental y el resto correspondiente a los otros modos de vibración.
- 20) Imprime los períodos de vibración y las formas de modo de vibración.
- 21-22) Itera para hallar; los factores de participación; la aceleración espectral correspondiente al espectro teórico ($a = c.g = 0.05 / \sqrt[3]{T_g}$); el cortante maximo en la base correspondiente a la aceleración anterior; el desplazamiento maximo correspondiente a la aceleración anterior y la masa efectiva para cada modo de vibración.
- 23) Imprime los factores de participación.
- 24-25) Halla los desplazamientos de cada piso y distribuye los cortantes en la base a lo alto del edificio; para

el método espectral del Reglamento Peruano. (obteniendo así las fuerzas de inercia en cada piso).

- 26-27) Halla el cortante en cada piso para el método dinámico con el espectro teórico del Reglamento Peruano.
- 28-29) Halla la velocidad de diseño para el nuevo método japonés.
- 30-31) Halla la fuerza de inercia y el desplazamiento de cada piso para el nuevo método.
- 32-33) Halla el cortante en cada piso para el nuevo método.
- 34) Imprime resultados de los dos métodos dinámicos.

IV.3

LISTADO DE PROGRAMAS

C TESTS DE GRADO DE JASSE ESCALAS RODRIGUEZ-SALCEDO
C PROGRAMA PARA MULTIPLICAR MATRICES
C SUBROUTINE MATMUL(N,A,B,C)
C1 SUBROUTINE MATMUL(N,A,B,C)
C2 DO 4 I=1,N
C3 DO 4 J=1,N
C4 C(I,J)=0.0
C5 DO 4 K=1,N
C6 C(I,J)=C(I,J)+(A(I,K)*B(K,J))
C7 END
C8

```

C PROGRAMA PARA CALCULAR LOS EIGEN VALORES Y EIGEN VECTORS
C TESIS DE GRADO DE JOSE OSCAR RODRIGUEZ SALCEDO
C SUBROUTINE DIAGONALIZACION DE JACOBI.
C DIMENSION A(10,10),D(10,10)
C FUNC1F(P,Q)=Q*C+P*S
C FUNC2F(P,Q)=Q*C-P*S
FN = N
E = 1.0E-10
H=0.0
DO i=1,N
  DO j=1,N
    DO k=1,N
      IF (j-k)1,j,12,11
    11 H=H+(A(j,k))**2
    12 D(j,k)=1.0
    DO T=1.0
      DT(j,k)=0.0
      D(k,j)=0.0
      1.0 CNTINUE
      R=SQR(T*0.0*T)
      DF=(R*E)/FN
      3.1 B=R/EN
      DO 5 J=2,N
        I=J-1
        DO 5 K=I+1
          IF (ABS(A(j,k))-R)>8
            P=(L(k,k)-A(j,j))/2.0*A(j,k))
            1P1322
          2 C=1.0/SQR(T*2.0)
            2=C
        5 GOTO 14
      3 C2=ABS(P)/SQR(1.0*P*P)
      3 C2=SQR(1.0*P*P)
      S=C2/(2.0*P*C)
      14 DO 20 L=1,N
        P=A(K,L)
        J=A(L,K)
        A(K,L)=FUNC1F(P,Q)
        A(L,K)=FUNC2F(P,Q)
        20 CNTINUE
        20 D9=4.0*t-1.74
        P=A(L,K)
        Q=A(L,K)
        K=L,K
        P=D(L,K)
        Q=D(L,K)
        G(L,K)=FUNC1F(P,Q)
        D(L,K)=FUNC2F(P,Q)
        19 D9=4.0*t-1.74
        P=A(L,K)
        Q=A(L,K)
        19 CNTINUE
        19 A(j,k)=0.0
        A(j,k)=0.0
        20 CNTINUE
        20 A(j,k)=0.0
        A(j,k)=0.0
        21

```

0050
0051
0052
0053

5 CONTINUE
61 IF(8-3F)61,62,31
END

TESIS DE GRADO DE JOSE OSCAR RODRIGUEZ SALCEDO

ANALISIS DINAMICO
ASESORING. ROBERTO MORALES Mo.

DEFINICIONES
MASSES ARREGLO DE MASAS
EIGENVALUES ARREGLO DE RIGIDEZ

EIGENVECTORS VECTORS
DESPLACES DESPLAZAMIENTO DEL NUEVO METODO
FUERZAES FUERZA DE INERTIA DEL NUEVO METODO
CORTANES FUERZA CORANTE DEL NUEVO METODO
PERIODOS PERIODOS DE VIBRACION
FP ES FACTOR DE PARTICIPACION

VD ES VELOCIDAD DE DISENO
MASES FUERZA Y MASA SPECTRAL EN LA BASE
VSA ES ACCELERACION SPECTRAL EN LA BASE
FIRESP FUERZA DENTRO SPECTRAL
CONEP FUERZA CORRIENTE SPECTRAL

CN = NUMERO DE PISOS
DVALDENISTON ANASITIO CARGA PRODUCCION EIGENVAL(10,10) EIGENVAL(10,10)
DVALMAS(10,10) PRODUCCION SEUDO(10,10) PERIOD(10,10) FP(10,10)
(10,10), DESPL(10,10) EULER(10,10) CORIAN(10,10), SALIN(10,10),
CORESP(10,10), YMAX(10,10) V(10,10), MASEE(10,10), E(10,10).
DATA(10,10), IDUT(10,10), NPROB(10,10)

DO 99 I=1, N
DO 10 J=1, N

FP(J)=0.0

EL(J)=0.0

DESPL(J)=0.0

FEUERZA(J)=0.0

CORTANT(J)=0.0

VD(J)=0.0

VSA(J)=0.0

VI(J)=0.0

MASEFE(J)=0.0

CORESP(J)=0.0

YMAX(J)=0.0

D(J)=0.0

AMASS(1,1)=0.0

PRODUC(1,1)=0.0

EIGENVAL(1,1)=0.0

VALMAS(1,1)=0.0

PERIOD(1,1)=0.0

EIGENVAL(1,1)=0.0

SEUDO(1,1)=0.0

ARIG(1,1)=0.0

LEFR(DIAGONALES DE MATRIZ MASA Y RIGIDEZ

READ(LIN14)(AMASS(1,1),1,1,N)
FORMAT(10F8.0)
READIN,1\$ITARGET,1,1,I=1,N
14 READIN,1\$ITARGET,1,1,I=1,N
1

```

0029      C   15. FORMATEO DE ARIG
          C   LEER PRIMERA DIAGONAL INFERIOR DE ARIG
          C   READ(FNTR,I,J=1,N)
          C   FORMAT(9F8.3)
          C   LEER PRIMERA DIAGONAL SUPERIOR DE ARIG
          C   READ(FNTR,I=2,N)
          C   ARIG(I-1,I)=ARIG(I,I)
          C   READ(FNTR,I=3,N)
          C   16. FORMATEO DE ARIG
          C   WRITE(IOUT,21)
          C   FORMAT(IOUT,21)
          C   21. FORMATEO DE ARIG
          C   ISOS *** LONGITUD L *** A/L *** 1,1
          C   WRITE(IOUT,23)IPRDE,N,ELE,A
          C   FUPNAT(IH,34X,3,17X,13,23X,F5.2,TX,F30.1)
          C   HALLAR LA INVERSA DE LA RAIZ DE AMASS.
          C   DO 33 I=1,N
          C   DO 33 J=1,N
          C   IF(I-1-J,0,0,38,40,38
          C   VALMAS(I,J)=SQRT(100.0)/SQRT(AMASS(I,J))
          C   22. CONTINUE
          C   HALLAR MATRIZ SIMETRICA PARA HALLAR VERDADEROS EIGEN
          C   CALL MATMUL(N,VALMAS,ARIG,PRODUC)
          C   CALL MATMUL(N,PRODUC,VALMAS,EGNVAL)
          C   COMPUTAR LOS VERDADEROS EIGEN
          C   CALL EIGEN(EGNVTR,N)
          C   HALLAR LOS VERDADEROS VALORES ARREGLADOS DE EGNVTR
          C   CALL MATMUL(N,VALMAS,SEUDO,EGNVTR)
          C   DECLARAR LOS PERIODOS Y ESCRIBIRLOS
          C   PERIOD(N)=6.2832/SQRT(EGNVVAL(1,1))
          C   52. NORMALIZAR LAS FORMAS DE MONDO AL MAYOR VALOR.
          X=0.0
          DO 69 J=1,N
          DO 68 I=1,N
          IF(LARSIE5NVT(I,J))-ABS(X))65,64,64
          65 X=EGNVTR(I,J)
          66 IF(I-N1,57,68
          68 CONTINUE
          67 DO 69 I=1,N
          68 EGNVTR(I,J)=EGNVTR(I,J)/X
          69 CONTINUE
          69 ORDENAR EN FORMA DESCENDENTE LOS PERIODOS Y COLOCAR EN SU VERDADERA
          C   POSITION EN MONDO$.
          N1=N-1
          DO 90 J=1,N1
          M=J+1
          DO 90 K=M,N
          IF(TEMP1=PERIOD(J),PERIOD(K))
          85 TEMP1=PERIOD(J)
          PERIOD(J,K)=PERIOD(K)
          PERIOD(K)=TEMP1
          0065
          0066
          0067
          0068
          0069
          0070
          0071

```

```

0073
0074      TEMP2=EGNVTR(I,J)
0075      EGNVTR(I,J)=TEMP2
0076      CONTINUE
2      IMPRIME LOS RESULTADOS DE LOS PERIODOS Y MODOS.
3      0077      WRITE(IOUT,56)
3      DATA 56 FORMAT(1HO,34X,'PERIODOS DE VIBRACION I EN SEGUNDOS 10,1')
4      0079      WRITE(IOUT,58)(PERIOD(I,I),I=1,N)
4      0080      FORMAT(1HO,5X,10F10.3)
5      0091      WRITE(IOUT,70)
5      0082      70 FORMAT(1HO,48X,'FORMAS DE MODO',/)

5      0083      DO 71 I=1,N
5      0084      71 WRITE(IOUT,72)EGNVTR(I,J),J=1,N
5      0085      C      72 FORMAT(1HO,5X,10E10.3)
6      0086      C      WRITE(IOUT,73)FORMAT(I,J),J=1,N
6      0087      DATA 73 FORMAT(1HO,5X,10E10.3)
7      0088      C      HALLAR LOS FACTORES DE PARTICIPACION.
7      0089      DO 93 I=1,N
7      0090      DATA 93 I=1,N
7      0091      FTMAS = FTMAS + AMASS(I,I)*EGNVTR(I,J)*EGNVTR(I,J)
8      0092      92 FTMAS = FTMAS + AMASS(I,I)*EGNVTR(I,J)*EGNVTR(I,J)
8      0093      C      CONTINUE
9      0094      C      ERLL1 = FTMAS/EL1MAS
9      0095      C      CALCULO DE CORRIENTE PARA EL METODO ESPECTRAL TEORICO DEL R.P.
9      0096      C      SA(J) = (0.05/(PERIOD(J,J))*0.33)*980.0
9      0097      C      YMAX(J) = FP(J)*SA(J)-1000.0
9      0098      C      M2SEFE(J) = FTMAS
9      0099      C      CONTINUE
12     0100      DO 140 I = 1,N
12     0101      F1 = 0.0
13     0102      Y = C*2
13     0103      Y = Y + FTMAS*(J)*EGNVTR(I,J)**2
4      0104      F1 = F1 + ((V(J)*AMASS(I,I)*EGNVTR(I,J))/MASEFE(J))**2
4      0105      142 CONTINUE
15     0106      D(I,I) = SQRT(Y)
15     0107      F1(I) = SQRT(F1)
15     0108      140 CONTINUE
15     0109      ADIC = 0.0
15     0110      DO 144 I = 1,N
15     0111      L = N-I+1
15     0112      ADIC = ADIC + F1(L)
15     0113      CORESP(L) = ADIC
15     0114      144 CONTINUE
6      0115      WRITE(IOUT,101)
6      0116      101 EDIMAT(1HO,38X)** FACILITAR PARTICIPACION ** 1,1
6      0117      WRITE(IOUT,104)(FP(J), J=1,N)
6      0118      104 FORMAT(1HO,5X,10F10.3)
9      0119      C      GALLEJO DE VELOCIDAD MAXIMA DE DISENO VD
9      0120      DO 139 I=1,N
9      0121      SR = PERIOD(I,I)/TG
9      0122      ITTSR = 1.0*I/34, 134, 136

```

134 SV = XM1*X M2*SR*VO
 VD(I) = Z#JSOI*E\$V
 DO 139
 SR = 1.0
 SV = XM1*X M2*SR*VO
 VD(I) = Z*JSOI*E\$V
 CONTINUE
 CALCULQ DE DESPLAZAMIENTOS Y
 PARA EL NUEVO METODO DE DIS
 WRITE(IOUT,116)
 116 FORMAT(1H0,1\$*T\$*P\$*A\$*T\$*X\$*C\$)
 116 FORMAT(1H0,1\$*T\$*P\$*A\$*T\$*X\$*C\$)
 DO 115 I=1,N
 U = 0.0
 F = 0.0
 DO 112 J=1,N
 U = U + ((FP(J)*EGNYTR(I,J))*F
 F = F + ((AMASS(I,I))*FP(I,J))*F
 112 CONTINUE
 DESPL(I) = SQRT(U)/DUCT
 FUERZ(I) = SORT(F)
 115 CONTINUE
 CALCULQ DE CONTANTES PNR PIS
 SUM = 0.0
 DO 126 I=1,N
 K = N
 SUM = SUM + FUERZA(K)/DUCT
 CORTAN(K) = SUM
 126 CONTINUE
 DO 127 I=1,N
 K = N
 SUM = SUM + FUERZA(K)/DUCT
 CORTAN(K) = SUM
 127 CONTINUE
 128 WRITE(IOUT,129)
 129 FORMAT(1H0,5X,I3,4X,F10.3,4)
 128 FORMAT(1H0,5X,I3,4X,F10.3,4)
 80 CONTINUE
 STOP
 SIND

DATE 26/07/73 TIME 5.18.05
 FUEZA SISMICA EN CADA PISO.
 FUEZA(II), CORIAN(II), DESPL(II)
 0.3, 5X, FI0.3, 11X, FI0.3, 12X, FI0.3
 FUEZA(II) = $\frac{F_{CM}}{M} \cdot \frac{1}{2} \cdot \frac{1}{2} \cdot \frac{1}{2}$
 FUEZA(II) = $\frac{F_{CM}}{M} \cdot \frac{1}{2} \cdot \frac{1}{2} \cdot \frac{1}{2}$
 PERIOD(II) = $\sqrt{\frac{M}{F_{CM}}} \cdot \frac{1}{2} \cdot \frac{1}{2} \cdot \frac{1}{2}$
 PERIOD(II) = $\sqrt{\frac{M}{F_{CM}}} \cdot \frac{1}{2} \cdot \frac{1}{2} \cdot \frac{1}{2}$

C A P I T U L O V

V.O. R E S U L T A D O S

En este Capítulo se proporcionan los resultados del análisis dinámico de los 33 edificios.

Para el análisis dinámico espectral se ha usado el espectro de aceleraciones del Reglamento Peruano, o sea

$$S_a = (0.05 / \sqrt[3]{T}) g.$$

Para el análisis con el nuevo método japonés propuesto se ha supuesto que los edificios están situados en Lima y los valores de los coeficientes usados son:

$$Z = 0.900$$

$$USOI = 1.000$$

$$\varepsilon = 1.000$$

$$TG = 0.500$$

$$V_0 = 25.00$$

$$DUCT = 2.000$$

$$XM1 = 1.000$$

$$XM2 = 0.700$$

La notación que aparece en la salida de resultados es:

C. ESP. (TN) = Cortante para el análisis espectral en Tn.

D.ESP. (CM) = Desplazamiento para el análisis espectral (Cm)

F.I.NUEVO MET= Fuerza de inercia por piso para el nuevo método en Tn.

C.NUEVO MET.(TN) = Cortante para el nuevo método en Tn.

D.NUEVO MET.(CM) = Desplazamiento para el nuevo método en Cm.

10

4.00

10

PERIODOS DE VIBRACION EN SEGUNDOS

	10	4.00	0.00
1.074	0.439	0.246	0.172
			0.143
		0.120	0.106
			0.094
			0.072
			0.062
0.247	-0.671	-0.491	0.825
0.317	-0.819	-0.518	0.665
0.383	-0.907	-0.425	0.191
0.445	-0.928	-0.233	0.345
0.507	-0.831	-0.073	0.758
0.555	-0.544	2.763	-0.845
0.737	-0.691	1.000	0.245
0.890	0.282	0.563	1.000
0.922	0.773	-0.253	0.270
2.000	1.000	-0.358	-0.733

** FACTORES DE PARTICIPACION **

1.0375	-0.489	-0.134	0.119	0.053	0.035	0.018	-0.053	-0.024	0.010
C. ESP. (T-4)	D. ESP. (CM)	E. 1. NUEVOMET. (TN)	F. 1. NUEVOMET. (TN)	G. NUEVOMET. (CM)	H. NUEVOMET. (CM)	I.	J.	K.	L.
*DISC	33.0322	0.486	5.580	37.922	0.484				
2.	21.0132	0.622	6.354	25.133	0.618				
3.	23.0769	0.749	7.003	31.955	0.740				
4.	25.081	0.866	7.372	28.451	0.851				
5.	23.0181	0.972	7.253	24.765	0.949				
6.	20.208	1.262	6.772	21.139	1.219				
7.	17.040	1.512	6.937	17.753	1.456				
8.	13.542	1.712	7.956	14.284	1.650				
9.	9.568	1.853	9.308	10.306	1.789				
10.	5.151	1.928	11.304	5.652	1.865				

4.00

1.0

2

PERCENTAJES DE VIBRACION (EN SEGUNDOS)

1.032	0.416	0.232	0.164	0.135	0.112	0.099	0.091	0.070	0.061
-------	-------	-------	-------	-------	-------	-------	-------	-------	-------

FACTORES DE METABOLISMO

0.262	-0.672	-0.532	0.908	0.918	0.354	0.268	-0.872	-0.649	0.321
0.327	-0.317	-0.551	0.722	0.436	0.263	-0.039	0.350	1.000	-0.801
0.407	-0.898	-0.431	0.142	-0.304	-0.295	-0.292	1.000	-0.083	1.000
0.472	-0.909	-0.204	-0.490	-0.870	-0.336	-0.140	0.015	-0.939	-0.848
0.531	-0.349	0.375	-0.375	-0.734	-0.015	0.206	-0.994	0.771	0.397
0.677	-0.512	0.301	-0.754	1.000	0.923	0.297	0.585	-0.156	-0.054
0.900	-0.054	1.000	0.362	0.862	-0.741	-0.855	-0.341	0.031	0.007
0.897	0.406	0.541	1.000	-0.942	-0.317	1.000	0.191	-0.006	-0.001
11	0.865	0.783	-0.276	0.377	-0.926	-1.000	-0.779	-0.096	0.001
12	1.040	1.000	-0.908	-0.785	-0.879	-0.501	0.272	0.027	-0.000
13									

** FACTORES DE PARTICIPACION **

14	1.262	-0.470	-0.177	0.115	0.056	0.033	0.022	-0.047	-0.024	0.010
15	PISO	C. ESP. (TN)	D. ESP. (CM)	E. O. NUEVO MET. (TN)	F. O. NUEVO MET. (TN)	G. NUEVO MET. (TN)	H. NUEVO MET. (CM)	I.	J.	K.
16	1	35.980	0.476	5.593	38.457	38.457	0.482			
17	2	31.736	0.609	6.350	35.670	35.670	0.616			
18	3	29.319	0.734	6.930	32.495	32.495	0.739			
19	4	26.574	0.849	7.247	29.005	29.005	0.851			
20	5	23.611	0.952	7.248	25.332	25.332	0.950			
21	6	20.564	1.207	6.920	21.708	21.708	1.196			
22	7	17.314	1.425	7.254	18.248	18.248	1.409			
23	8	17.709	1.593	8.287	14.621	14.621	1.582			
24	9	9.649	1.720	9.549	10.477	10.477	1.706			
25	10	5.171	1.785	11.405	5.703	5.703	1.772			

PERIODOS DE VIBRACION (EN SEGUNDOS)

0.856	0.324	0.180	0.131	0.103	0.085	0.077	0.071*	0.061	0.053
-------	-------	-------	-------	-------	-------	-------	--------	-------	-------

FORMAS DE MESES

0.303	-0.692	-0.738	1.000	0.654	0.628	0.342	0.297	-0.624	0.315
0.298	-0.231	-0.715	0.675	0.139	-0.117	-0.444	-0.241	1.000	-0.791
0.482	-0.829	-0.464	-0.058	-0.433	-0.695	-0.948	-0.289	-0.169	1.000
0.558	-0.859	-0.064	-0.756	-0.642	-0.277	0.218	0.250	-0.866	-0.873
0.627	-0.744	0.357	-0.777	-0.226	0.537	1.000	0.281	0.855	0.453
0.745	-0.382	0.961	-0.225	1.000	0.669	-0.807	-0.741	-0.310	-0.101
0.843	0.049	1.000	0.707	0.452	-0.958	-0.006	1.000	0.112	0.022
0.920	0.472	0.450	0.955	-0.898	-0.057	0.815	-0.989	-0.040	-0.005
0.973	0.807	-0.364	0.143	-0.556	1.000	-0.997	0.712	0.014	0.001
1.000	1.000	-0.965	-0.827	0.749	-0.562	0.412	-0.242	-0.003	-0.000

** FACTORES DE PARTICIPACION **

14	1.213	-0.420	-0.156	0.037	0.050	0.035	0.028	0.014	-0.023	0.010
15	PISO C. ESD. (TN)	D. ESD. (CM)	F. I. NUEVO MET. (TN)	G. NUEVO MET. (TN)	H. NUEVO MET. (CM)					
16	1	36.247	0.392	5.785	42.262					0.441
17	2	33.870	0.504	6.590	29.369					0.568
18	3	31.183	0.609	7.273	36.074					0.685
19	4	28.214	0.705	7.759	32.437					0.792
20	5	24.978	0.790	7.815	28.558					0.887
21	6	21.640	0.935	8.008	24.650					1.050
22	7	18.091	1.059	8.732	20.646					1.188
23	8	24.131	1.150	9.568	16.280					1.296
24	9	20.899	1.223	10.679	11.446					1.372
25	10	5.258	1.213	6.107	6.412					

*** EDIFICIO NÚMERO ***. NÚMERO DE PISOS *** LONGITUD L *** ANGULOS ***

4 10 4.00 0.3

PERIODOS DE VIBRACION (EN SEGUNDOS)

	0.668	0.239	0.135	0.099	0.076	0.064	0.057	0.051	0.048	0.043
--	-------	-------	-------	-------	-------	-------	-------	-------	-------	-------

FORMAS DE MODEO

0.328	-0.724	-0.962	1.000	0.699	-0.865	-0.522	-0.306	-0.577	0.307
0.429	-0.870	-0.805	0.586	0.067	0.364	0.464	0.428	1.000	-0.773
0.524	-0.911	-0.443	-0.244	-0.644	0.983	0.464	0.044	-0.359	1.000
0.611	-0.842	0.085	-0.901	-0.594	-0.046	-0.522	-0.455	-0.664	-0.919
0.689	-0.672	0.582	-0.918	0.158	-0.998	-0.399	0.235	0.980	0.553
0.782	-0.376	1.000	-0.009	1.000	-0.005	0.926	0.374	-0.715	-0.200
0.370	0.212	0.894	0.909	0.201	1.000	-0.548	-0.844	0.505	0.072
0.934	0.511	0.319	0.930	-0.928	-0.323	-0.476	1.000	-0.334	-0.026
0.977	0.824	-0.423	0.034	-0.535	-0.894	1.000	-0.785	0.188	0.009
1.000	1.000	-0.943	-0.895	0.736	0.616	-0.475	0.278	-0.057	-0.002

** FACTORES DE PARTICIPACION **

	4	5	6	7	8	9	10	11	12	13
PISO	C. ESP. (TN)	D. ESP. (CM)	F. I. NUEVO MET. (TN)	G. NUEVO MET. (TN)	H. NUEVO MET. (CM)	I.	J.	K.	L.	M.
1	39.645	9.267	6.488	51.263	51.353					
2	37.007	0.350	7.558	48.020	46.2					
3	34.0023	0.426	30.550	44.240	56.4					
4	30.699	0.496	2.348	39.965	65.7					
5	27.087	0.559	9.708	35.291	73.9					
6	23.338	0.638	10.252	30.437	84.5					
7	19.390	0.705	11.162	25.314	93.2					
8	15.105	0.757	12.084	19.730	100.1					
9	10.491	0.792	12.979	13.688	104.8					
10	5.539	0.811	14.397	7.199	107.3					

5 10 * 4600 0.4

PERIODOS DE VIBRACION EN SEGUNDOS 1

0.532 0.186 0.107 0.077 0.060 0.051 0.044 0.040 0.038 0.035

DECODE

0.323	-0.739	-0.905	1.000	0.808	0.861	-0.530	-0.553	-0.383	0.297
0.423	-0.898	-0.841	0.543	0.005	-0.463	0.588	0.913	0.749	0.752
0.535	-0.936	-0.431	-0.338	-0.805	-0.947	0.317	-0.249	-0.497	1.000
0.629	-0.847	0.155	-0.955	-0.573	0.287	-0.702	-0.692	-0.166	-0.973
0.715	-0.644	0.677	-0.837	0.401	0.700	-0.762	0.859	0.693	0.678
0.805	-0.277	1.000	0.135	1.000	-0.339	0.937	-0.225	-0.233	-0.344
0.891	0.135	0.830	0.971	0.045	-0.939	-0.723	-0.531	1.000	0.174
0.930	0.525	0.252	0.897	0.980	0.508	-0.331	1.000	-0.880	-0.086
0.976	0.330	-0.451	-0.017	-0.848	1.000	-0.928	0.595	0.039	0.000
1.000	-0.939	-0.015	-0.756	-0.660	-0.507	0.354	-0.199	-0.011	-0.000

** FACTORES DE PARTICIPACION **

$\Sigma_{i=1}^n \text{Var}(Y_i) = 0.267 - 0.364 = -0.097$

1	43.94	0.179	7.351	62.750	0.274
2	49.311	0.239	8.817	59.075	0.367
3	37.037	0.255	10.242	54.0666	0.454
4	33.386	0.346	14.460	49.0545	0.533
5	29.0410	0.391	12.153	43.0816	0.603
6	25.0272	0.442	12.945	37.0739	0.680
7	20.0938	0.483	14.051	31.0266	0.744
8	16.0275	0.516	15.073	24.0241	0.794
9	11.0280	0.538	15.0980	16.0704	0.828
10	5.0933	0.549	17.0428	8.0714	0.846

*** EDIFICIO NÚMERO *** NÚMERO DE PISOS *** LONGITUD L *** ANGULO ***

	6	10	40.00	0.5
	PERIODOS DE VIBRACION (EN SEGUNDOS)			
	FORMAS DE MODA			
1	0.441	0.152	0.088	0.064
2	0.310	-0.736	-0.919	1.000
3	0.425	-0.912	-0.865	0.531
4	0.523	-0.955	-0.439	-0.374
5	0.632	-0.860	0.176	-0.972
6	0.720	-0.640	0.716	-0.771
7	0.812	-0.272	1.200	0.195
8	0.884	0.139	0.805	0.983
9	0.941	0.528	0.223	0.869
10	0.980	0.831	-0.465	-0.041
11	1.000	1.000	-0.930	-0.913
12	1.253	-0.365	-0.167	0.087
13	** FACTORES DE PARTICIPACION **			
14	1.000	0.000	0.000	0.000
15	PISO	C. ESD. (TN)	D. ESP. (CM)	F. I. NUEVO MET. (TN)
16	1	46.545	0.125	7.550
17	2	43.454	0.171	9.022
18	3	39.922	0.214	10.845
19	4	35.963	0.253	12.246
20	5	31.662	0.288	13.086
21	6	27.173	0.324	13.0937
22	7	22.485	0.354	15.094
23	8	17.464	0.377	16.150
24	9	12.095	0.392	17.074
25	10	6.356	0.401	18.496

*** EDIFICIO NUMERO *** - NUMERO DE PISOS *** LONGITUD L *** A/L ***

7 10 4.00 0.6

PERIODOS DE VIBRACION (EN SEGUNDOS)

0.380 0.130 0.076 0.055 0.043 0.036 0.032 0.029 0.027 0.026

FORMAS DE MODO

0.295	-0.725	-0.922	1.000	-0.891	0.943	-0.622	-0.560	0.293	-0.258
0.415	-0.916	-0.884	0.534	0.027	-0.581	0.775	1.000	-0.649	0.657
0.527	-0.963	-0.453	-0.385	0.907	-0.973	0.197	-0.504	0.664	-0.923
0.630	-0.872	0.179	-0.977	0.528	0.531	-0.883	-0.464	-0.329	1.000
0.727	-0.544	0.737	-0.740	-0.584	1.000	0.287	0.997	-0.179	-0.874
0.811	-0.276	1.000	0.222	-0.952	-0.615	0.808	-0.711	0.676	0.654
0.885	0.136	0.794	0.982	0.093	-0.949	-0.872	-0.091	-0.979	-0.473
0.941	0.526	0.211	0.851	1.000	0.694	-0.177	0.827	1.000	0.319
0.930	0.833	-0.472	-0.052	0.423	0.892	1.000	-0.964	-0.734	-0.182
1.000	1.000	-0.331	-0.908	-0.782	-0.767	-0.547	0.402	0.257	0.057

** FACTORES DE PARTICIPACION **

PISO	C. ESP. (TN)	D. ESP. (CM)	F. I. o NUEVO MET. (TN)	C. NUEVO MET. (TN)	D. NUEVO MET. (CM)	
1	49.441	0.093	7.463	67.336	0.135	
2	46.179	0.130	9.222	63.605	0.190	
3	42.430	0.165	10.909	58.994	0.241	
4	38.223	0.197	12.361	53.540	0.288	
5	33.635	0.225	13.247	47.359	0.330	
6	28.846	0.252	14.093	40.735	0.370	
7	23.855	0.275	15.245	33.689	0.404	
8	13.519	0.293	16.201	26.066	0.430	
9	12.821	0.305	17.234	17.916	0.448	
10	6.729	0.312	18.598	9.299	0.457	

*** EDIFICIO NUMERO *** NUMERO DE PISOS *** LONGITUD L *** A/L ***

	8	10	4.00	0.7
PERIODOS DE VIBRACION EN SEGUNDOS				
0.337	0.115	0.068	0.049	0.039
FORMATOS DE METRO				
0.283	-0.711	-0.919	1.000	-0.907
0.406	-0.916	-0.858	0.543	0.24
0.521	-0.977	-0.469	-0.385	0.921
0.627	-0.882	0.173	-0.979	0.518
0.721	-0.650	0.737	-0.723	-0.617
0.810	-0.282	1.000	0.233	-0.936
0.884	0.131	0.790	0.979	0.122
0.941	0.524	0.205	0.833	1.000
0.980	0.830	-0.476	-0.059	0.408
1.000	1.000	-0.932	-0.404	-0.784
** FACTORES DE PARTICIPACION **				
1.263	-0.373	-0.180	0.097	-0.060
PISO C. ESP. (TN) D. FSP. (CM)	F.1. NUEVO MET. (TN)	C. NUEVO MET. (TN)	D. NUEVO MET. (CM)	
1 51.961	0.073	7.392	67.821	0.102
2 48.552	0.104	9.225	64.125	0.146
3 44.613	0.133	10.967	59.512	0.187
4 40.190	0.160	12.463	54.029	0.225
5 35.361	0.184	13.387	47.798	0.259
6 30.314	0.206	14.0237	41.104	0.291
7 25.057	0.225	15.393	33.986	0.317
8 19.444	0.240	16.457	26.290	0.338
9 13.458	0.250	17.406	18.061	0.352
10 7.055	0.255	18.716	9.358	0.359

EDIFICIO NUMERO *** NUMERO DE PISOS *** LONGITUD L *** A/L ***

0.8
4000

PERIODOS DE VIBRACIONES EN SEGUIMIENTOS

0.305 0.104 0.062 0.045 0.035 0.030 0.026 0.024 0.022 0.021

FORMAS DE MODO

0.526 -0.983 -0.435 -0.382 0.939 -0.996 0.149 -0.591 0.829 0.850

—0.0720 —0.0556 —0.0739 —0.0714 —0.0637 —0.0430 —0.0000 1.0000

0.834 0.127 0.788 0.976 0.140 -0.954 -0.927 0.046 -0.895 0.751

0.942 0.522 0.202 0.831 1.000 0.770 -0.107 0.773 1.000 -0.564
 0.942 0.522 0.202 0.831 1.000 0.770 -0.107 0.773 1.000 -0.564

1.000 -0.000 -0.233 -0.902 -0.787 -0.819 -0.570 -0.427 0.277 -0.114

卷之三

D. ESP. (CM) F. 1. NUEVO MET. (TN) C. NUEVO MET. (TN) D. NUEVO MET. (CM)

540344 0.059 7.35% 68.347 0.081

0.036 9.243 64.642

0.155 13.517 48.224

41.0485
24.227
14.375
14.375

2023.04.16 11:59pm 508

9 14.045 0.212 170.576
10 7.355 0.211 170.576

00, 294

*** EDIFICIO NUMERO *** NUMERO DE PISOS *** LONGITUD L *** A/L ***

	10	10	4.00	0.9
	PERIODOS DE VIBRACION EN SEGUNDOS			
	FORMAS DE MODA			
6	0.231	0.096	0.057	0.041
7	0.264	-0.687	-0.910	1.000
8	0.293	-0.912	-0.913	0.563
9	0.511	-0.937	-0.496	-0.376
10	0.621	-0.399	0.158	-0.980
11	0.718	-0.662	0.738	-0.709
12	0.829	-0.294	1.020	0.241
13	0.883	0.123	0.787	0.973
14	0.941	0.519	0.201	0.826
15	0.980	0.829	-0.480	-0.067
16	1.000	1.000	-0.934	-0.900
17	1.265	-0.379	-0.189	0.105
18	1.340	0.050	0.050	0.050
19	1.560	0.346	0.050	0.321
20	1.660	2.034	0.166	0.117
21	1.770	2.024	0.185	0.135
22	1.956	1.40556	0.188	0.188
23	2.012	1.612	0.945	0.945
				** FACTORES DE PARTICIPACION **
14	0.035	-0.026	-0.017	0.010
15	PISO Co. ESP. (TN) D. ESP. (CM)	F.1. NUEVO MET. (TN)	C. NUEVO MET. (TN)	D. NUEVO MET. (CM)
16	1	56.346	0.050	7.321
17	2	52.669	0.074	9.266
18	3	48.403	0.097	11.095
19	4	43.593	0.117	12.659
20	5	33.335	0.135	13.641
21	6	32.843	0.152	14.509
22	7	27.134	0.166	15.682
23	8	29.024	0.177	16.767
	9	14.0556	0.185	17.747
	10	18.0945	0.188	18.945

*** EDIFICIO NUMERO *** NUMERO DE PISOS *** LONGITUD L *** A/L ***

11 10 4.00 1.0

PERIODOS DE VIBRACION EN SEGUNDOS

	0.262	0.089	0.053	0.039	0.030	0.026	0.023	0.021	0.019	0.019
FORMAS DE MODO										
FORMAS DE MODO										
0.257	-0.676	-0.904	1.000	-0.935	1.000	-0.701	-0.547	0.343	0.193	
0.385	-0.909	-0.925	0.573	0.005	-0.622	0.286	1.000	-0.786	-0.498	
0.506	-0.990	-0.508	-0.370	0.937	-0.977	0.129	-0.633	0.929	0.750	
0.618	-0.905	0.150	-0.980	0.510	0.658	-0.969	-0.253	-0.718	-0.924	
0.717	-0.668	0.737	-0.707	-0.657	0.954	0.497	0.932	0.233	1.000	
0.808	-0.300	1.000	0.241	-0.913	-0.738	0.696	-0.871	0.372	-0.980	
0.883	0.118	0.788	0.971	0.160	-0.921	-0.954	0.106	-0.841	0.871	
0.941	0.517	0.201	0.823	1.000	0.779	-0.071	0.744	1.000	-0.684	
0.780	-0.828	-0.481	-0.070	0.334	0.887	1.000	-0.993	-0.792	0.434	
1.000	1.000	-0.935	-0.399	-0.791	-0.818	-0.585	0.440	0.293	-0.145	

** FACTORES DE PARTICIPACION **

	1.0265	-0.392	-0.193	0.109	-0.068	0.037	-0.027	-0.018	0.011	0.005
C. ESP. (TN) D. ESP. (CM) F. I. NUEVO MET. (TN) C. NUEVO MET. (TN) D. NUEVO MET. (CM)										
1 58.247 0.043 7.303 69.319 0.056										
2	54.459	0.065	9.295	65.668	0.084					
3	50.044	0.085	11.161	61.020	0.110					
4	45.067	0.104	12.755	55.439	0.135					
5	39.627	0.120	13.762	49.062	0.156					
6	33.942	0.135	14.642	42.181	0.176					
7	28.035	0.148	15.825	34.860	0.192					
8	21.740	0.158	16.921	26.948	0.205					
9	15.033	0.164	17.917	18.487	0.213					
10	7.851	0.168	19.057	9.529	0.218					

*** EDIFICIO NUMERO *** NUMERO DE PISOS *** LONGITUD L *** A/L ***

	12	1.0	6.00	0.0
PERIODOS DE VIBRACION EN SEGUNDOS				
	0.386	0.374	0.226	0.152
FORMAS DE MODOS				

C.171	0.664	-0.377	-0.385	0.870	0.755	0.216	-0.883	-0.673	0.350
0.220	0.323	-0.428	-0.265	0.428	0.433	0.110	0.243	1.000	-0.811
0.267	0.935	-0.415	-0.223	0.100	-0.096	-0.080	1.000	-0.023	1.000
0.311	0.995	-0.327	-0.005	-0.450	-0.614	-0.209	0.221	-0.984	-0.829
0.352	1.000	-0.207	0.214	-0.781	-0.742	-0.178	-0.895	0.708	0.363
0.550	0.242	0.533	1.000	-0.414	0.972	0.672	0.171	-0.064	-0.023
0.721	0.282	1.000	0.149	1.000	-0.322	-0.974	-0.032	0.006	0.001
0.657	-0.255	0.619	-0.946	-0.115	-0.619	1.000	0.006	-0.001	-0.000
0.751	-0.722	-0.225	-0.493	-0.939	1.000	-0.741	-0.001	0.000	0.000
1.000	-0.992	-0.901	0.767	0.611	-0.475	0.272	0.000	-0.000	-0.000

** FACTORES DE PARTICIPACION **

	1.0425	0.586	-0.233	-0.116	0.111	0.034	0.028	-0.063	-0.025	0.010
PISO	C. ESP.(TN)	D. ESP.(CM)	F.O.I.	NUEVO MET.(TN)	C.	NUEVO MET.(TN)	D.	NUEVO MET.(CM)		
1	81.0863	0.265	1.40112		101.137		0.304			
2	76.0543	0.339	16.0445		94.081		0.388			
3	70.0525	0.408	18.0575		85.0858		0.464			
4	63.0739	0.471	19.0929		76.0571		0.533			
5	56.0434	0.528	19.0806		66.0606		0.594			
6	49.0023	0.802	18.0779		56.0703		0.884			
7	41.0327	1.042	18.0838		47.0314		1.143			
8	32.0924	1.240	20.0932		37.0895		1.357			
9	23.0464	1.0379	25.0465		27.0425		1.513			
10	12.0388	1.0453	29.0386		14.0693		1.596			

*** EDIFICIO NUMERO ***. NUMERO DE PISOS *** LONGITUD L *** ALTURA ***

13 10 6.00 0.1

PERFOMAS DE VIBRACION (EN SEGUNDOS)

0.828 0.349 0.204 0.138 0.114 0.101 0.090 0.070 0.053 0.045

FORMAS DE MODO

6	0.138	-0.665	-0.401	-0.513	1.000	0.469	0.162	-0.880	-0.558	0.328
	0.254	-0.824	-0.445	-0.462	0.705	0.252	0.057	0.265	1.000	-0.809
	0.308	-0.926	-0.409	-0.227	0.006	-0.151	-0.101	1.000	-0.036	1.000
	0.358	-0.974	-0.300	0.098	-0.696	-0.442	-0.166	0.187	-0.974	-0.833
	0.404	-0.962	-0.136	0.384	-1.000	-0.409	-0.079	-0.916	0.722	0.369
	0.538	-0.662	0.679	1.000	0.081	0.997	0.602	0.229	-0.032	-0.029
	0.745	-0.197	0.000	0.039	0.975	-0.556	-0.944	-0.057	0.009	0.002
	0.870	0.317	0.592	-0.983	-0.385	-0.459	1.000	0.014	-0.001	-0.000
	0.955	0.752	-0.245	-0.455	-0.855	1.000	-0.754	-0.004	0.000	0.000
	1.000	1.000	-0.316	0.790	2.0.651	-0.508	0.279	0.001	-0.000	-0.000

** FACTORES DE PARTICIPACION **

4	1.414	-0.552	-0.210	-0.120	0.102	0.058	0.019	-0.061	-0.025	0.010
15	PISO CO. ESP. (TN) DO. ESP. (CM) F. I. NUEVO MET. (TN) C. NUEVO MET. (TN) D. NUEVO MET. (CM)									
6	1	83.235	0.265	13.990	102.743				0.311	
	2	77.814	0.339	16.205	95.748				0.398	
	3	71.713	0.409	18.225	87.645				0.478	
	4	54.870	0.472	19.529	78.533				0.550	
	5	57.499	0.530	19.418	68.769				0.615	
	6.	50.010	0.756	18.810	59.059				0.870	
	7	42.228	0.954	19.854	49.654				1.094	
	8	33.583	1.114	22.641	39.727				1.277	
	9	23.759	1.227	26.723	28.407				1.408	
	10	12.478	1.286	30.090	15.045				1.477	

*** EDIFICIO NUMERO *** NUMERO DE PIENSOS *** LONGITUD L *** A/L ***

	14	10	10	6.00	0.2
PERIODOS DE VIBRACION (EN SEGUNDOS)					
	0.666	0.267	0.143	0.106	0.097
FORMAS DE MODO					
6	0.287	-0.659	-0.555	0.969	0.767
	0.346	-0.825	-0.589	0.733	0.373
	0.420	-0.884	-0.437	0.105	-0.317
	0.489	-0.838	-0.174	-0.579	-0.756
	0.550	-0.817	0.136	-0.954	-0.573
9	0.522	-0.462	0.844	-0.651	1.000
	0.813	-0.015	0.000	0.486	0.688
	0.904	0.426	0.591	1.000	-0.935
	0.958	0.704	-0.375	0.231	-0.776
12	1.000	1.000	-0.940	-0.834	-0.862
3	** FACTORES DE PARTICIPACION **				
4	1.357	-0.465	-0.176	0.113	0.058
5	PIENO C. ESP. (TN)	D. ESP. (CM)	F. I. NUEVO MET. (TN)	C. NUEVO MET. (TN)	D. NUEVO MET. (CM)
6	1	83.161	0.232	14.260	114.615
	2	82.441	0.300	16.661	107.486
	3	75.945	0.363	18.804	99.155
	4	68.727	0.421	20.448	89.753
9	5	60.886	0.473	20.800	79.529
	6	52.863	0.592	22.075	69.129
	7	44.350	0.693	24.581	58.091
	8	34.881	0.773	27.802	45.751
12	9	24.258	0.829	30.743	31.850
	10	12.594	0.857	32.956	16.478

*** EDIFICIO NUMERO *** NUMERO DE PISOS *** LONGITUD L *** A/L ***

15 10 660 0.3

PERIODOS DE VIBRACION (EN SEGUNDOS)

0.605 0.217 0.116 0.085 0.066 0.054 0.049 0.045 0.040 0.035

FORMAS DE MASA

0.427	-0.751	-0.814	1.0000	0.530	-0.720	-0.650	-0.226	-0.584	0.299
0.502	-0.220	-0.702	0.560	0.079	0.259	0.454	0.244	1.000	-0.779
0.582	-0.829	-0.360	-0.227	-0.513	0.348	0.721	0.178	-0.227	1.000
0.650	-0.751	0.100	-0.873	-0.578	0.160	-0.353	-0.279	-0.816	-0.889
0.710	-0.502	0.527	-0.979	-0.48	-0.769	-0.776	-0.122	0.888	0.482
0.803	-0.234	1.000	-0.112	1.000	-0.423	0.962	0.632	-0.385	-0.123
0.830	0.172	0.921	0.872	0.213	1.000	-0.294	-0.956	0.167	0.031
0.940	0.551	0.334	0.946	-0.917	-0.111	-0.634	1.000	-0.072	-0.008
0.980	0.842	-0.437	0.033	-0.556	-0.940	1.000	-0.750	0.029	0.002
1.000	1.000	-0.968	-0.615	0.769	0.618	-0.478	0.280	-0.008	-0.000

FACTORES DE PARTICIPACION **

PISO	C. ESD.(T.N)	D. ESD.(C.M)	F.O. NUEVO MET.(T.N)	C. NUEVO MET.(T.N)	D. NUEVO MET.(C.M)
1	90.004	0.290	170.28	2240.33	0.430
2	83.529	0.345	130.056	115.599	0.487
3	75.458	0.390	210.126	106.071	0.559
4	63.729	0.441	220.885	95.508	0.622
5	60.419	0.481	230.485	84.065	0.680
6	51.925	0.544	240.911	720.323	0.770
7	43.005	0.597	270.999	59.087	0.844
8	32.276	0.637	230.318	460.268	0.901
9	22.796	0.665	310.123	310.609	0.940
10	12.625	0.679	320.095	160.047	0.959

*** EDIFICIO NUMERO *** NUMERO DE PISOS *** LONGITUD L *** ALTU ***

16 10 60.00 0.4

PERIODOS DE VIBRACION EN SEGUNDOS)

0.448 0.164 0.093 0.068 0.053 0.045 0.040 0.036 0.034 0.030

FORMAS DE MODO

6	0.283	-0.672	-0.330	2.070	0.672	-0.381	-0.540	-0.293	-0.603	0.318
7	0.294	-0.844	-0.815	0.635	0.904	-0.319	-0.438	0.383	1.020	-0.778
8	0.494	-0.509	-0.483	-0.187	-0.607	0.982	0.489	0.067	-0.328	1.000
9	0.585	-0.860	0.037	-0.875	-0.596	-0.008	-0.495	-0.422	-0.695	-0.914
10	0.556	-0.703	0.542	-0.522	0.124	-0.984	-0.432	0.182	0.975	0.548
11	0.273	-0.335	-0.000	-0.035	1.000	-0.042	0.998	0.409	-0.670	-0.192
12	0.862	0.092	0.910	0.697	0.272	1.000	-0.545	-0.856	0.449	0.067
13	0.930	0.503	0.323	0.913	-0.934	-0.328	-0.465	1.000	-0.286	-0.024
14	0.577	0.825	-0.447	0.705	-0.506	-0.879	1.000	-0.791	0.159	0.008
15	1.000	1.000	-0.965	-0.92	0.770	-0.653	-0.513	0.303	-0.051	-0.002

** FACTORES DE PARTICIPACION **

PISO	C. ESP.(TN)	D. ESP.(CM)	E. I. NUEVO MET.(TN)	F. I. NUEVO MET.(TN)	G. NUEVO MET.(TN)	H. NUEVO MET.(CM)
16	8	10.952	0.122	96.368	146.755	0.189
17	2	95.300	0.157	20.097	138.571	0.258
18	3	87.625	0.209	23.608	128.523	0.323
19	4	79.023	0.247	26.613	116.718	0.382
20	5	69.623	0.281	28.129	103.412	0.435
21	6	59.909	0.326	30.317	89.347	0.505
22	7	49.725	0.363	33.422	74.189	0.562
23	8	38.623	0.392	36.224	57.478	0.607
	9	26.638	0.412	38.690	39.361	0.638
	10	13.703	0.422	40.031	20.016	0.653

*** EDIFICIO NUMERO *** NÚMERO DE PISOS *** LONGITUD L *** A/L ***

17

10. 6.00 0.5

PERMITIDOS DE VIBRACIÓN (EN SEGUNDOS)

	PILOS	C. ESP.(TN)	D. ESP.(CM)	F.O.I. NUEVO MET.(TN)	C. NUEVO MET.(TN)	D. NUEVO MET.(CM)
1	107.920	0.092	16.158	147.709	147.709	0.136
2	100.909	0.130	20.137	139.630	139.630	0.191
3	92.760	0.265	23.842	129.562	129.562	0.243
4	83.593	0.197	27.007	117.641	117.641	0.291
5	75.572	0.225	28.672	104.137	104.137	0.333
6	63.196	0.259	30.744	89.801	89.801	0.383
7	52.354	0.287	33.703	74.429	74.429	0.424
8	42.610	0.309	36.402	57.575	57.575	0.457
9	27.976	0.324	38.782	39.374	39.374	0.478
10	14.371	0.331	39.966	19.983	19.983	0.489

** FACTORES DE PARTICIPACION **

	PILOS	C. ESP.(TN)	D. ESP.(CM)	F.O.I. NUEVO MET.(TN)	C. NUEVO MET.(TN)	D. NUEVO MET.(CM)
1	107.920	0.092	16.158	147.709	147.709	0.136
2	100.909	0.130	20.137	139.630	139.630	0.191
3	92.760	0.265	23.842	129.562	129.562	0.243
4	83.593	0.197	27.007	117.641	117.641	0.291
5	75.572	0.225	28.672	104.137	104.137	0.333
6	63.196	0.259	30.744	89.801	89.801	0.383
7	52.354	0.287	33.703	74.429	74.429	0.424
8	42.610	0.309	36.402	57.575	57.575	0.457
9	27.976	0.324	38.782	39.374	39.374	0.478
10	14.371	0.331	39.966	19.983	19.983	0.489

*** EDIFICIO NUMERO *** NUMERO DE PISOS *** LONGITUD L *** A/L ***

18

10. " 6.00 0.6

PERIODOS DE VIBRACION (EN SEGUNDOS)

	0.348	0.124	0.072	0.053	0.041	0.035	0.031	0.028	0.026	0.024
--	-------	-------	-------	-------	-------	-------	-------	-------	-------	-------

FORMATOS DE MEDIDAS

0.266	-0.659	-0.862	1.000	0.819	0.895	-0.552	-0.585	-0.400	0.313
0.384	-0.862	-0.871	0.620	0.66	-0.412	0.566	0.912	0.745	-0.758
0.495	-0.939	-0.503	-0.251	-0.774	-0.959	0.333	-0.235	-0.485	1.000
0.596	-0.879	0.083	-0.931	-0.589	0.262	-0.695	-0.700	-0.169	-0.972
0.637	-0.690	0.632	-0.843	0.376	1.000	-0.064	0.865	0.685	0.582
0.732	-0.221	1.000	0.103	1.010	-0.339	0.938	-0.233	-0.928	-0.349
0.871	0.104	0.850	0.960	0.038	-0.930	-0.740	-0.522	1.000	0.177
0.935	0.510	0.259	0.895	-0.934	0.532	-0.394	1.000	-0.887	-0.089
0.978	0.828	-0.465	-0.045	-0.446	0.820	1.000	-0.948	0.611	0.041
1.000	-1.000	-0.949	-0.932	0.799	-0.701	-0.553	0.393	-0.222	-0.012

** FACTORES DE PARTICIPACION **

	1.235	-0.398	-0.189	0.105	0.065	0.043	-0.028	-0.020	-0.013	0.012
PISO	C. ESP. (TN)	D. ESP. (CM)	F. I. NUEVO MET. (TN)	F. I. NUEVO MET. (CM)	C. NUEVO MET. (TN)	C. NUEVO MET. (CM)	D. NUEVO MET. (TN)	D. NUEVO MET. (CM)		
1	113.107	0.074	15.994	148.608	148.608	148.608	148.608	148.608	0.104	0.104
2	105.784	0.106	20.166	140.611	140.611	140.611	140.611	140.611	0.150	0.150
3	97.236	0.136	24.014	130.528	130.528	130.528	130.528	130.528	0.193	0.193
4	87.600	0.164	27.299	118.521	118.521	118.521	118.521	118.521	0.233	0.233
5	77.050	0.188	29.073	104.871	104.871	104.871	104.871	104.871	0.268	0.268
6	66.109	0.215	31.084	90.335	90.335	90.335	90.335	90.335	0.307	0.307
7	54.704	0.238	33.974	74.793	74.793	74.793	74.793	74.793	0.339	0.339
8	42.325	0.256	36.615	57.806	57.806	57.806	57.806	57.806	0.364	0.364
9	29.183	0.268	38.970	39.498	39.498	39.498	39.498	39.498	0.381	0.381
10	14.976	0.274	40.026	20.013	20.013	20.013	20.013	20.013	0.390	0.390

*** EDIFICIO NUMERO *** NUMERO DE PISOS *** LONGITUD L *** A/L ***

19 10 6.00 0.7

PERIODOS DE VIBRACION (EN SEGUNDOS)

3	0.318	0.112	0.066	0.048	0.038	0.032	0.028	0.025	0.024	0.023
---	-------	-------	-------	-------	-------	-------	-------	-------	-------	-------

FORMAS DE MODOS

6	0.257	-0.650	-0.965	1.000	-0.859	0.915	-0.582	-0.625	-0.333	0.310
6	0.379	-0.865	-0.387	0.622	-0.62	-0.441	0.624	1.000	0.647	-0.149
7	0.6493	-0.948	-0.514	-0.274	0.819	-0.963	0.298	-0.338	-0.501	1.000
8	0.597	-0.887	0.088	-0.942	0.586	0.335	-0.759	-0.675	-0.002	-0.998
8	0.691	-0.690	0.351	-0.825	-0.444	1.000	0.048	0.987	0.503	0.745
9	0.730	-0.321	1.000	0.138	-0.997	-0.430	0.904	-0.445	-0.845	-0.429
10	0.873	0.104	0.837	0.969	0.007	-0.926	-0.791	-0.362	1.000	0.245
11	0.936	0.511	0.245	0.373	1.000	0.589	-0.255	0.954	-0.935	-0.136
11	0.979	0.828	-0.472	-0.058	0.431	0.825	1.000	-0.977	0.663	0.68
12	1.000	1.000	-0.343	-0.934	-0.811	-0.731	-0.567	0.418	-0.245	-0.021

** FACTORES DE PARTICIPACION **

14	1.283	-0.309	-0.194	0.108	-0.057	0.043	-0.029	-0.020	-0.013	0.012
15	PISO Co. ESCO (TN)	Co. ESP. (CM)	F. 1. NUEVO MET. (TN)	C. NUEVO MET. (TN)	D. NUEVO MET. (CM)					
16	1.	117.606	0.061	15.881	149.496					
17	2	110.004	0.090	20.205	141.055					
18	3	101.099	0.116	24.165	131.453					
18	4	91.050	0.141	27.544	119.370					
19	5	80.045	0.162	29.402	105.598					
20	6	68.623	0.185	31.381	90.897					
21	7	55.734	0.205	34.232	75.206					
22	8	42.944	0.220	36.847	58.020					
22	9	30.237	0.230	39.197	39.667					
22	10	15.501	0.235	40.137	20.068					

*** EDIFICIO NUMERO *** NUMERO DE PISOS *** LONGITUD L *** A/L ***

20 10 " 6.00 0.8

PERIODOS DE VIBRACION (EN SEGUNDOS)

0.295 0.103 0.061 0.044 0.035 0.030 0.026 0.024 0.022 0.021

FORMATOS DE MADO

0.251	-0.642	-0.865	1.000	-0.878	0.935	-0.609	-0.612	-0.311	-0.295
0.374	-0.867	-0.899	0.624	-0.59	-0.465	0.671	0.998	0.623	0.723
0.491	-0.955	-0.523	-0.283	0.841	-0.970	0.271	-0.394	-0.540	-0.977
0.598	-0.893	0.091	-0.949	0.577	0.392	-0.807	-0.601	0.114	1.000
0.693	-0.697	0.664	-0.807	-0.437	1.000	0.135	1.000	0.384	-0.787
0.792	-0.321	1.000	0.153	-0.981	-0.498	0.874	-0.561	-0.788	0.499
0.874	0.104	0.828	0.973	0.041	-0.926	-0.829	-0.238	1.000	-0.312
0.936	0.511	0.236	0.864	1.000	0.635	-0.216	0.884	-0.968	0.187
0.975	0.828	-0.477	-0.067	0.414	0.932	1.000	-0.963	0.701	-0.099
1.000	1.000	-0.947	-0.934	-0.812	-0.758	-0.578	0.422	-0.263	0.032

** FACTORES DE PARTICIPACION **

PISO	C. ESP. (TN)	D. ESP. (CM)	F. I. NUEVO MET. (TN)	C. NUEVO MET. (TN)	D. NUEVO MET. (CM)	
1	1.24.621	0.052	15.0823	150.394	0.070	
2	113.768	0.078	20.264	142.482	0.105	
3	114.543	0.102	24.0316	132.350	0.137	
4	24.01.23	0.124	27.0769	120.192	0.167	
5	82.0713	0.143	29.0694	106.307	0.193	
6	70.0866	0.164	31.0656	91.460	0.221	
7	53.0552	0.180	34.0484	75.0632	0.243	
8	45.0332	0.193	37.0085	58.0391	0.261	
9	31.0179	0.202	39.0436	39.0848	0.273	
10	15.0968	0.207	40.0260	20.0130	0.279	

*** EDIFICIO NUMERO *** NÚMERO DE PISOS *** LONGITUD L *** A/L ***

	21	10	6.00	0.9		
3	0.277	0.097	0.057	0.042		
4	PERIODOS DE VIBRACION T EN SEGUNDOS					
	FORMAS DE MODO					
5.	0.244	-0.634	-0.363	1.000		
6.	0.370	-0.867	-0.908	0.630		
7.	0.499	-0.960	-0.532	-0.286		
8.	0.508	-0.898	0.090	-0.054		
9.	0.695	-0.632	0.671	-0.796		
10.	0.723	-0.322	1.000	0.171		
11.	0.874	0.103	0.823	0.976		
12.	0.937	0.511	0.230	0.857		
13.	0.979	0.828	-0.480	-0.073		
14.	1.0280	-0.401	-0.201	0.114		
15.	PISOS C. ESP. (TN)	D. ESP. (CM)	F. I. NUEVO MET. (TN)	G. NUEVO MET. (TN)	H. NUEVO MET. (CM)	
6.	2	125.131	0.046	15.778	151.282	0.060
7.	2	117.066	0.069	20.321	143.0393	0.091
8.	3	107.570	0.091	24.454	133.0233	0.121
9.	4	96.835	0.112	27.973	121.006	0.147
0.	5	85.074	0.129	29.955	107.019	0.171
1.	6	72.856	0.148	31.913	92.042	0.195
2.	7	67.269	0.162	34.734	76.085	0.215
3.	8	46.565	0.174	37.333	58.718	0.230
4.	9	32.013	0.182	39.695	40.051	0.241
5.	10	16.378	0.186	40.408	20.204	0.246

** FACTORES DE PARTICIPACION **

*** EDIFICIO NÚMERO *** NÚMERO DE PISOS *** LONGITUD L *** A/L ***

	22	10	6.00	1.0
PERIODOS DE VIBRACION (EN SEGUNDOS)				
3	0.262	0.091	0.054	0.040
4	FORMAS DE MODO			
5	0.240	-0.629	-0.863	1.000
6	0.367	-0.968	-0.215	0.432
7	0.437	-0.954	-0.538	-0.290
8	0.598	-0.902	0.091	-0.958
9	0.695	-0.692	0.577	-0.785
0	0.794	-0.323	1.200	0.182
1	0.875	0.103	0.813	0.977
2	0.927	0.511	0.224	0.851
3	0.979	0.829	-0.483	-0.079
4	1.000	1.000	-0.247	-0.247
5	1.0279	-0.401	-0.204	0.116
6	DISO C. ESP. (TN)	0. ESP. (CM)	F. I. NUEVO MET. (TN)	C. NUEVO MET. (TN)
7	1	128.420	0.041	150.789
8	2.	120.125	0.063	20.407
9	3.	110.378	0.033	24.606
10	4.	99.247	0.102	28.178
11	5.	87.260	0.118	30.207
12	6.	74.698	0.135	32.163
13	7.	61.651	0.149	34.979
14	8.	47.700	0.159	37.578
15	9.	32.780	0.166	39.947
16	10.	16.752	0.170	40.540
				40.244
				20.270
				0.216
				0.221

*** EDIFICIO NÚMERO *** NÚMERO DE PISOS *** LONGITUD L *** ANGULO A/L ***

	23	10	8.00	0.0
PERIODOS DE VIBRACION (EN SEGUNDOS)				
	0.795	0.330	0.196	0.133
	0.108	0.097	0.088	0.064
	0.049	0.042		
	FORMAS DE MEJOR			
1	0.185	-0.666	-0.392	-0.442
	0.238	-0.823	-0.443	-0.409
2	0.289	-0.933	-0.417	-0.229
	0.336	-0.937	-0.324	0.034
3	0.380	-0.982	-0.777	0.285
	0.521	-0.702	0.656	1.000
0	0.735	-0.236	1.000	0.092
	0.865	0.293	0.597	-0.965
2	0.955	0.745	-0.252	-0.456
	1.000	1.000	-0.912	0.793
3				0.647
				-0.513
4	1.417	-0.555	-0.220	-0.116
				0.108
				0.072
				0.023
				-0.062
				-0.025
				0.011
15	PISO C. ESP. (TN) D. ESP. (CM)	F. I. NUEVO MET. (TN)	C. NUEVO MET. (TN)	D. NUEVO MET. (CM)
1	172.372	0.230	28.320	215.995
2	161.362	0.294	33.215	201.835
3	143.827	0.354	37.510	185.228
4	134.733	0.410	40.315	166.473
5	119.554	0.460	40.635	146.315
6	103.986	0.675	40.388	125.997
7	87.549	0.854	42.773	105.803
8	69.592	1.016	48.557	84.417
9	49.173	1.124	57.526	60.138
10	22.760	1.170	21.275	21.275
11	-	-	-	1.336
12	-	-	-	1.403

*** EDIFICIO NUMERO *** NUMERO DE PISOS *** LONGITUD L *** A/L ***

	24	10	8.00	0.1
PERIODOS DE VIBRACION (EN SEGUNDOS)				
	0.733	0.306	0.177	0.121
FORMATOS DE MEDIDA				
	0.211	-0.663	-0.423	0.597
	0.272	-0.816	-0.465	0.520
	0.329	-0.916	-0.417	0.228
	0.383	-0.958	-0.287	-0.158
	0.433	-0.937	-0.102	-0.479
	0.490	-0.622	0.704	-0.982
	0.759	-0.157	1.000	0.039
	0.878	0.346	0.570	1.000
	0.959	0.765	-0.274	0.403
	1.000	1.000	-0.319	-0.817
** FACTORES DE PARTICIPACION **				
PISO N.º ESP.(TN) D.º ESP.(CM)	F.º I.º NUEVO MET.(TN)	C.º NUEVO MET.(TN)	D.º NUEVO MET.(CM)	
1 175.400	7.228	28.268	221.977	0.285
2 164.203	0.292	33.074	207.843	0.366
3 151.490	0.352	37.302	191.306	0.440
4 132.231	0.402	40.141	172.655	0.509
5 121.871	0.457	40.607	152.584	0.570
6 106.092	0.634	43.658	132.281	0.789
7 89.409	0.788	45.615	111.452	0.980
8 70.840	0.911	52.371	88.644	1.133
9 49.673	0.998	60.386	62.459	1.241
10 25.615	1.042	64.531	32.266	1.296

*** EDIFICIO NUMERO *** NUMERO DE PISOS *** LONGITUD L *** A/L ***

	25	1.0	5.00	0.2	
	PERIODOS DE VIBRACION T EN SEGUNDOS	FORMAS DE MOOO			
0.601	0.238	0.133	0.095	0.078	
				0.064	
				0.057	
				0.054	
				0.042	
				0.037	
0.266	-0.656	-0.580	0.978	0.738	
0.346	-0.806	-0.598	0.744	0.375	
0.422	-0.887	-0.451	0.108	-0.320	
0.492	-0.891	-0.178	-0.587	-0.757	
0.555	-0.813	0.144	-0.964	-0.583	
0.637	-0.463	0.353	-0.636	1.000	
0.815	-0.013	1.000	0.520	0.667	
0.906	0.440	0.487	1.000	-0.944	
0.969	0.802	-0.347	0.205	-0.747	
1.000	1.000	-0.252	-0.854	0.881	
3				** FACTORES DE PARTICIPACION **	
4	1.352	-0.461	-0.176	0.113	
5	PISO C. ESP. (TN)	D. ESP. (CM)	F. I. NUEVO MET. (TN)	C. NUEVO MET. (TN)	D. NUEVO MET. (CM)
6	1	185.746	0.194	29.614	252.291
7	2	173.931	0.252	35.224	237.483
8	3	160.360	0.306	40.121	219.871
9	4	145.258	0.356	44.029	199.811
10	5	128.840	0.401	45.688	177.797
11	6	111.854	0.500	49.952	154.953
12	7	93.647	0.584	55.229	129.977
13	8	73.412	0.650	63.101	101.862
14	9	50.776	0.696	69.293	70.312
15	10	25.937	0.719	71.330	35.665

***** A/L *****

8.00 1.0 26 0.3

PERIODOS DE VIGORACIÓN EN SEGUNDOS 1

0.498 0.188 0.106 0.078 0.061 0.051 0.046 0.043 0.037 0.032

FORMS OF MEET

0.278	-0.656	0.745	1.0500	0.642	-0.694	-0.820	-0.286	-0.652	0.330
0.373	-0.819	0.752	0.760	0.204	0.116	0.414	0.622	1.000	0.797
0.463	-0.894	0.503	-0.037	-0.441	0.753	0.898	0.262	-0.162	1.000
0.546	-0.673	0.082	-0.757	-0.639	0.273	-0.245	-0.256	-0.868	-0.872
0.620	-0.758	-0.367	-0.595	-0.191	-0.613	-0.944	-0.235	0.868	0.456
0.742	-0.292	-0.978	-0.283	-1.000	-0.612	0.865	0.706	-0.333	-0.107
0.843	0.046	-0.999	0.743	0.395	1.000	-0.107	-0.986	0.128	0.025
0.921	0.477	-0.415	0.937	-0.920	-0.020	-0.736	1.000	-0.049	-0.006
0.974	0.615	0.479	0.074	-0.582	-0.987	1.000	-0.744	0.018	0.001
1.000	1.000	-1.000	-0.872	-0.645	-0.801	-0.478	-0.288	-0.005	-0.000

** FACTORES DE PARTICIPACION **

PISO	C. ESD. (TN)	D. ESD. (CM)	F. I. NUEVOS MET. (TN)	C. NUEVO MET. (TN)	D. NUEVOS MET. (C1)
1	1.319	-0.426	0.170	0.109	0.058 -0.041 -0.033 -0.015 -0.027 0.022
2	1.980.797	0.144	32.328	295.529	0.229
3	1.860.161	0.193	39.651	279.365	0.308
4	1.710.290	0.239	46.279	259.540	0.382
5	1.55.104	0.281	51.252	236.400	0.449
6	1.370.181	0.318	55.150	210.424	0.510
7	1.18.546	0.379	60.924	182.849	0.609
8	0.706	0.431	68.230	152.387	0.691
9	0.845	0.471	74.802	118.322	0.756
10	52.906	0.498	80.530	80.921	0.799
	26.892	0.512	81.313	40.656	0.821

*** EDIFICIO NUMERO *** NUMERO DE PISOS **.* LONGITUD L *** A/L ***

27 10 8.00 0.4

PERIODOS DE VIBRACION (EN SEGUNDOS)

	0.429	0.158	0.090	0.066	0.052	0.043	0.039	0.036	0.033	0.029
--	-------	-------	-------	-------	-------	-------	-------	-------	-------	-------

FORMAS DE MODO

0.271	-0.651	-0.805	1.000	0.677	-0.847	-0.614	-0.259	-0.639	-0.331
0.376	-0.832	-0.317	0.682	0.155	-0.233	0.412	0.285	1.000	-0.790
0.475	-0.911	-0.519	-0.115	-0.544	0.933	0.607	0.134	-0.245	1.000
0.556	-0.877	-0.025	-0.331	-0.622	0.111	-0.422	-0.344	-0.784	-0.894
0.548	-0.735	0.479	-0.964	0.010	-0.892	-0.601	0.016	0.937	0.505
0.762	-0.369	-0.000	-0.125	1.000	-0.231	0.996	0.530	-0.517	-0.155
0.855	0.667	0.948	0.847	0.263	1.000	-0.444	-0.909	0.283	0.047
0.927	0.490	0.353	0.919	-0.923	-0.236	-0.530	1.000	-0.151	-0.014
0.976	0.821	-0.445	0.016	-0.516	-0.890	1.000	-0.776	0.074	0.004
1.000	-1.000	-0.987	-0.904	-0.787	-0.652	-0.520	-0.306	-0.023	-0.001

** FACTORES DE PARTICIPACION **

PISO	F.ESP.(TN)	D.ESP.(CM)	F.1. NUEV. MET.(TN)	C. NUEV. MET.(TN)	D. NUEV. MET.(CM)	
1	210.661	0.108	31.900	297.540	0.164	0.013
2	197.326	0.150	39.858	281.591	0.228	
3	181.704	0.189	46.987	261.662	0.287	
4	164.169	0.224	53.084	238.169	0.342	
5.	144.973	0.256	56.709	211.627	0.391	
6	124.934	0.300	62.070	183.272	0.459	
7	103.693	0.327	68.773	152.237	0.515	
8	90.668	0.356	74.872	117.851	0.559	
9	55.302	0.386	80.224	80.415	0.589	
10	28.062	0.395	80.605	40.303	0.604	

*** EDIFICIO NUMERO *** NUMERO DE PISOS *** LONGITUD L *** A/L ***

	28	10	8.00	0.5
	PERIODOS DE VIBRACION (EN SEGUNDOS)			
	FORMAS DE MODA			
0.383	0.139	-0.080	0.059	0.046
				0.039
				0.035
				0.031
				0.030
				0.026

0.261	-0.347	-0.824	1.000	0.777	0.912	-0.560	-0.329	-0.623	0.331
0.372	-0.840	-0.843	0.675	0.36	-0.297	0.438	0.421	1.000	-0.784
0.477	-0.925	-0.530	-0.154	-0.621	-0.996	0.489	0.059	-0.335	1.000
0.574	-0.885	0.091	-0.869	-0.620	0.016	-0.518	-0.459	-0.679	-0.913
0.661	-0.728	0.533	-0.933	0.133	1.000	-0.405	0.236	0.986	0.550
0.710	-0.360	1.000	-0.040	1.000	-0.001	0.997	0.363	-0.722	-0.202
0.860	0.074	0.911	0.894	0.180	-1.000	-0.572	-0.831	0.513	0.074
0.930	0.494	0.315	0.903	-0.943	0.368	-0.438	1.000	-0.342	-0.027
0.977	0.822	-0.456	-0.014	-0.430	0.865	1.000	-0.809	0.198	0.010
1.000	-1.000	-0.972	-0.921	0.790	-0.685	-0.541	0.326	-0.068	-0.002

** FACTORES DE PARTICIPACION **

	1.297	-0.411	-0.137	0.110	0.057	0.046	-0.030	-0.019	-0.025	0.014
	PISO	C. ESP. (TN)	D. ESP. (CM)	E. I. NUEVO MET. (TN)	C. NUEVO MET. (TN)	D. NUEVO MET. (CM)				
1	220.747	0.085	31.457	299.203					0.125	
2	206.842	0.122	39.904	283.474					0.178	
3	190.433	0.156	-47.405	263.522					0.228	
4	171.949	0.187	53.798	239.820					0.274	
5	151.075	0.215	57.721	212.921					0.315	
6	130.520	0.250	62.870	184.061					0.367	
7	108.129	0.279	69.303	152.626					0.410	
8	83.780	0.302	75.48	117.974					0.444	
9	57.522	0.317	80.343	80.400					0.466	
10	29.160	0.325	80.457	40.228					0.477	

29

1.0 8.00 0.6

PERIODOS DE VIBRACION (EN SEGUNDOS)

	0.349	0.125	0.073	0.053	0.042	0.035	0.031	0.028	0.027	0.025
--	-------	-------	-------	-------	-------	-------	-------	-------	-------	-------

FORMAS DE MODO

0.253	-0.635	-0.834	1.000	0.772	0.904	-0.555	-0.434	-0.600	0.331
0.369	-0.845	-0.870	0.672	0.126	-0.224	0.478	0.599	0.996	-0.779
0.470	-0.935	-0.540	-0.181	-0.691	-0.976	0.427	-0.028	-0.434	1.000
0.579	-0.892	0.018	-0.892	-0.620	0.109	-0.592	-0.578	-0.545	-0.931
0.669	-0.723	0.563	-0.707	0.231	1.000	-0.270	0.473	1.000	0.591
0.776	-0.355	1.000	0.014	1.000	-0.149	0.982	0.164	-0.931	-0.248
0.864	0.079	0.887	0.921	0.120	-0.955	-0.647	-0.734	0.801	0.104
0.932	0.497	0.293	0.897	-0.953	0.438	-0.377	1.000	-0.618	-0.043
0.977	0.825	-0.454	-0.624	-0.455	0.822	1.000	-0.852	0.393	0.017
1.000	-1.000	-0.965	-0.930	-0.738	-0.688	-0.556	0.352	-0.143	-0.005

** FACTORES DE PARTICIPACION **

PISO	C. ESP. (TN)	D. ESO (CM)	F. I. NUEVO MET. (TN)	C. NUEVO MET. (TN)	D. NUEVO MET. (CM)	
1	229.540	0.071	31.202	300.840	0.101	0.014
2	215.111	0.103	39.999	285.239	0.145	
3	193.011	0.133	47.769	265.239	0.190	
4	178.703	0.161	54.377	241.355	0.229	
5	157.556	0.186	58.506	214.167	0.265	
6	135.402	0.215	63.525	184.914	0.307	
7	112.033	0.239	69.784	153.151	0.341	
8	36.717	0.258	75.482	118.259	0.368	
9	59.499	0.271	80.586	80.518	0.386	
10	30.126	0.277	80.449	40.225	0.395	

*** EDIFICIO NUMERO *** NUMERO DE PISOS *** LONGITUD L *** A/L ***

30 10 8.00 0.7

PERIODOS DE VIBRACION (EN SEGUNDOS)

0.325 0.316 0.068 0.050 0.039 0.033 0.029 0.026 0.025 0.023

FORMAS DE MODO

0.245	-0.626	-0.337	1.000	0.807	0.909	-0.567	-0.527	0.531	0.331
0.365	-3.847	-2.885	2.674	0.123	-0.343	0.516	0.756	-0.509	-0.774
0.478	-0.943	-0.550	-0.194	-0.722	-0.970	0.393	-0.113	0.480	1.000
0.531	-0.899	0.024	-0.906	-0.621	0.172	-0.648	-0.660	0.374	-0.946
0.674	-0.721	0.583	-0.883	0.234	1.000	-0.174	0.672	-0.897	0.628
0.779	-0.352	1.000	0.046	1.000	-0.240	0.965	-0.023	1.000	-0.291
0.866	0.080	0.373	0.935	0.079	-0.937	-0.697	-0.636	-0.970	0.134
0.932	0.498	0.276	0.889	-0.971	0.488	-0.335	1.000	0.810	-0.061
0.973	0.825	-0.470	-0.646	-0.441	0.808	1.000	-0.899	-0.543	0.026
1.000	1.000	-0.963	-0.935	-0.806	-0.701	-0.568	0.381	0.203	-0.008

** FACTORES DE PARTICIPACION **

PISO	C. ESP. (TN)	D. ESP. (CM)	F. I. NUEVO MET. (TN)	C. NUEVO MET. (TN)	D. NUEVO MET. (CM)	
1	236.965	0.051	30.985	302.407	0.084	
2	222.100	0.090	40.073	286.915	0.125	
3	204.424	0.118	48.058	266.878	0.163	
4	184.425	0.143	54.843	242.842	0.198	
5	162.531	0.165	59.132	215.428	0.230	
6	139.567	0.191	64.081	185.862	0.265	
7	115.383	0.212	70.244	153.821	0.295	
8	99.257	0.228	75.871	118.692	0.318	
9	61.194	0.239	80.941	80.764	0.333	
10	30.961	0.245	80.586	46.293	0.341	

*** EDIFICIO NUMERO *** NUMERO DE PISOS *** LONGITUD L *** A/L ***

31

10

31

PERIODOS DE VIBRACION (EN SEGUNDOS)

0.305 0.108 0.063 0.046 0.036 0.031 0.027 0.025* 0.024 0.022

FORMAS DE MODEO

6	0.240	-0.621	-0.340	1.000	0.837	0.917	-0.583	-0.600	-0.442	0.325
	0.352	-0.350	-0.397	0.674	0.119	-0.362	0.553	0.884	0.781	-0.768
7	0.477	-0.949	-0.556	-0.207	-0.758	-0.968	0.366	-0.196	-0.482	1.000
8	0.583	-0.903	0.031	-0.918	-0.621	0.225	-0.697	-0.708	-0.213	-0.962
9	0.678	-0.719	0.504	-0.872	0.346	1.000	-0.093	0.833	0.732	0.664
	0.782	-0.351	1.000	0.072	1.000	-0.312	0.946	-0.197	-0.948	-0.334
10	0.868	0.082	0.362	0.946	0.044	-0.927	-0.738	-0.540	1.000	0.168
11	0.934	0.500	0.264	0.881	-0.983	0.529	-0.299	1.000	-0.880	-0.083
12	0.978	0.826	-0.475	-0.057	-0.428*	0.803	1.000	-0.948	0.608	0.038
13	1.000	1.000	-0.960	-0.938	0.815	-0.718	-0.579	0.411	-0.231	-0.012

** FACTORES DE PARTICIPACION **

PISO	C. ESP. (TN)	D. ESP. (CM)	F.1. NUEVO MET. (TN)	C. NUEVO MET. (TN)	D. NUEVO MET. (CM)	
16	1	243.0776	0.053	30.910	304.025	0.072
17	2	223.0489	0.080	40.216	288.0570	0.109
18	3	210.263	0.105	48.366	268.0462	0.143
19	4	199.652	0.129	55.289	244.279	0.175
20	5	167.057	0.149	59.707	216.634	0.203
21	6	143.353	0.172	64.600	186.781	0.234
22	7	119.430	-0.190	-70.687	154.481	0.260
23	8	91.552	0.205	76.250	119.138	0.280
	9	62.0744	0.215	81.301	81.008	0.293
10	10	31.0713	0.220	80.716	40.0358	0.300

32

10. 8.00 0.9

PERIODOS DE VIBRACION EN SEGUNDOS

0.289 0.102 0.060 0.044 0.035 0.029 0.026 0.023 0.022 0.021

FORMAS DE MDOF

0.236	-0.615	-0.340	1.000	0.851	0.926	-0.600	-0.649	-0.389	0.328
0.260	-0.851	-0.905	-0.676	-0.113	-0.378	0.586	0.973	0.705	-0.763
0.477	-0.954	-0.563	-0.215	-0.785	-0.969	0.346	-0.264	-0.484	1.000
0.595	-0.907	0.035	-0.926	-0.622	0.267	-0.736	-0.726	-0.104	-0.976
0.631	-0.718	0.615	-0.850	0.287	1.000	-0.028	-0.945	0.614	0.697
0.784	-0.352	1.000	0.091	1.000	-0.365	0.929	-0.335	-0.894	-0.376
0.869	0.083	0.854	0.952	0.018	-0.922	-0.769	-0.458	1.000	0.201
0.934	0.501	0.255	0.875	-0.993	0.562	-0.270	1.000	-0.910	-0.105
0.978	0.826	-0.479	-0.054	-0.419	0.802	1.000	-0.992	0.641	0.051
1.000	-1.000	-0.940	-0.824	-0.734	-0.588	0.439	-0.247	-0.016	

** FACTORES DE PARTICIPACION **

PISO	C. ESP. (TN)	D. ESP. (CM)	ESP. (CM)	F. I. NUEVO MET. (TN)	G. NUEVO MET. (TN)	H. NUEVO MET. (CM)	I.
1	240.899	0.048	30.871	305.629		0.064	
2	234.240	0.073	40.360	290.193		0.097	
3	215.541	0.095	48.654	270.013		0.129	
4	194.352	0.118	55.695	245.686		0.151	
5	171.157	0.137	60.222	217.838		0.183	
6	146.804	0.157	65.084	187.727		0.211	
7	125.203	0.174	71.123	155.185		0.233	
8	93.662	0.187	75.663	119.624		0.251	
9	64.153	0.196	81.696	81.293		0.263	
10	32.390	0.201	80.890	40.445		0.269	

EDIFICIO NÚMERO *** NÚMERO DE PISOS *** LONGITUD L *** ALTURA ***

333 10 8.00 1.0

PERIODOS DE VIBRACION. (EN SEGUNDOS)

0.274 0.096 0.057 0.042 0.033 0.028 0.024 0.022 0.021 0.020

FIGURES OF MINE

0.235	-0.616	-0.845	1.000	0	-0.880	0.936	-0.616	-0.616	-0.354	0.324
0.260	-0.855	-0.922	0.674	-0.674	0.953	-0.562	-0.229	0.972	0.325	-0.317
0.479	-0.745	0.745	1.000	1.000	0.911	-0.773	-0.692	-0.517	-0.517	-0.757
0.588	-0.908	0.944	-0.934	0.616	0.311	-0.000	-0.037	0.989	1.000	-0.990
0.685	-0.714	0.631	-0.427	0.427	0.000	0.000	0.000	0.000	-0.850	-0.422
0.827	-0.737	-0.245	1.000	1.000	0.113	-0.000	-0.446	-0.446	-0.446	-0.446
0.979	0.827	-0.943	-0.073	-0.073	0.037	-0.000	-0.361	-0.361	-0.361	-0.361
0.871	0.087	0.844	0.959	0.959	0.010	-0.919	-0.799	-0.517	-0.517	-0.517
0.935	0.503	0.245	0.867	1.000	0.596	-0.240	0.955	-0.935	-0.935	-0.935
0.973	0.827	-0.943	-0.073	-0.073	0.037	-0.000	-0.361	-0.361	-0.361	-0.361

** FACTORES DE PARTICIPACION **

DISSN	C. ESP. (TN)	D. ESP. (CM)	F. I, NUEVO MET. (TN)	C. NUEVO MET. (TN)	D. NUENVO MET. (CM)
1	255.656	0.044	31.019	307.339	0.057
2	239.604	0.067	40.610	291.830	0.088
3	720.440	0.089	49.004	271.525	0.116
4	198.744	0.108	56.130	247.024	0.143
5	174.960	0.126	60.738	218.959	0.166
6	149.991	0.145	65.561	188.589	0.191
7	123.766	0.160	71.543	155.809	0.211
8	95.593	0.172	77.043	120.038	0.227
9	65.433	0.180	82.047	81.516	0.237
10	32.989	0.184	80.985	40.493	0.242

C A P I T U L O VI

VI. ANALISIS COMPARATIVO CON OTROS DISEÑOS

Dado que el objetivo es ver si este método representa acertadamente el comportamiento dinámico de estructuras, así como también ver si puede emplearse en nuestro medio; se ha decidido comparar los resultados obtenidos con aquellos que se obtienen al aplicar el método estático y dinámico espectral del Reglamento Peruano de diseño antisísmico que es el usado en nuestro medio.

Para la parte del análisis estático se va a aprovechar los resultados obtenidos según referencia (9).

La parte del análisis dinámico con el espectro teórico del Reglamento Peruano si ha sido incluido dentro del programa de computación elaborado.

En los Gráficos se usa la siguiente notación

Met. estático del R.P.

Met. dinámico espectral del R.P. - - - - - , - - - - -

Met. dinámico nuevo _____

Antes de los Gráficos como referencia se proporciona los resultados del análisis estático según (9).

ANALISIS ESTATICOCORTANTE EN TON.DESPLAZAMIENTO EN CM.

<u>EDIF. 1 (K=0.67)*</u>				<u>EDIF. 2 (K=0.8)</u>				<u>EDIF 3 (K=0.8)</u>		<u>EDIF 4 (K=0.8)</u>	
<u>Piso</u>	<u>CORT</u>	<u>DESPL</u>	<u>CORT</u>	<u>DESPL</u>	<u>CORT</u>	<u>DESPL</u>	<u>CORT</u>	<u>DESPL</u>	<u>CORT</u>	<u>DESPL</u>	
1	21.22	0.37	25.01	0.41	26.54	0.32	28.66	0.21			
2	20.78	0.48	24.48	0.53	25.96	0.42	28.03	0.28			
3	20.07	0.58	23.61	0.65	25.04	0.51	27.02	0.35			
4	19.09	0.68	22.41	0.76	23.75	0.60	25.60	0.41			
5	17.82	0.77	20.86	0.86	22.08	0.69	23.78	0.47			
6	16.31	1.03	19.02	1.12	20.11	0.83	21.62	0.55			
7	14.59	1.27	16.92	1.35	17.85	0.96	19.15	0.62			
8	12.60	1.47	14.49	1.55	15.24	1.07	16.29	0.68			
9	10.35	1.63	11.73	1.71	12.29	1.16	13.05	0.73			
10	7.83	1.76	8.66	1.83	8.94	1.23	9.44	0.76			
	<u>EDIF 5 (K=0.8)</u>		<u>EDIF 6 (K=1.0)</u>		<u>EDIF 7 (K=1.0)</u>		<u>EDIF 8 (K=1.0)</u>				
<u>Piso</u>	<u>CORT</u>	<u>DESPL</u>	<u>CORT</u>	<u>DESPL</u>	<u>CORT</u>	<u>DESPL</u>	<u>CORT</u>	<u>DESPL</u>	<u>CORT</u>	<u>DESPL</u>	
1	30.81	0.14	39.94	0.12	42.08	0.09	43.95	0.07			
2	30.12	0.19	39.02	0.16	41.10	0.12	42.92	0.10			
3	29.02	0.24	37.54	0.21	39.53	0.16	41.28	0.13			
4	27.48	0.28	35.48	0.25	37.34	0.19	38.98	0.16			
5	25.50	0.32	32.82	0.29	34.53	0.22	36.03	0.18			
6	23.15	0.37	29.67	0.33	31.19	0.26	32.52	0.21			
7	20.46	0.42	26.06	0.37	27.36	0.28	28.50	0.23			
8	17.35	0.45	21.89	0.40	22.94	0.31	23.85	0.25			
9	13.83	0.48	17.16	0.42	17.92	0.33	18.59	0.27			
10	9.89	0.50	11.88	0.44	12.32	0.34	12.71	0.28			

* El valor (K=...) es el valor asumido para K.

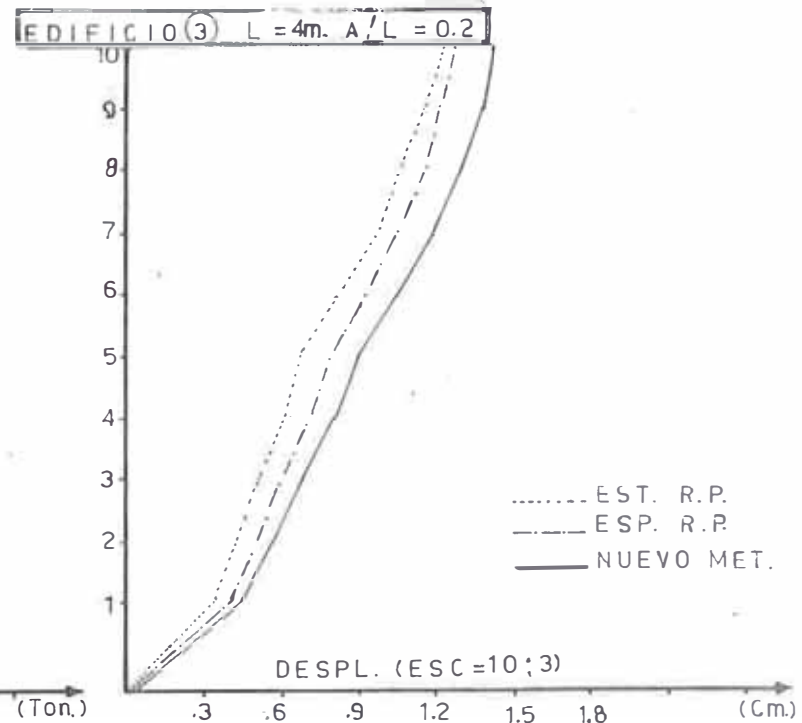
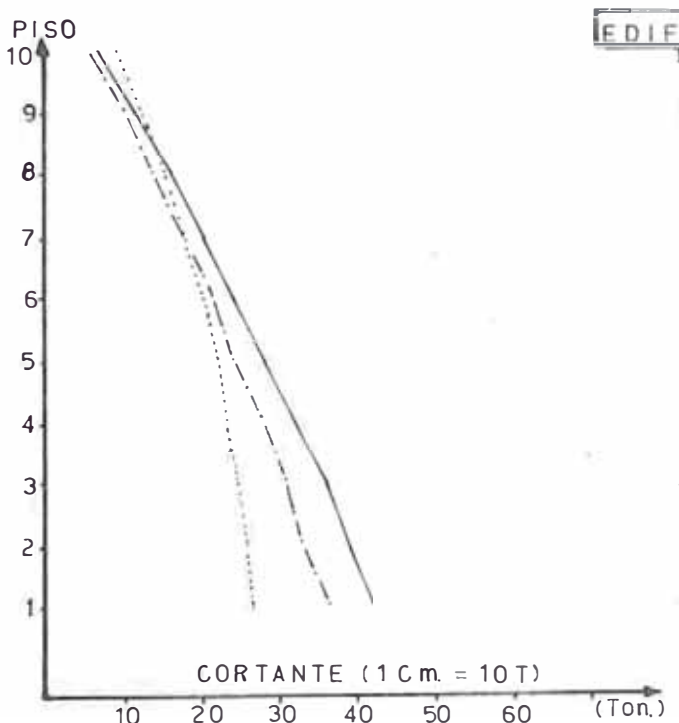
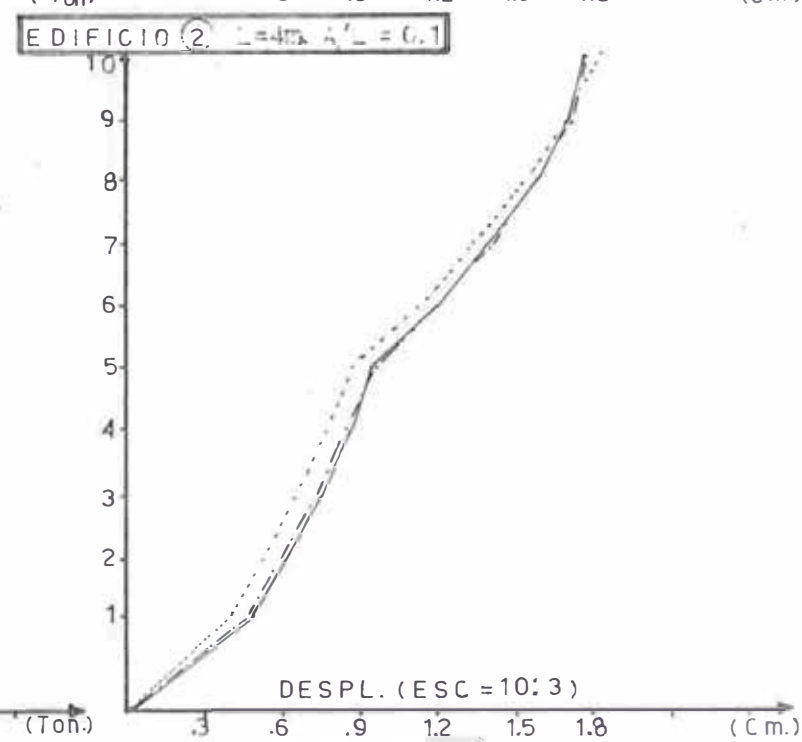
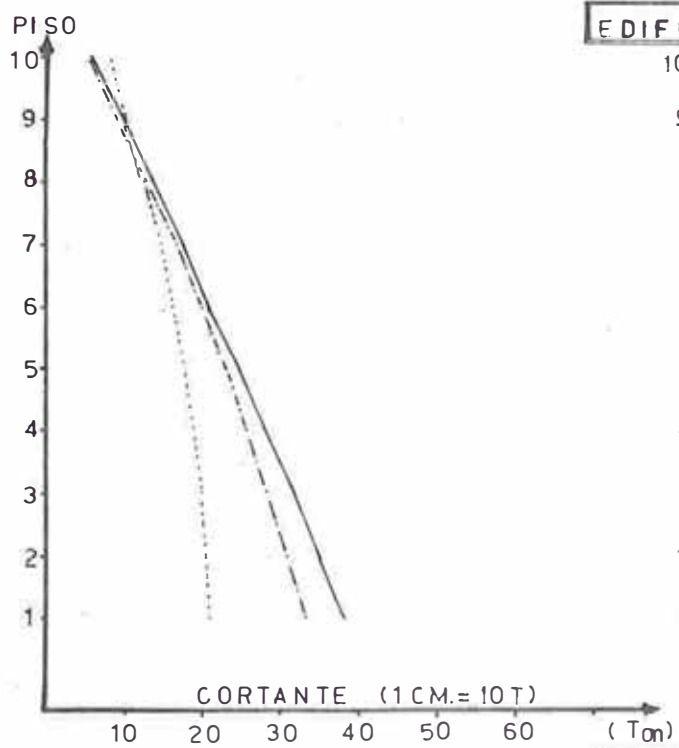
	EDIF 9(K=1.0)		EDIFI10(K=1.33)		EDIF 11(K=1.33)		EDIF 12(K=0.67)	
Piso	CORT	DESPL	CORTE	DESPL	CORT	DESPL	CORT	DESPL
1	45.62	0.05	61.33	0.06	63.13	0.05	47.14	0.20
2	44.54	0.08	59.85	0.09	61.60	0.08	46.07	0.26
3	42.83	0.11	57.49	0.12	59.17	0.11	44.35	0.31
4	40.44	0.13	54.19	0.15	55.76	0.13	41.94	0.36
5	37.36	0.15	49.95	0.17	51.38	0.15	38.85	0.41
6	33.70	0.18	44.91	0.20	46.18	0.18	35.20	0.65
7	29.51	0.19	39.12	0.22	40.21	0.20	31.05	0.85
8	24.67	0.21	32.45	0.24	33.32	0.21	26.26	1.03
9	19.18	0.22	24.89	0.25	25.52	0.22	20.84	1.17
10	13.05	0.23	16.43	0.26	16.79	0.23	14.78	1.27
	EDIF 13(K=0.8)		EDIF 14 (K=0.8)		EDIF 15(K=0.8)		EDIF 16(K=0.8)	
Piso	CORT	DESPL	CORT	DESPL	CORT	DESPL	CORT	DESPL
1	56.58	0.22	60.70	0.18	62.83	0.21	69.16	0.09
2	55.27	0.29	59.27	0.24	61.35	0.26	67.51	0.13
3	53.15	0.36	56.99	0.29	58.97	0.30	64.87	0.16
4	50.19	0.42	53.78	0.35	55.64	0.34	61.17	0.19
5	46.38	0.47	49.66	0.39	51.36	0.37	56.41	0.22
6	41.90	0.69	44.81	0.50	46.32	0.43	50.80	0.26
7	36.79	0.88	39.29	0.60	40.58	0.48	44.42	0.30
8	30.90	1.05	32.92	0.68	33.95	0.53	37.05	0.33
9	24.23	1.17	25.69	0.75	26.44	0.56	28.70	0.35
10	16.77	1.26	17.62	0.79	18.05	0.58	19.36	0.37

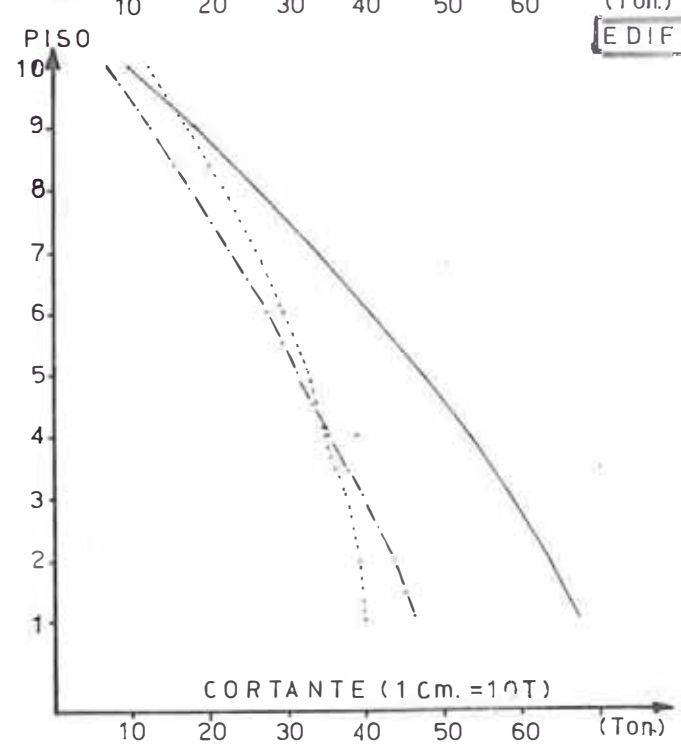
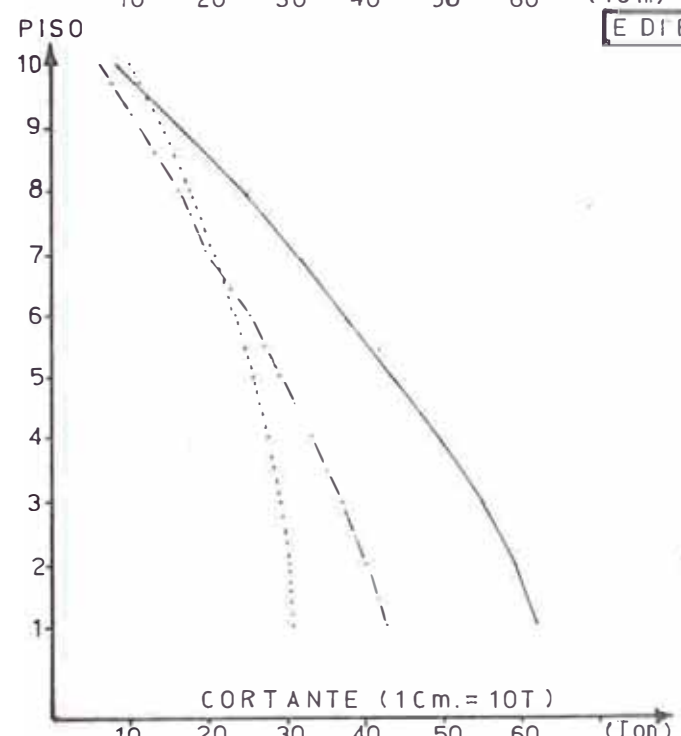
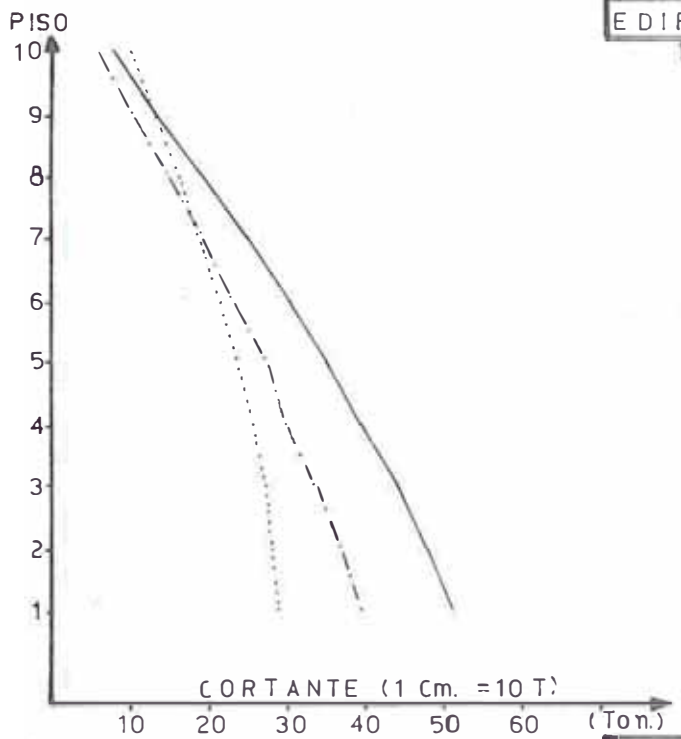
	EDIF 17(K=1.0)		EDIF 18(K=1.0)		EDIF 19(K=1.0)		EDIF 20(K=1.0)	
Piso	CORT	DESPL	CORT	DESPL	CORT	DESPL	CORT	DESPL
1	89.25	0.08	92.95	0.07	96.15	0.05	99.03	0.05
2	87.07	0.12	90.67	0.10	93.79	0.08	96.58	0.07
3	83.59	0.16	87.03	0.13	90.02	0.11	92.69	0.09
4	78.71	0.19	81.94	0.16	84.73	0.13	87.23	0.12
5	72.44	0.22	75.39	0.18	77.94	0.16	80.22	0.14
6	65.05	0.26	67.66	0.21	69.92	0.18	71.95	0.16
7	56.62	0.29	58.86	0.24	60.72	0.20	62.52	0.18
8	46.91	0.32	48.70	0.26	50.25	0.22	51.64	0.20
9	35.89	0.34	37.19	0.28	38.31	0.24	39.31	0.21
10	23.58	0.35	24.32	0.29	24.96	0.25	25.52	0.22
	EDIF 21(K=1.33)		EDIF 22(K=1.33)		EDIF 23(K=0.67)		EDIF 24(K=0.8)	
Piso	CORT	DESPL	CORT	DESPL	CORT	DESPL	CORT	DESPL
1	133.08	0.05	136.20	0.05	95.35	0.16	115.27	0.18
2	129.73	0.08	132.76	0.07	93.13	0.21	112.54	0.24
3	124.41	0.11	127.31	0.10	89.51	0.25	108.10	0.29
4	116.96	0.14	119.68	0.13	84.44	0.30	101.88	0.34
5	107.38	0.16	109.86	0.15	77.93	0.34	93.88	0.38
6	96.08	0.19	98.27	0.17	70.19	0.51	84.36	0.54
7	83.19	0.21	85.06	0.19	61.28	0.65	73.41	0.68
8	68.31	0.23	69.81	0.21	51.00	0.78	60.78	0.80
9	51.46	0.24	52.53	0.22	39.35	0.87	46.46	0.89
10	32.62	0.25	33.22	0.23	26.32	0.94	30.46	0.95
	EDIF 25(K=0.8)		EDIF 26(K=0.8)		EDIF 27(K=0.8)		EDIF 28(K=1.0)	
Piso	CORT	DESPL	CORT	DESPL	CORT	DESPL	CORT	DESPL
1	123.21	0.15	131.25	0.10	138.15	0.08	177.89	0.08
2	120.27	0.15	128.10	0.14	134.82	0.11	173.54	0.11
3	115.50	0.24	122.99	0.18	129.42	0.14	166.49	0.14
4	108.81	0.28	115.84	0.22	121.87	0.17	156.63	0.18
5	100.22	0.32	106.65	0.25	112.16	0.20	143.96	0.20
6	90.00	0.41	95.70	0.30	100.60	0.24	128.86	0.24
7	78.23	0.48	83.11	0.35	87.30	0.27	111.49	0.27
8	64.66	0.55	68.58	0.39	71.95	0.30	91.44	0.30
9	49.28	0.59	52.12	0.42	54.55	0.32	68.72	0.32
10	32.08	0.63	33.72	0.44	35.11	0.33	43.32	0.33

	EDIF 29(K=1.0)		EDIF 30(K=1.0)		EDIF 31(K=1.0)		EDIF 32(K=1.33)	
Piso	CORT	DESPL	CORT	DESPL	CORT	DESPL	CORT	DESPL
1	184.11	0.06	189.39	0.05	194.25	0.05	261.50	0.05
2	179.59	0.09	184.73	0.08	189.45	0.07	254.96	0.09
3	172.28	0.12	177.20	0.11	181.73	0.10	244.45	0.12
4	162.06	0.15	166.67	0.13	170.91	0.12	229.72	0.14
5	148.92	0.18	153.13	0.16	157.00	0.14	210.79	0.17
6	133.26	0.21	137.00	0.18	140.44	0.16	188.23	0.20
7	115.24	0.23	118.43	0.21	121.36	0.19	162.26	0.22
8	94.45	0.26	97.01	0.23	99.35	0.20	132.28	0.24
9	70.89	0.27	72.72	0.24	74.40	0.22	98.31	0.26
10	44.55	0.28	45.58	0.25	46.52	0.23	60.34	0.27

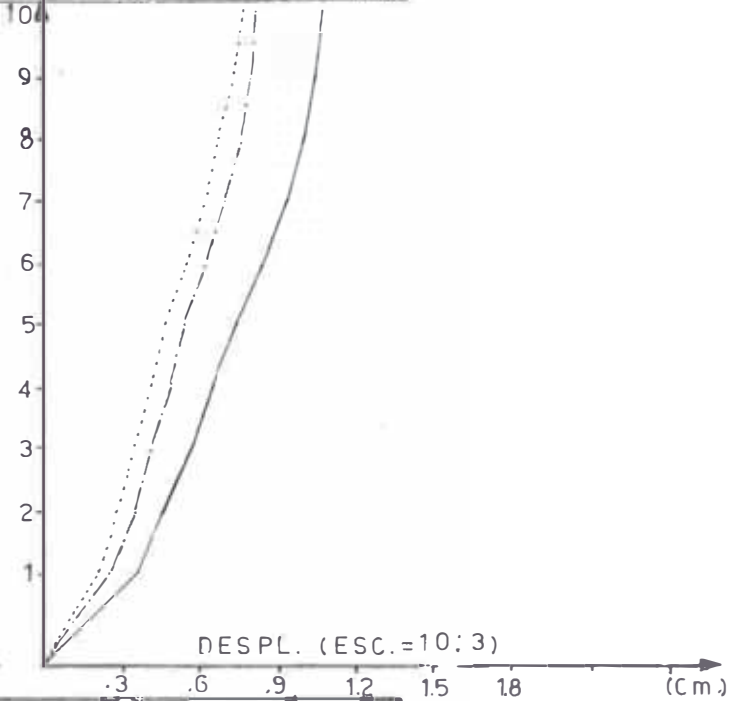
EDIFICIO 33 (K=1.33)

Piso	CORT	DESPL
1	267.19	0.05
2	260.49	0.08
3	249.74	0.11
4	234.68	0.13
5	215.32	0.16
6	192.25	0.18
7	165.68	0.21
8	135.01	0.22
9	100.26	0.24
10	61.43	0.25

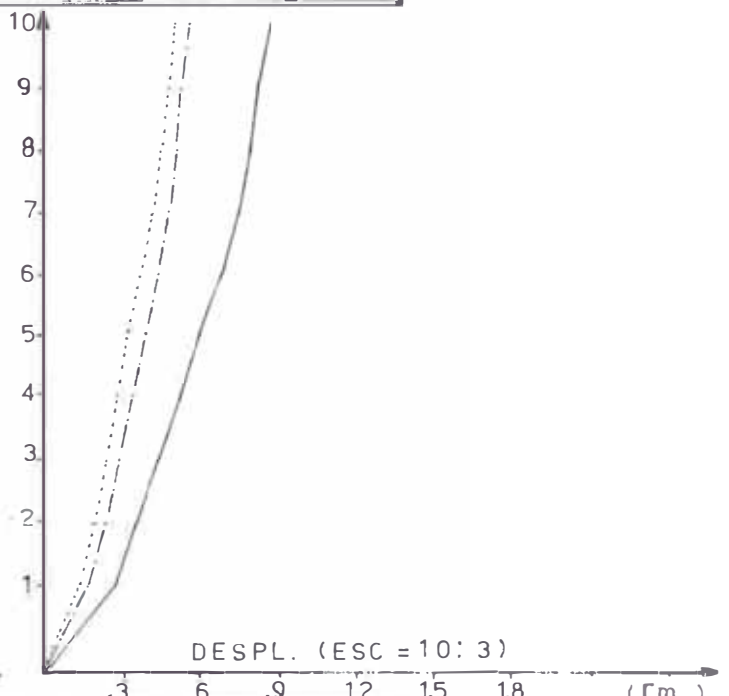




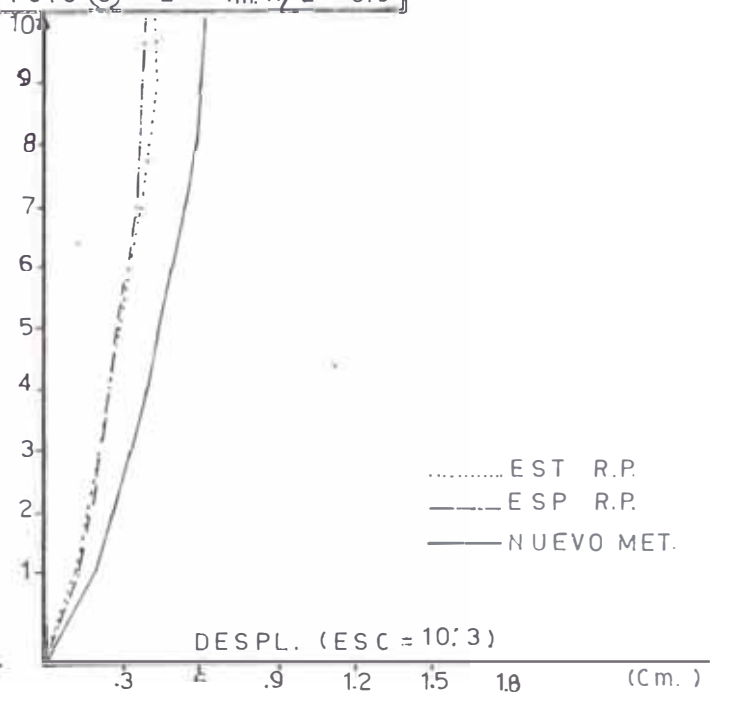
EDIFICIO (4) L = 4m. A/L = 0.3



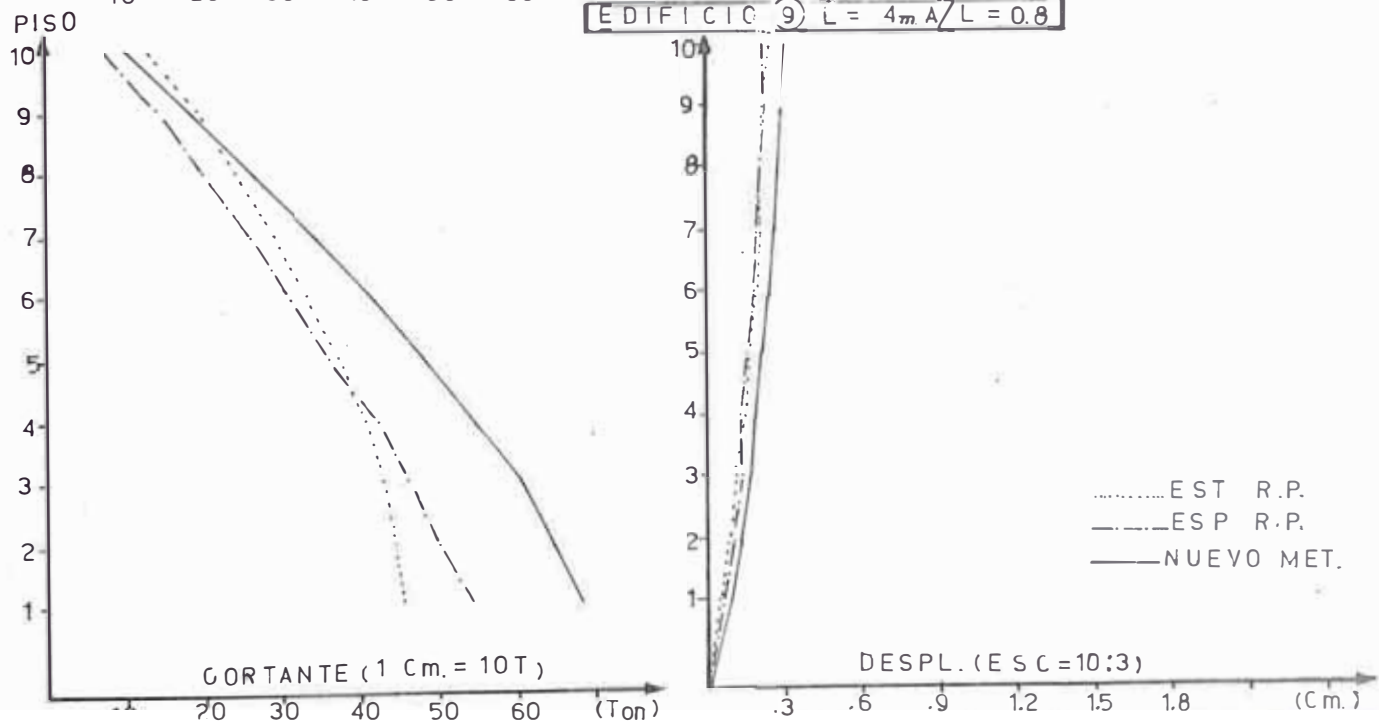
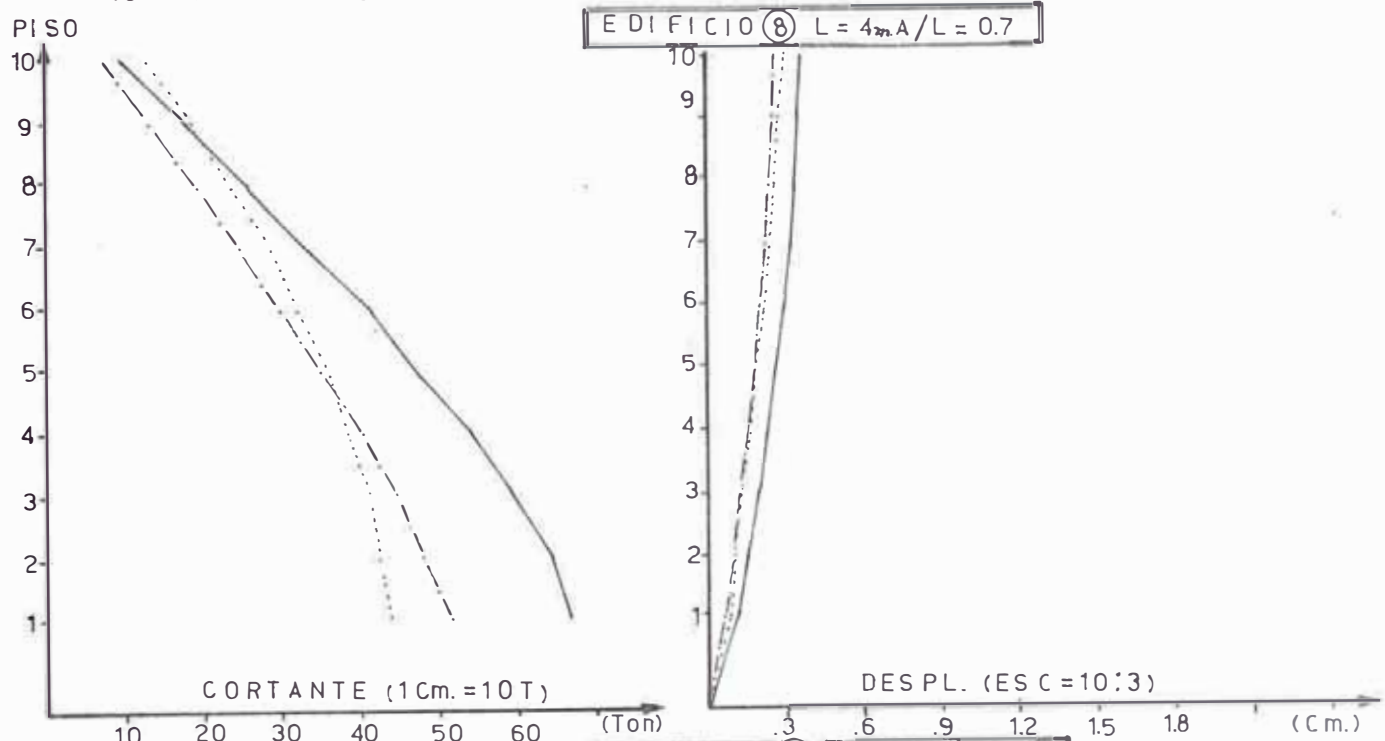
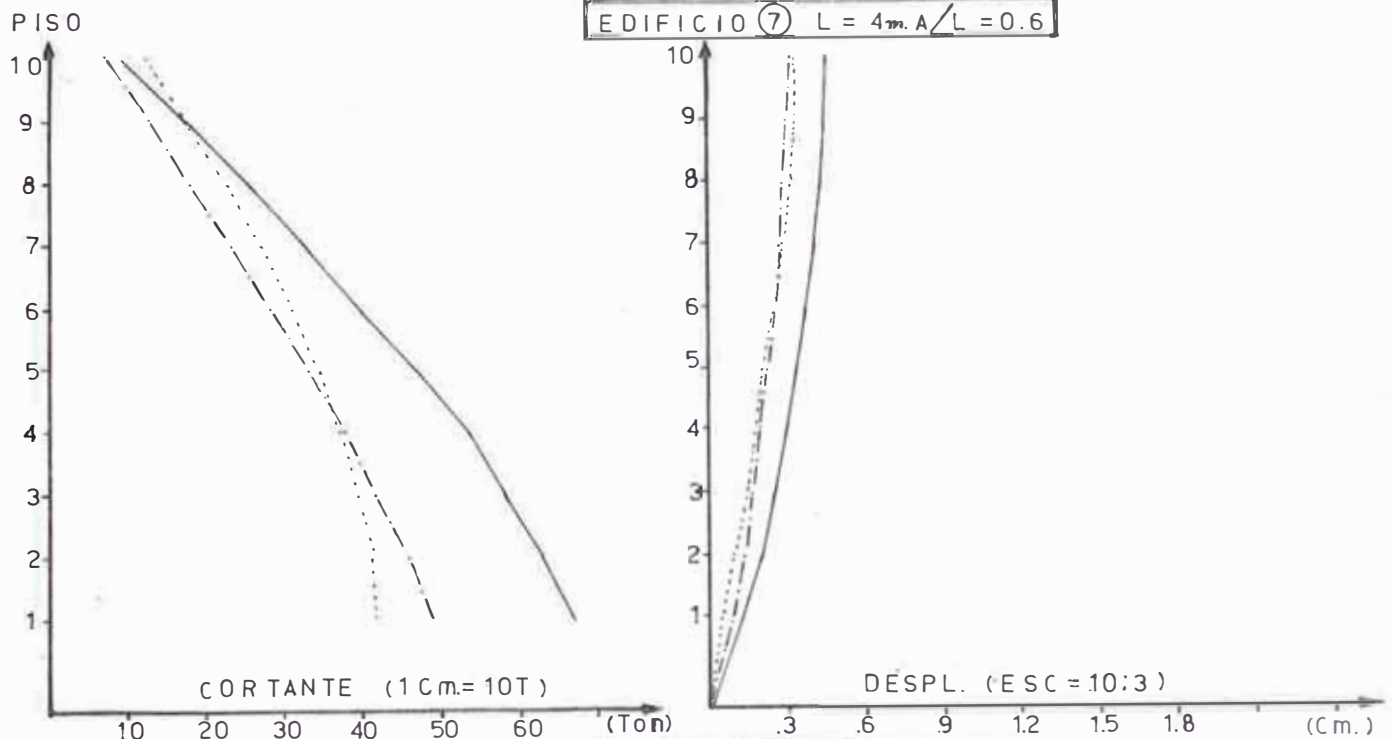
EDIFICIO (5) L = 4m. A/L = 0.4



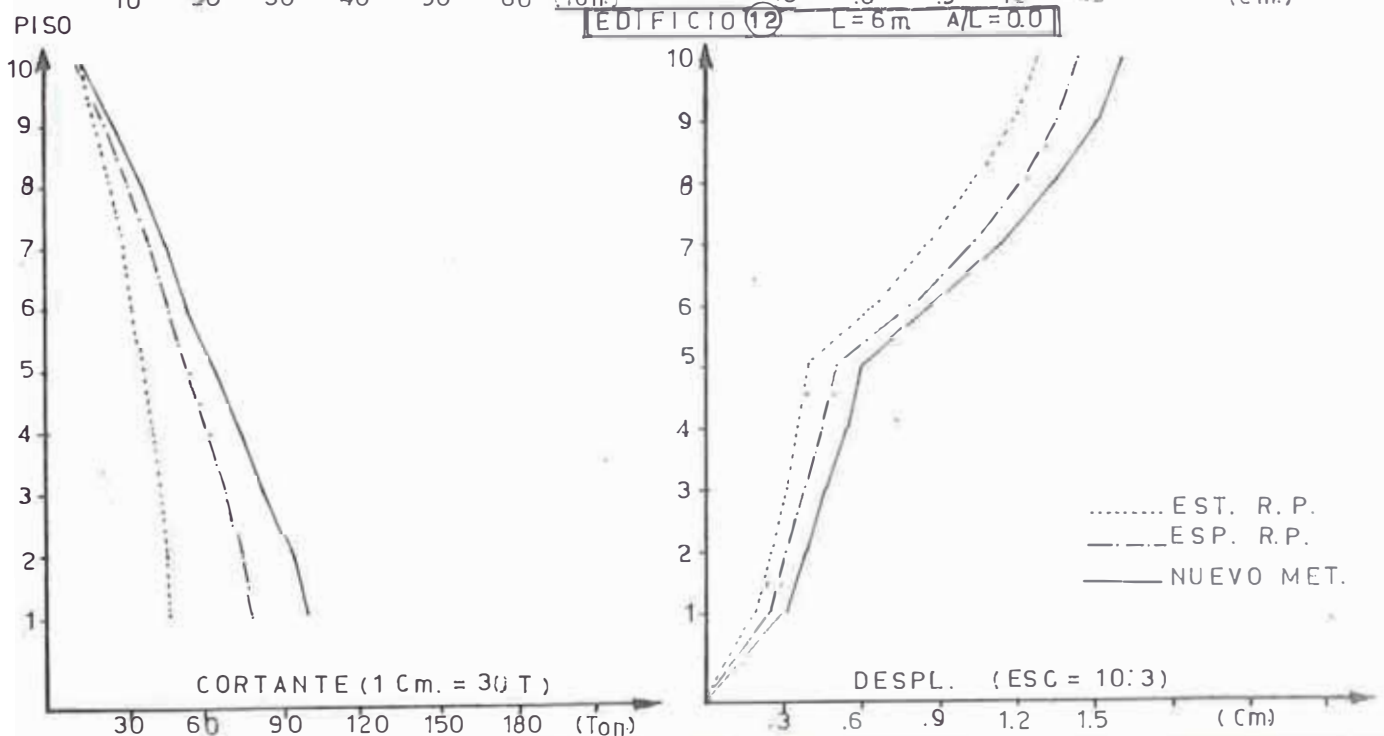
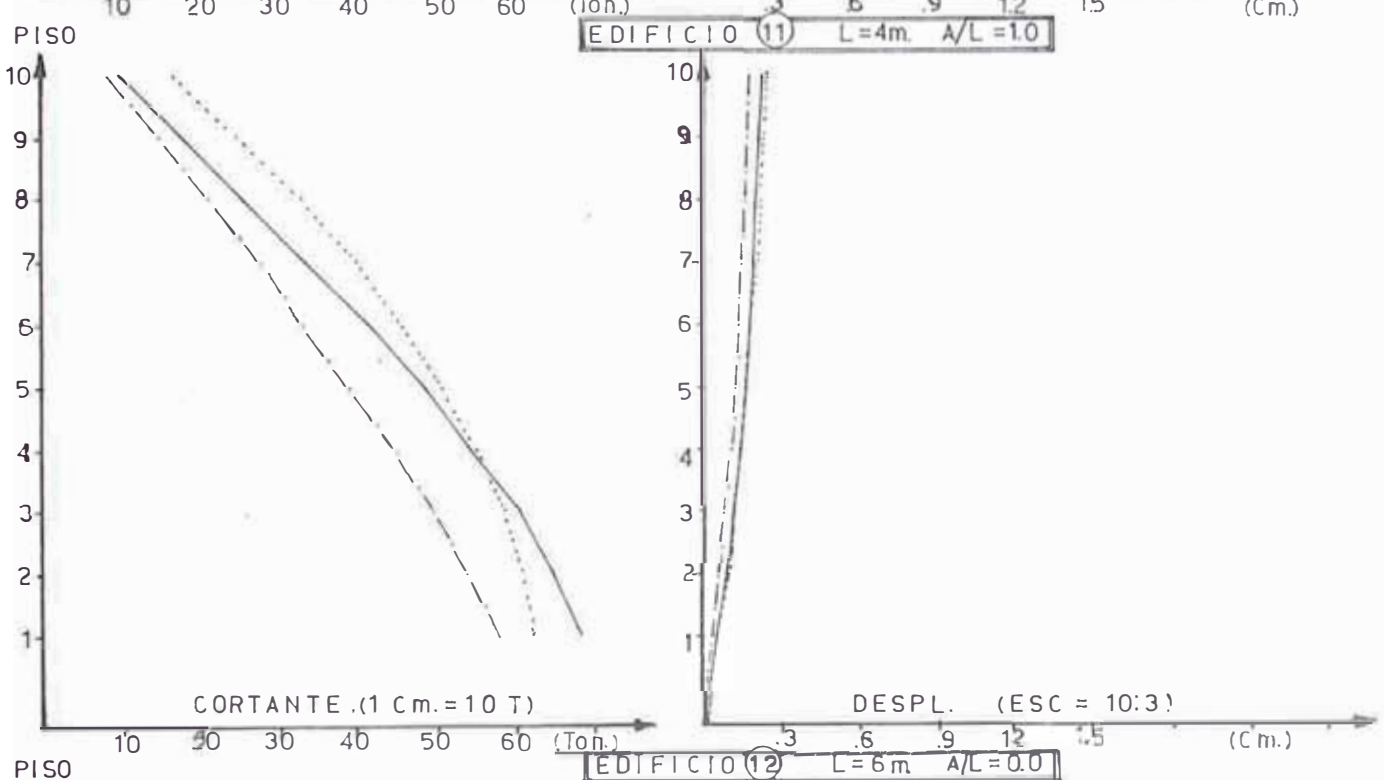
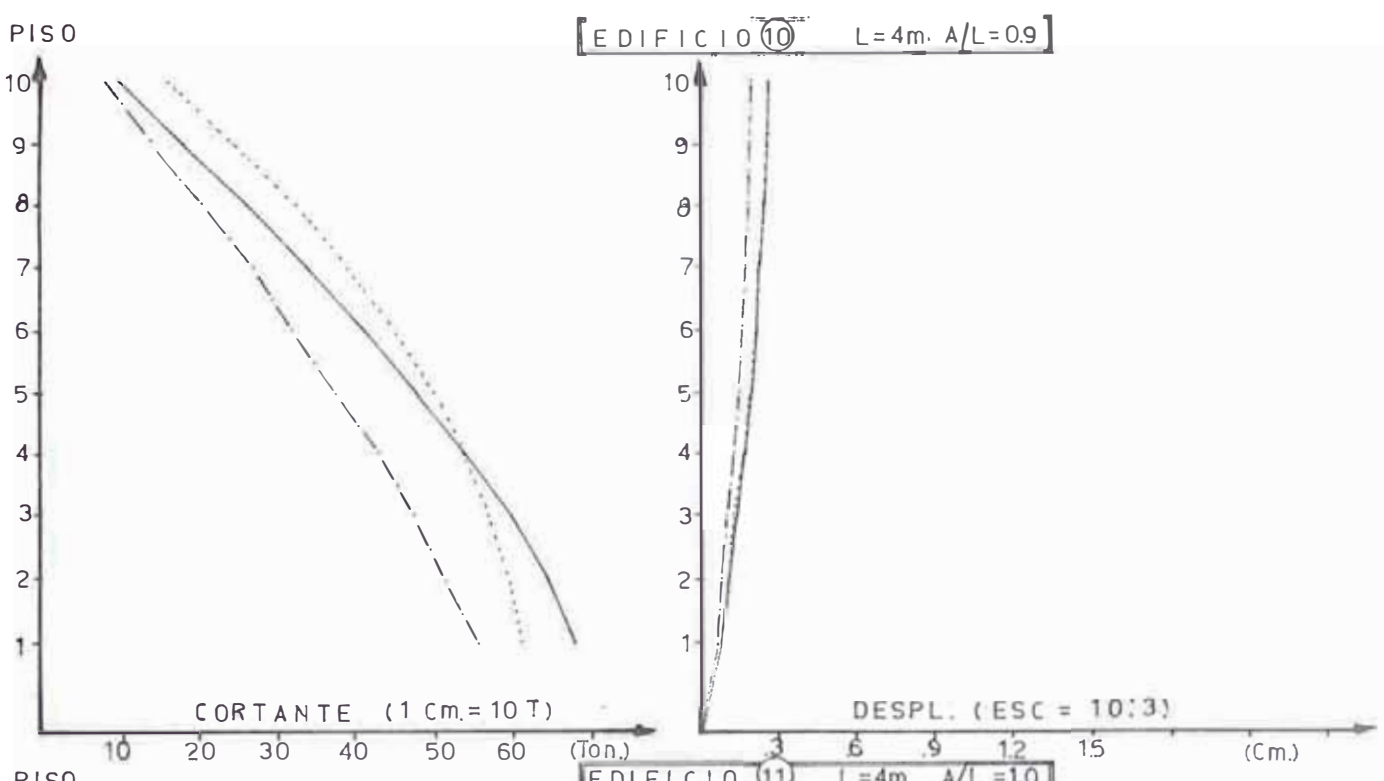
EDIFICIO (6) L = 4m. A/L = 0.5



EST R.P.
ESP R.P.
NUEVO MET.

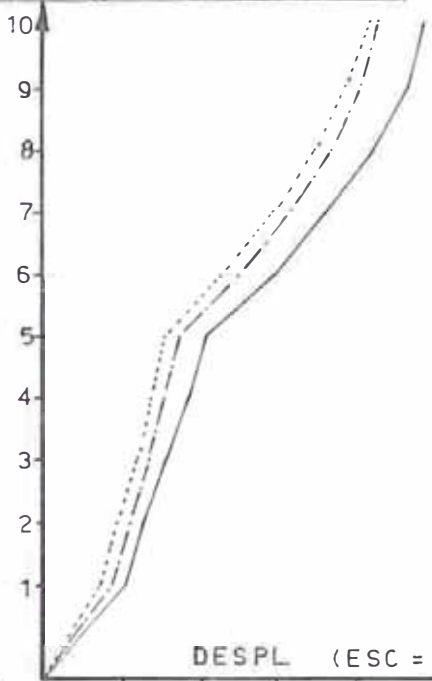
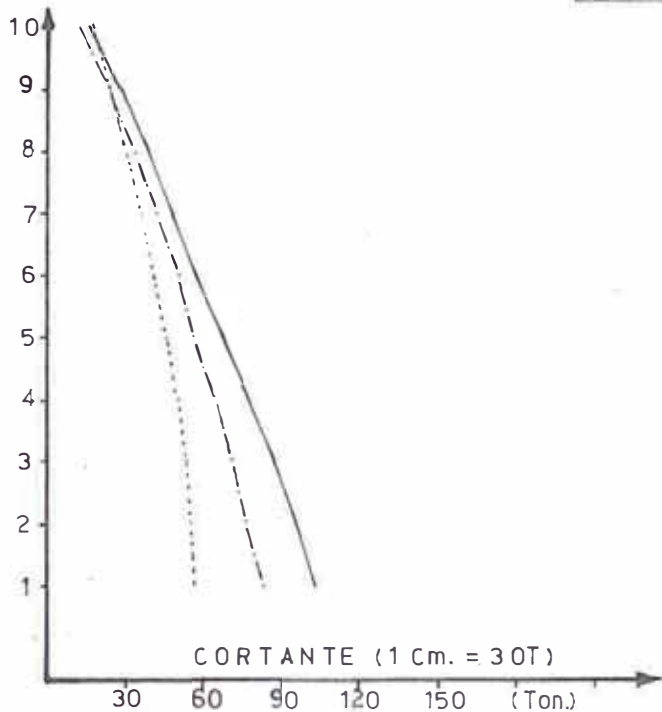


EST R.P.
ESP R.P.
NUEVO MET.



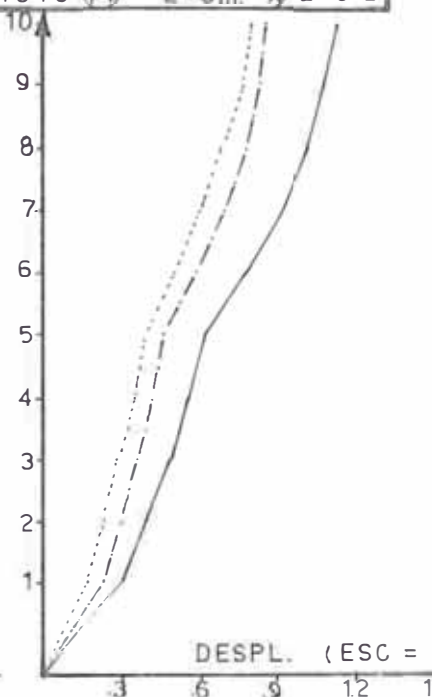
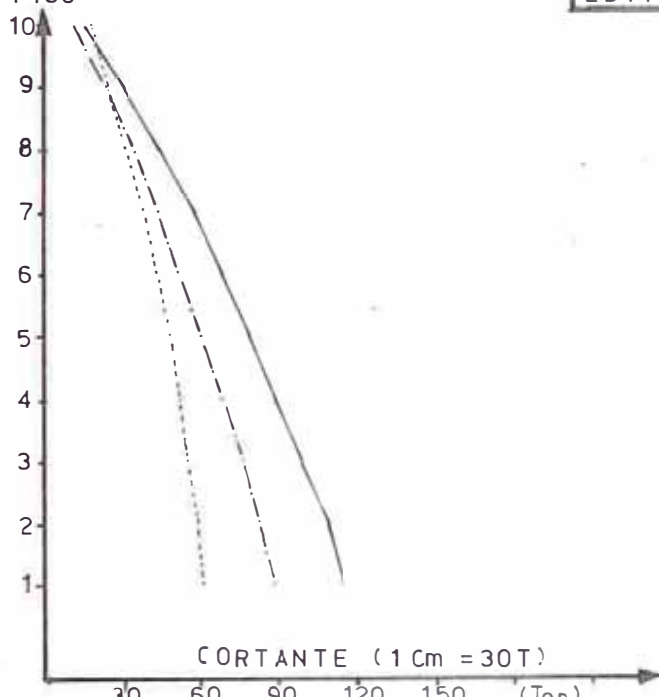
PISO

EDIFICIO 13

 $L = 6 \text{ m. } A/L = 0.1$ 

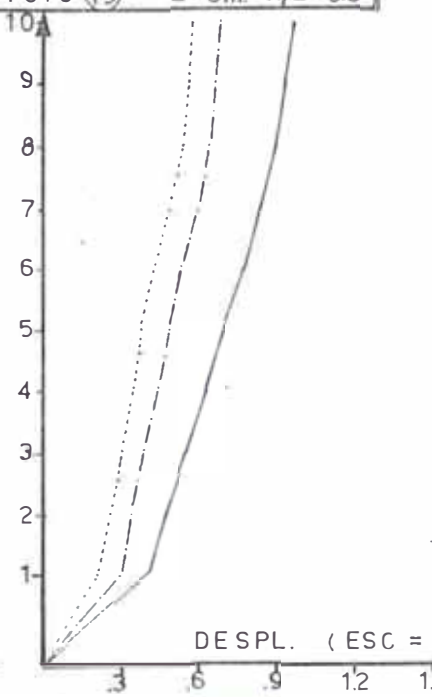
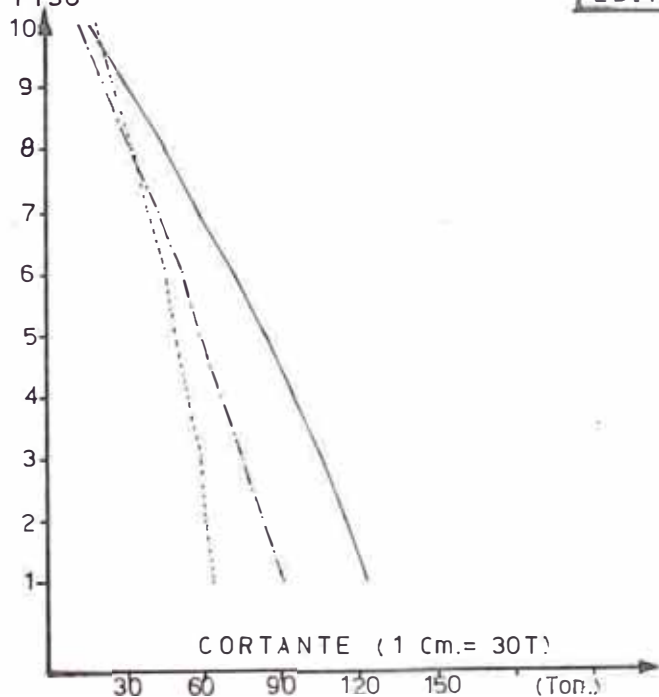
PISO

EDIFICIO 14

 $L = 6 \text{ m. } A/L = 0.2$ 

PISO

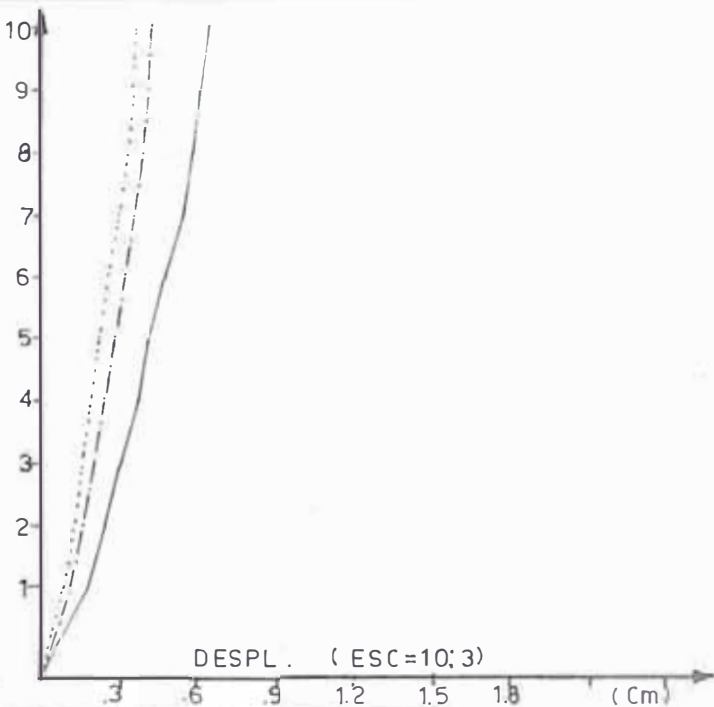
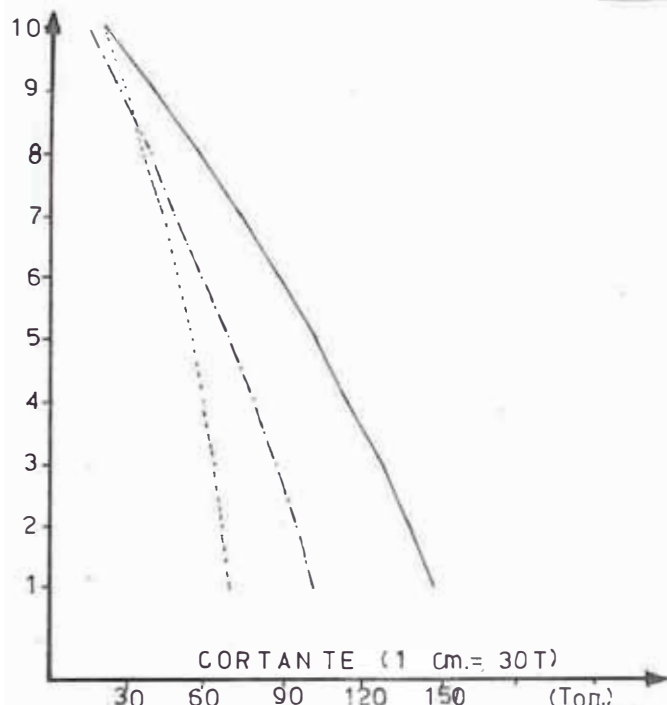
EDIFICIO 15

 $L = 6 \text{ m. } A/L = 0.3$ 

..... EST. R.P.
 - - - - - ESP. R.P.
 ——— NUEVO MET.

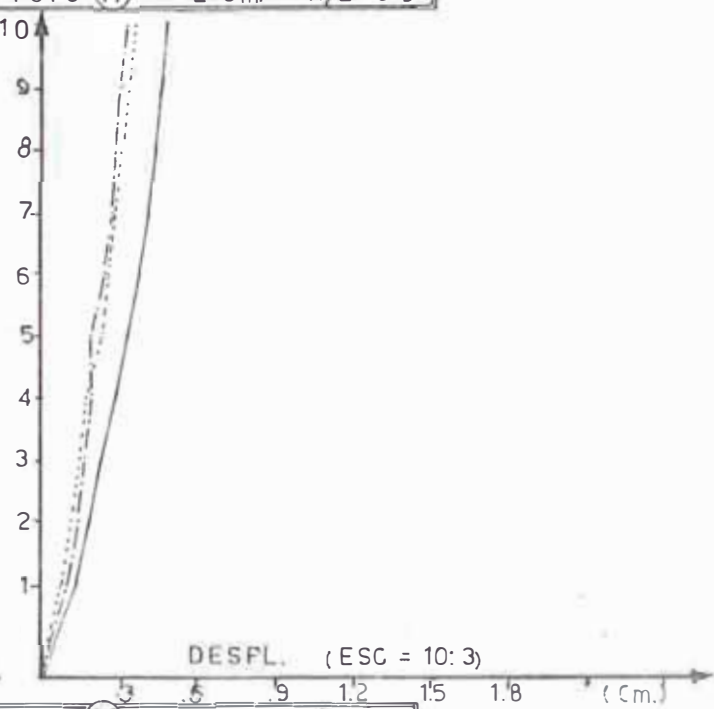
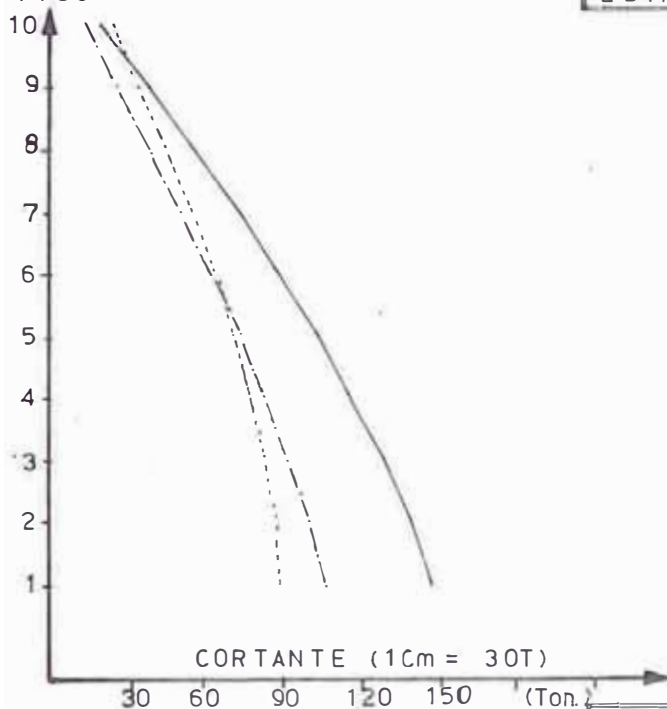
PISO

[EDIFICIO 16] L = 6 m. A/L = 0.4



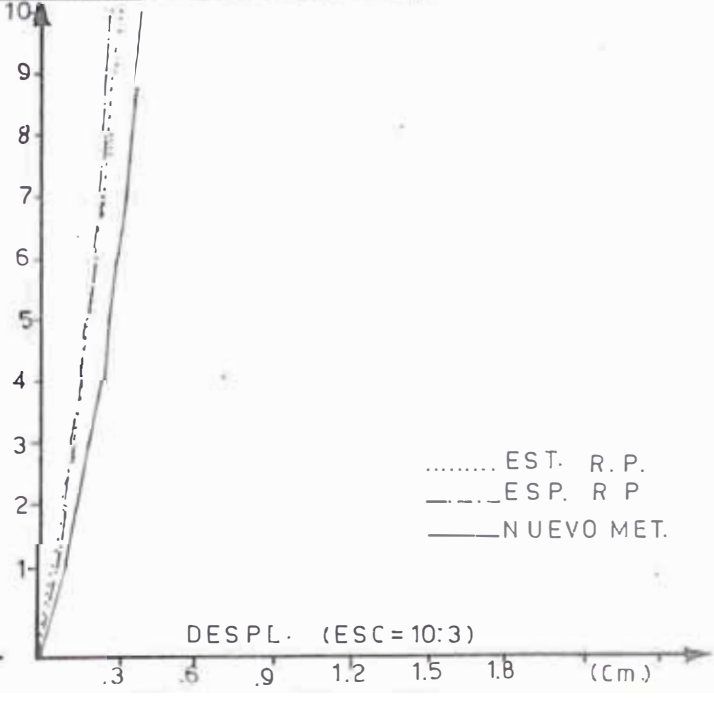
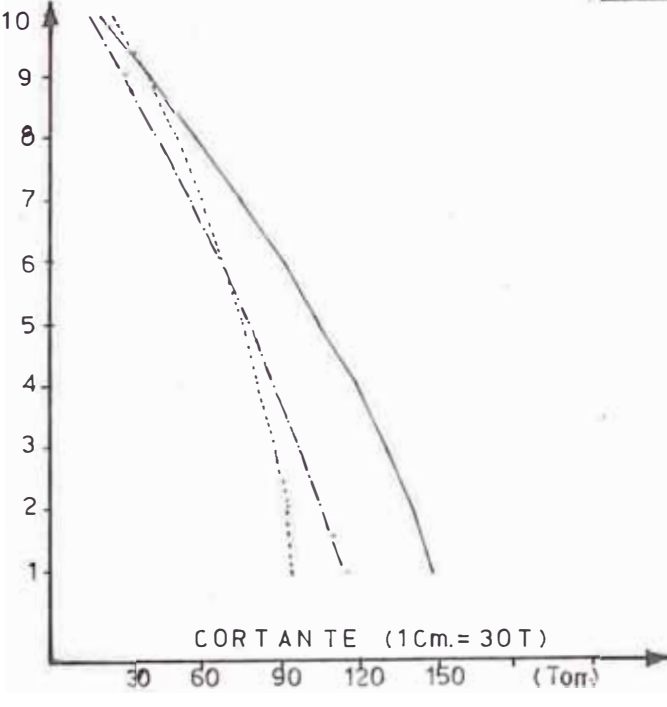
PISO

[EDIFICIO 17] L = 6 m. A/L = 0.5

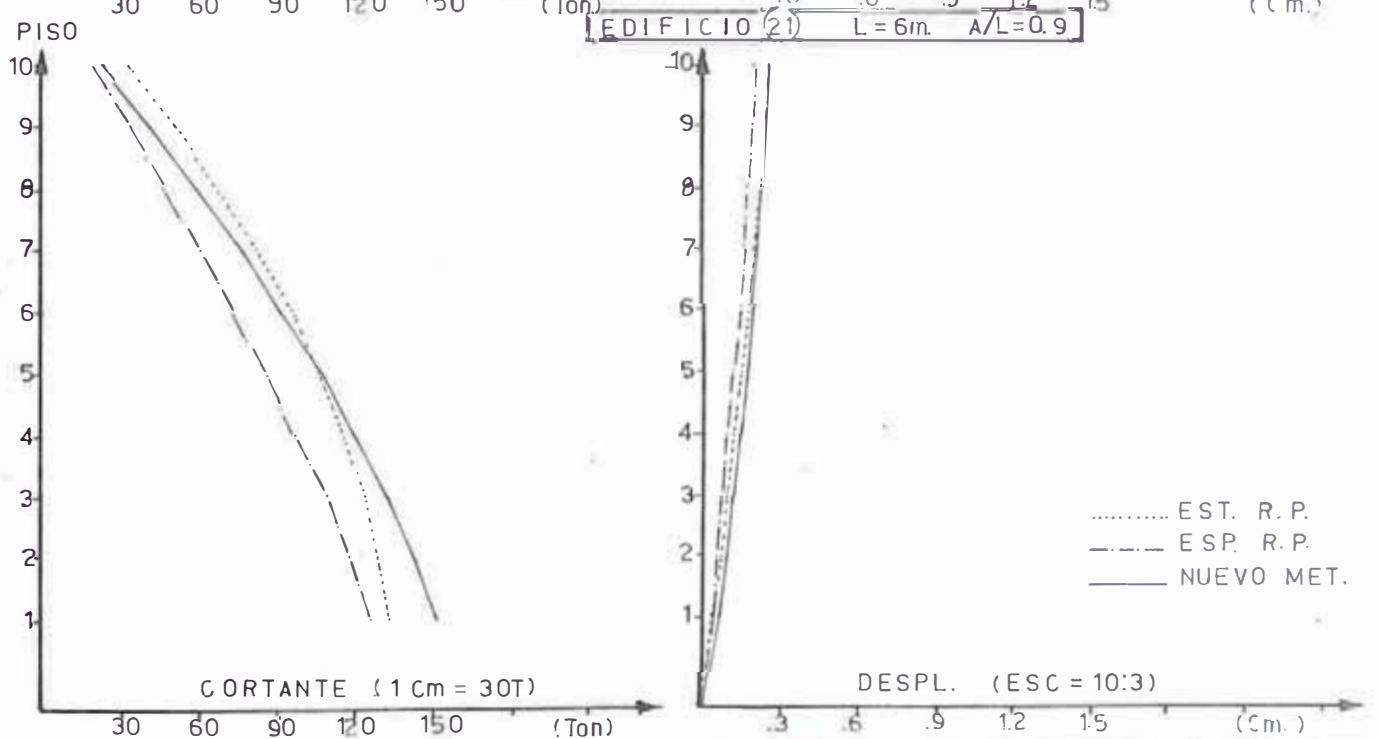
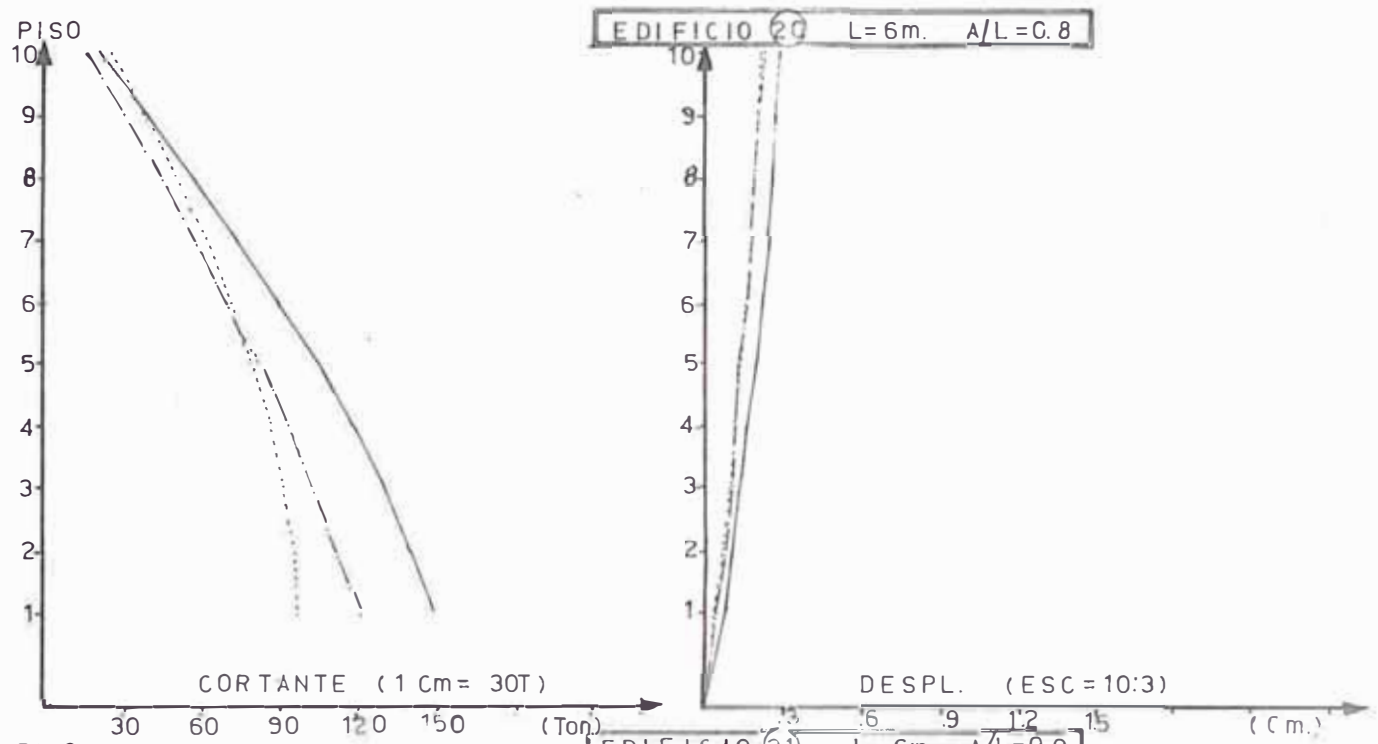
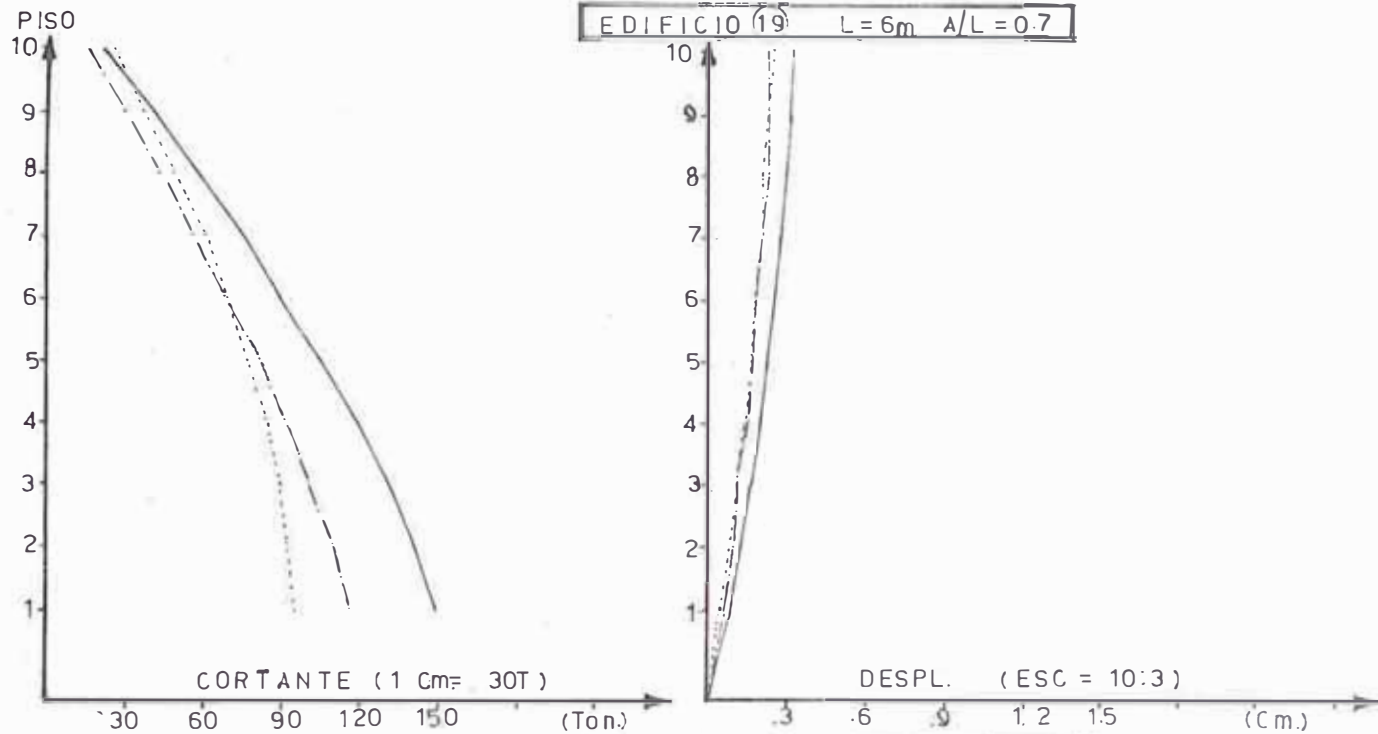


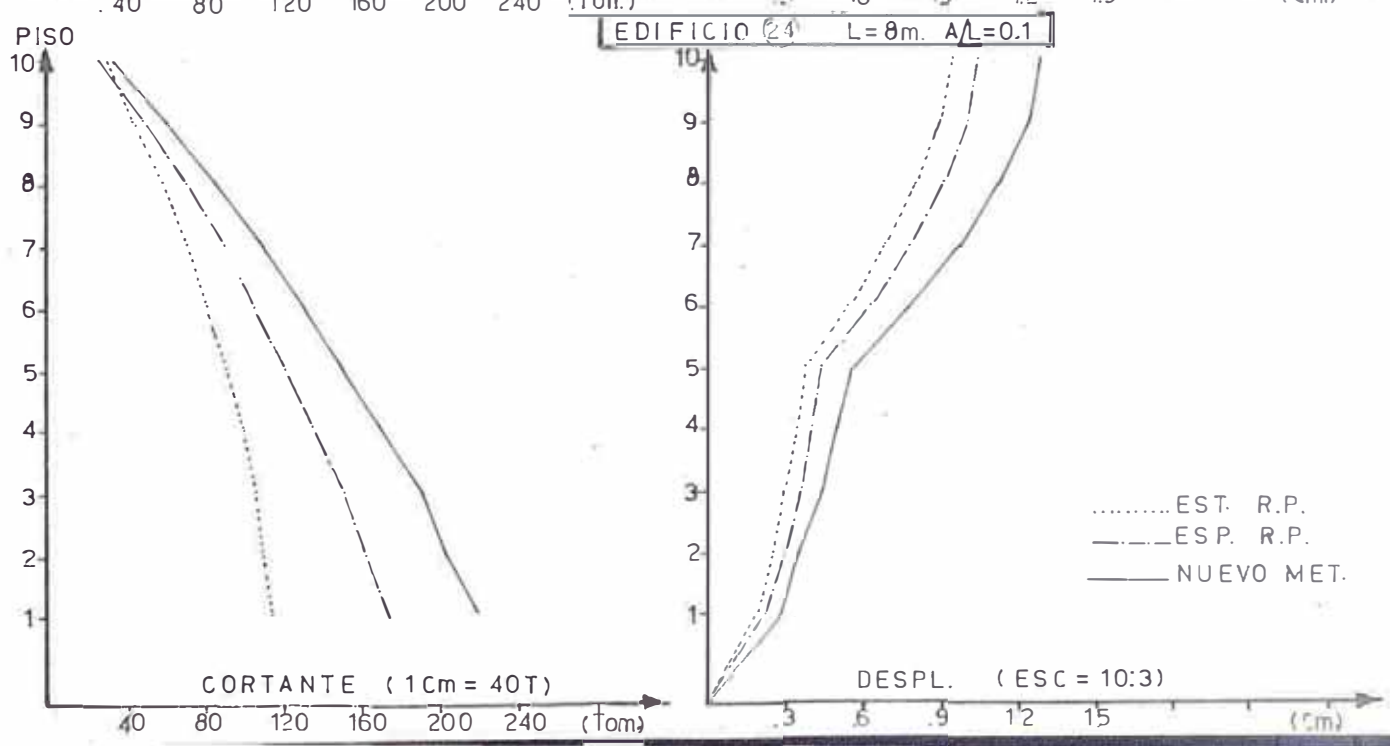
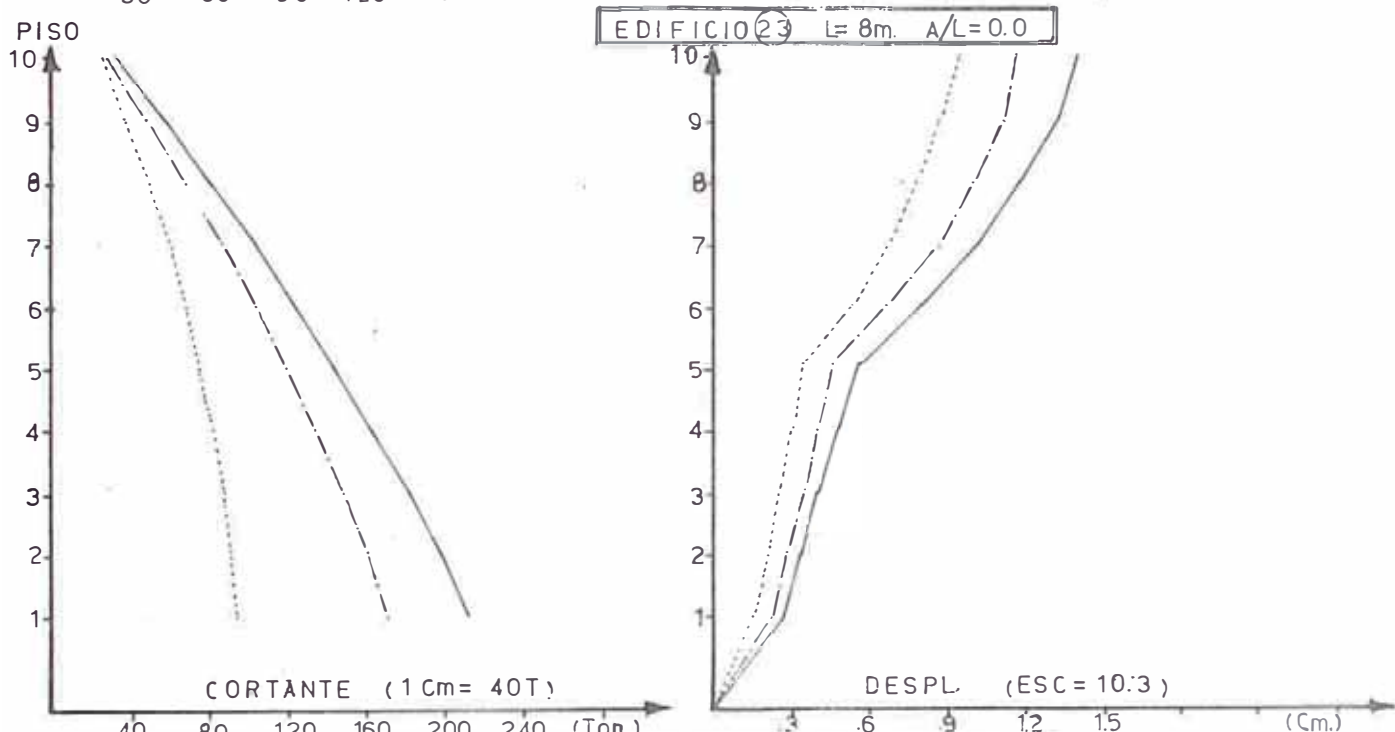
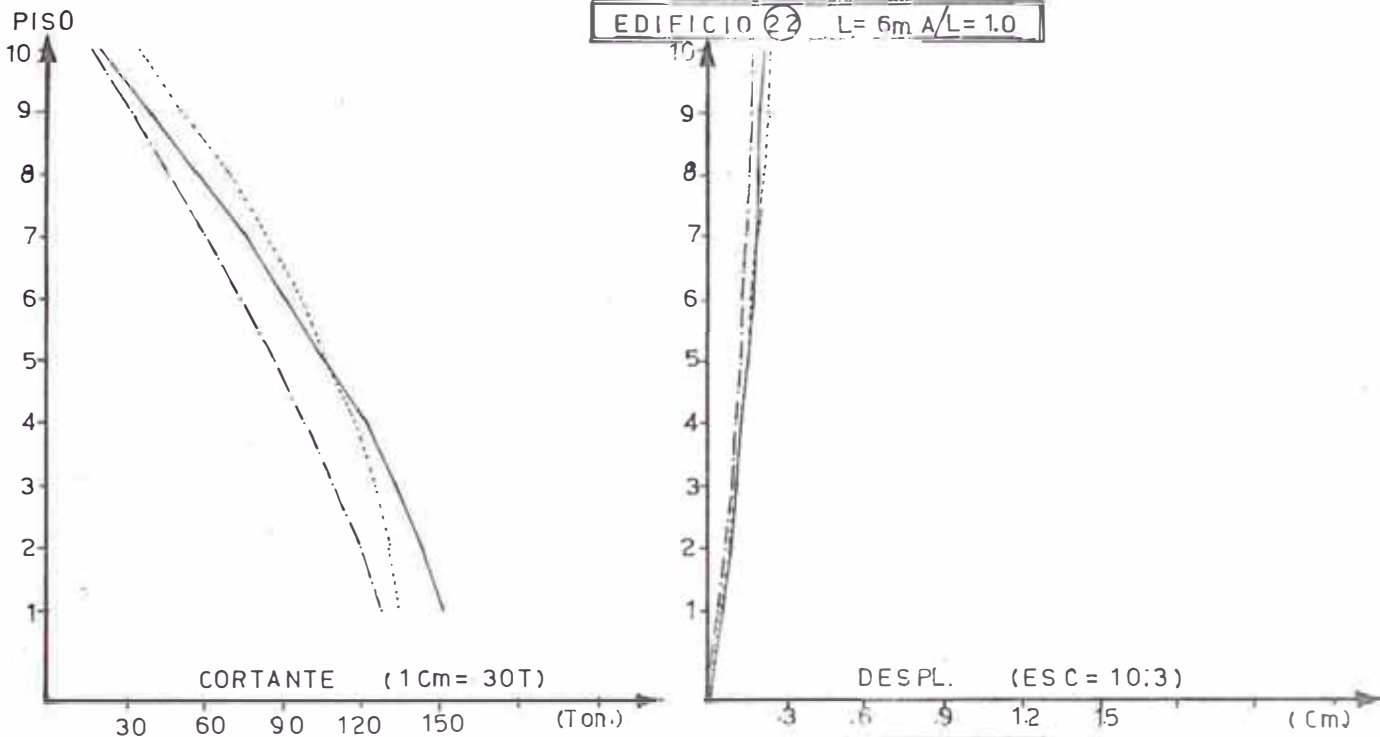
PISO

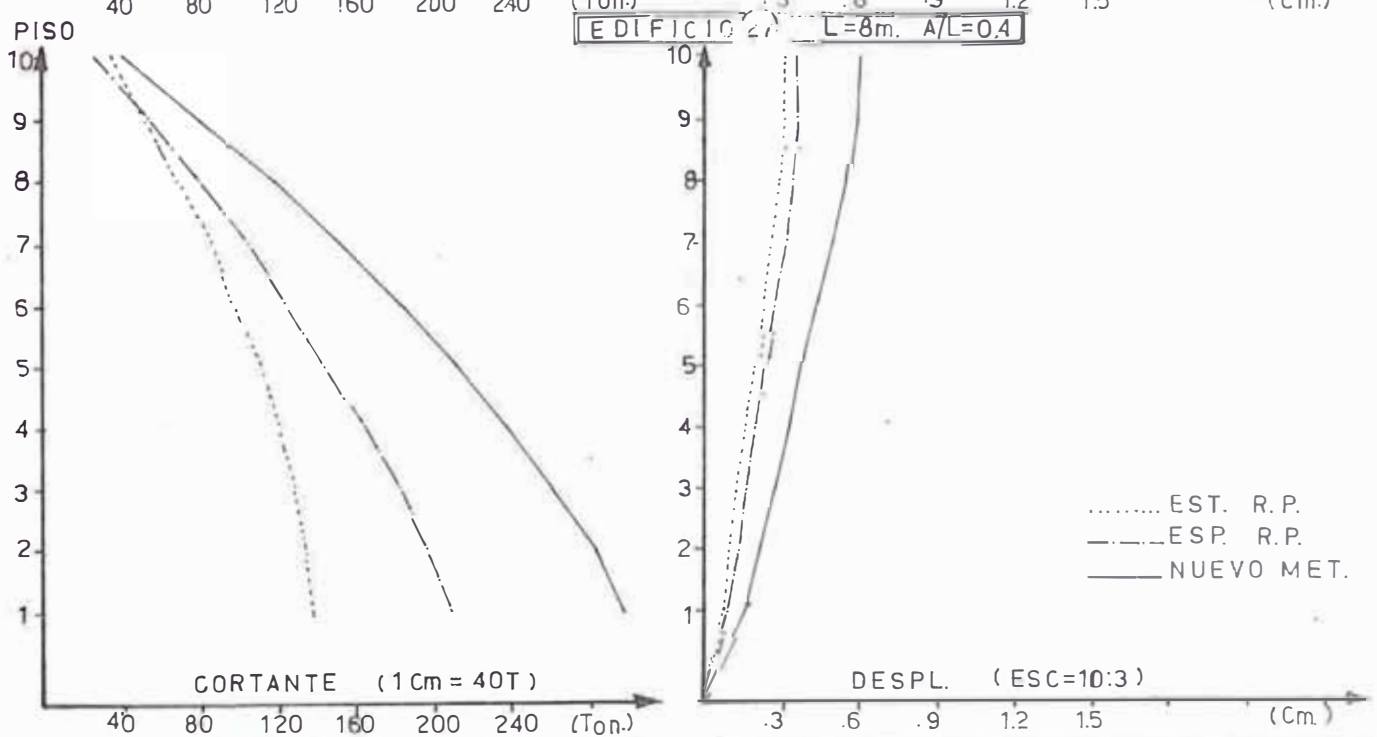
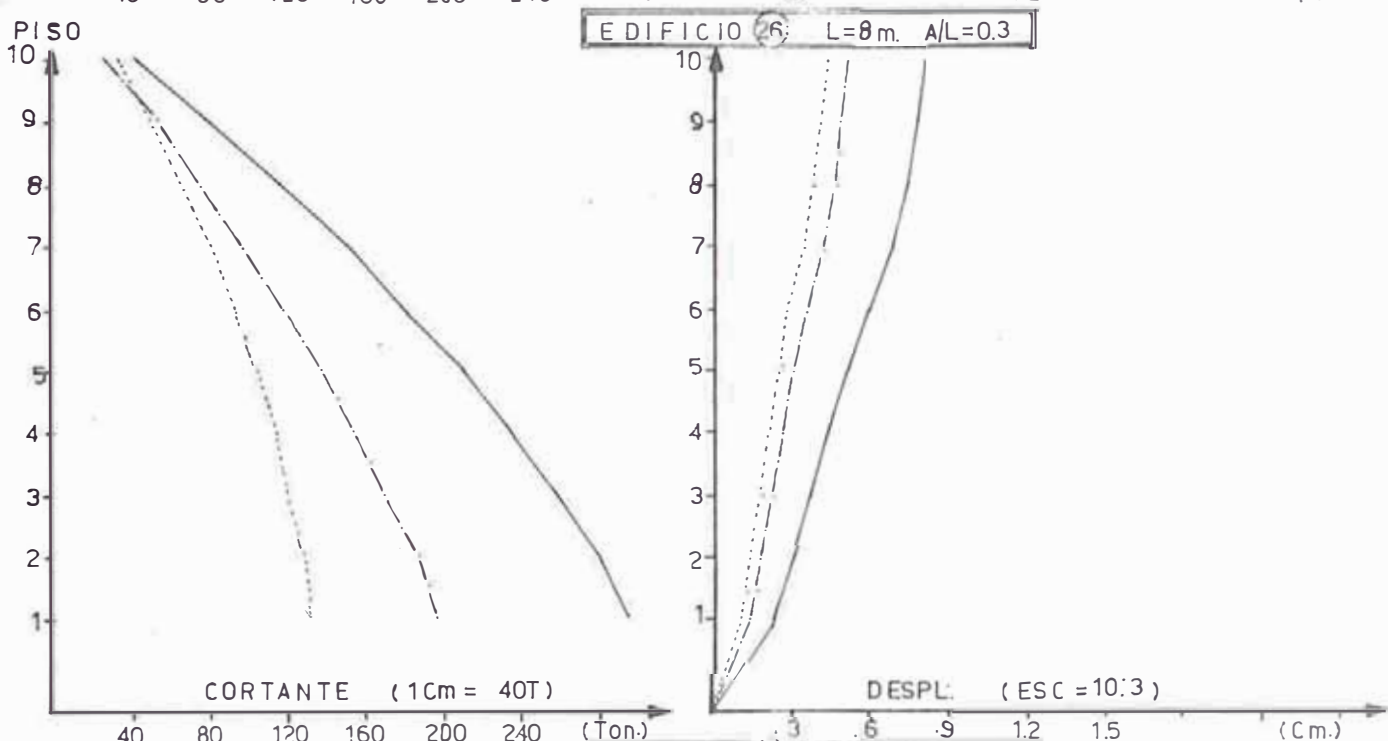
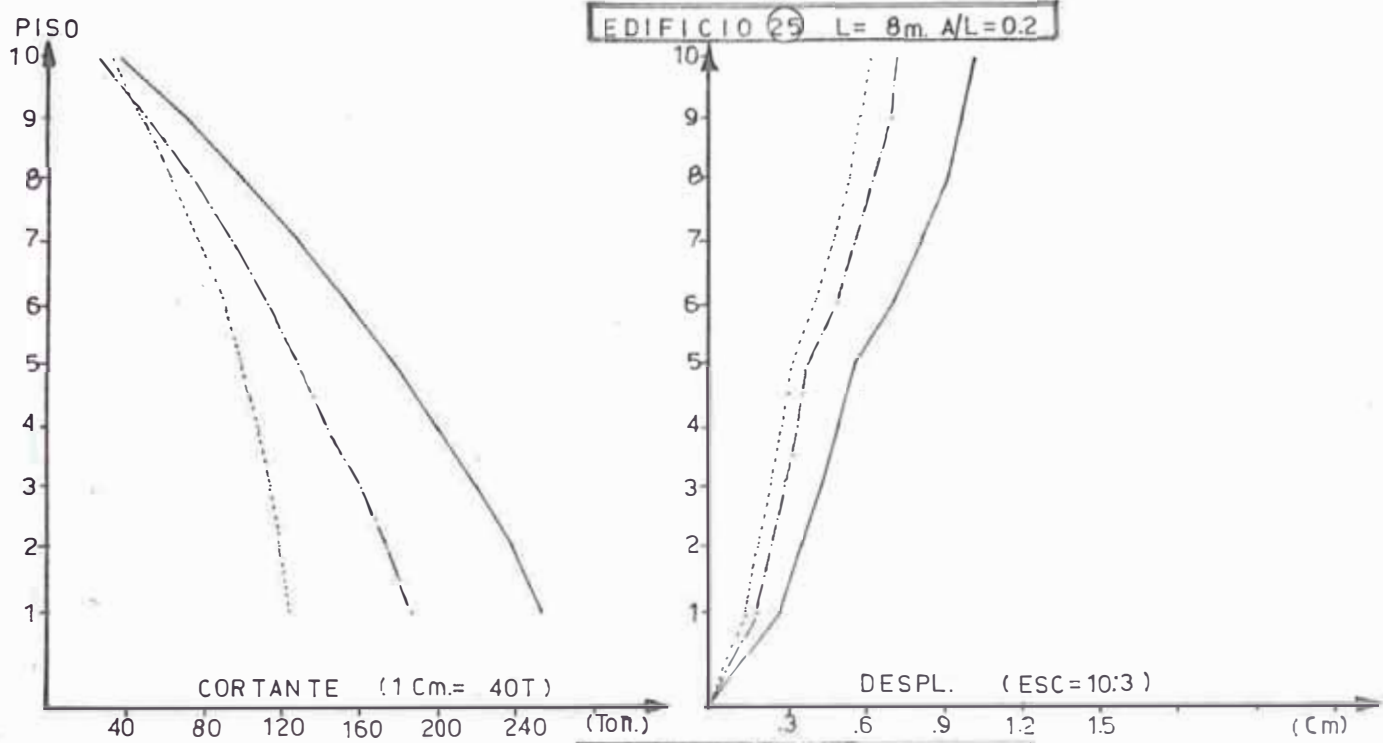
[EDIFICIO 18] L = 6 m. A/L = 0.6



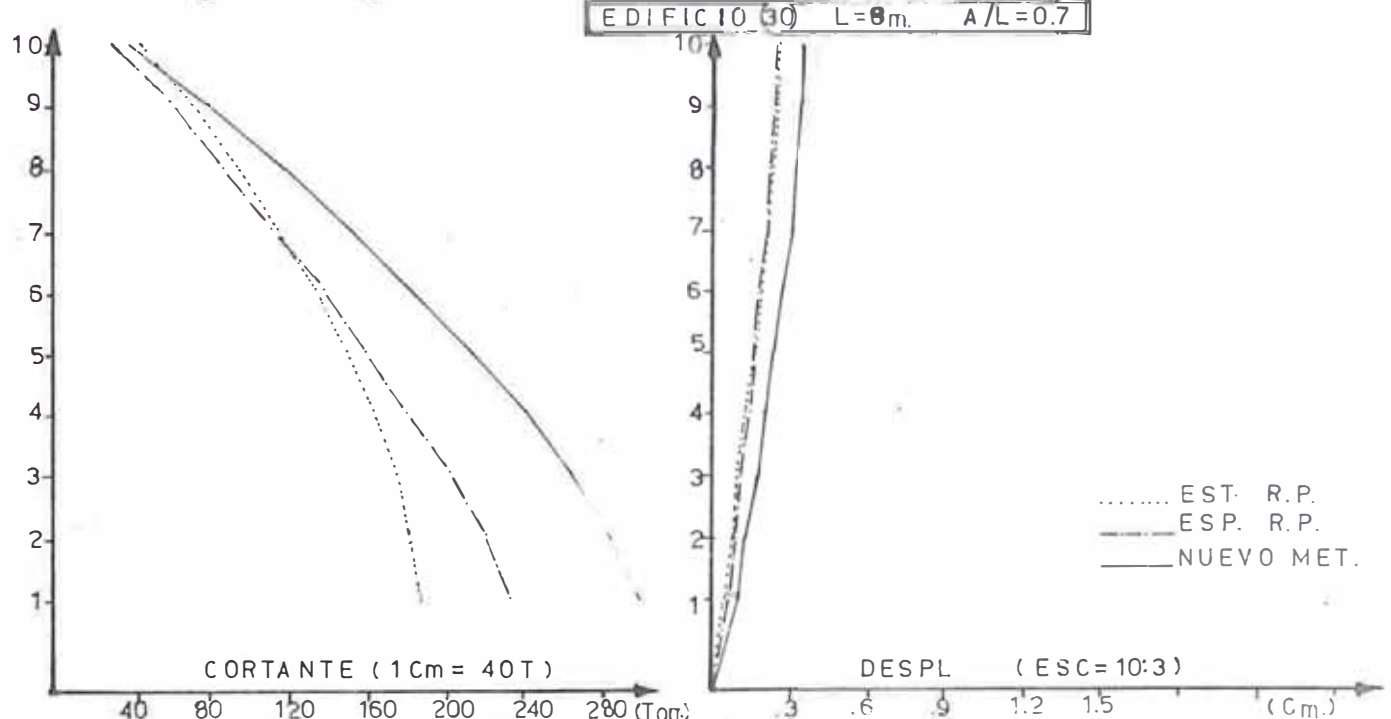
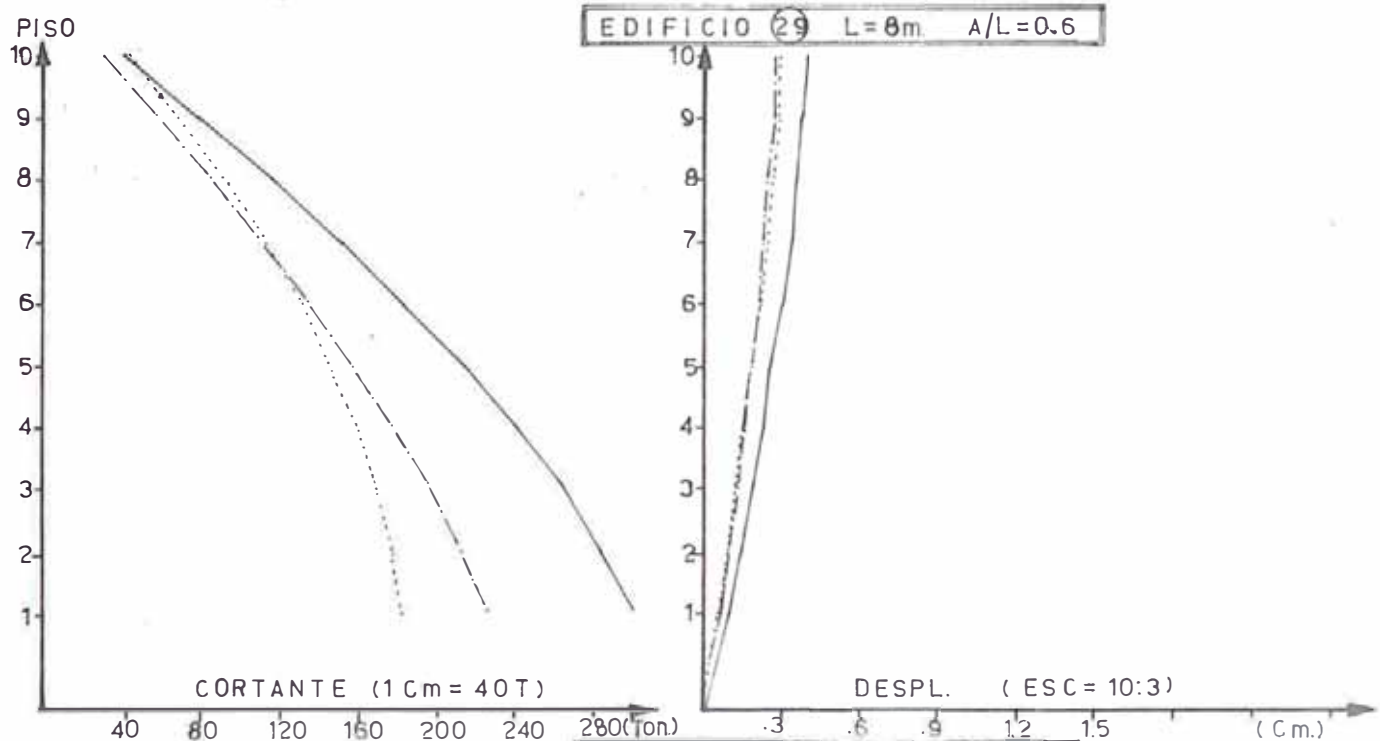
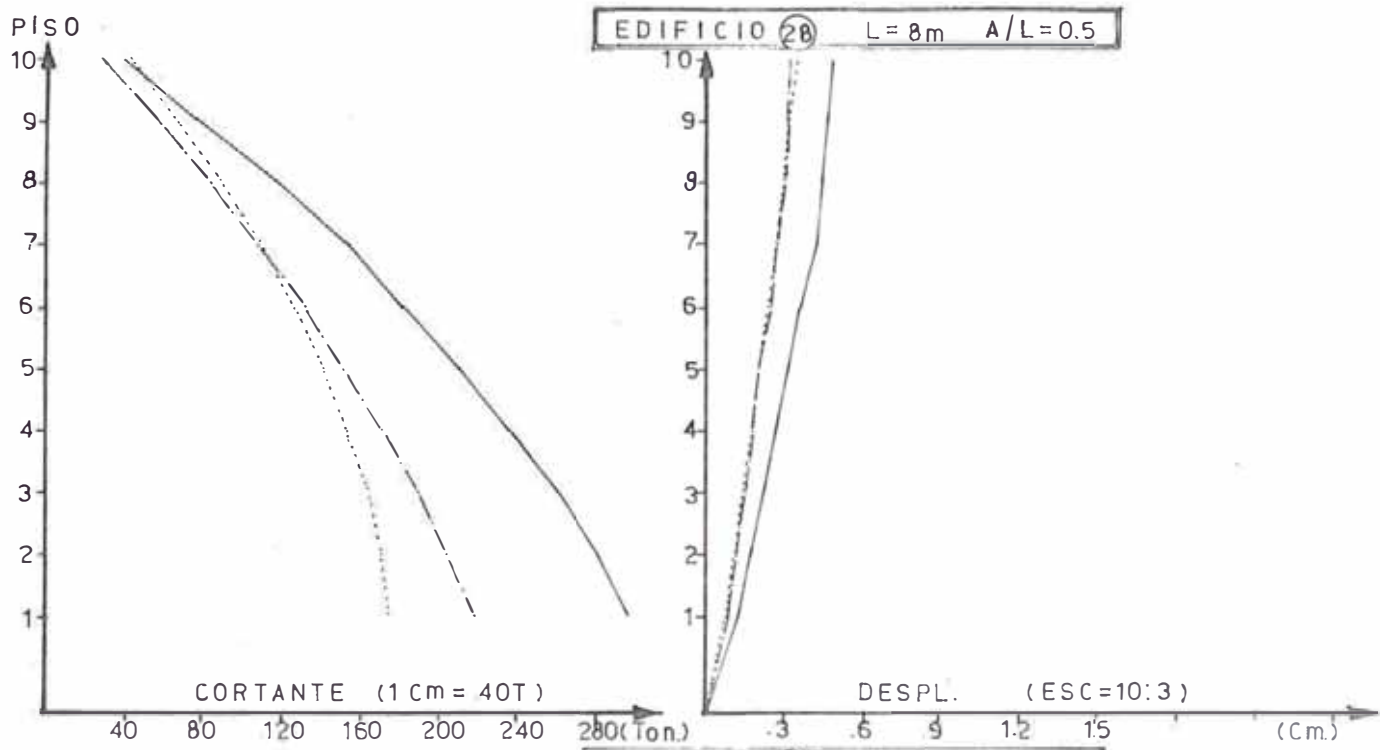
..... EST. R.P.
- - - ESP. R.P.
— NUEVO MET.

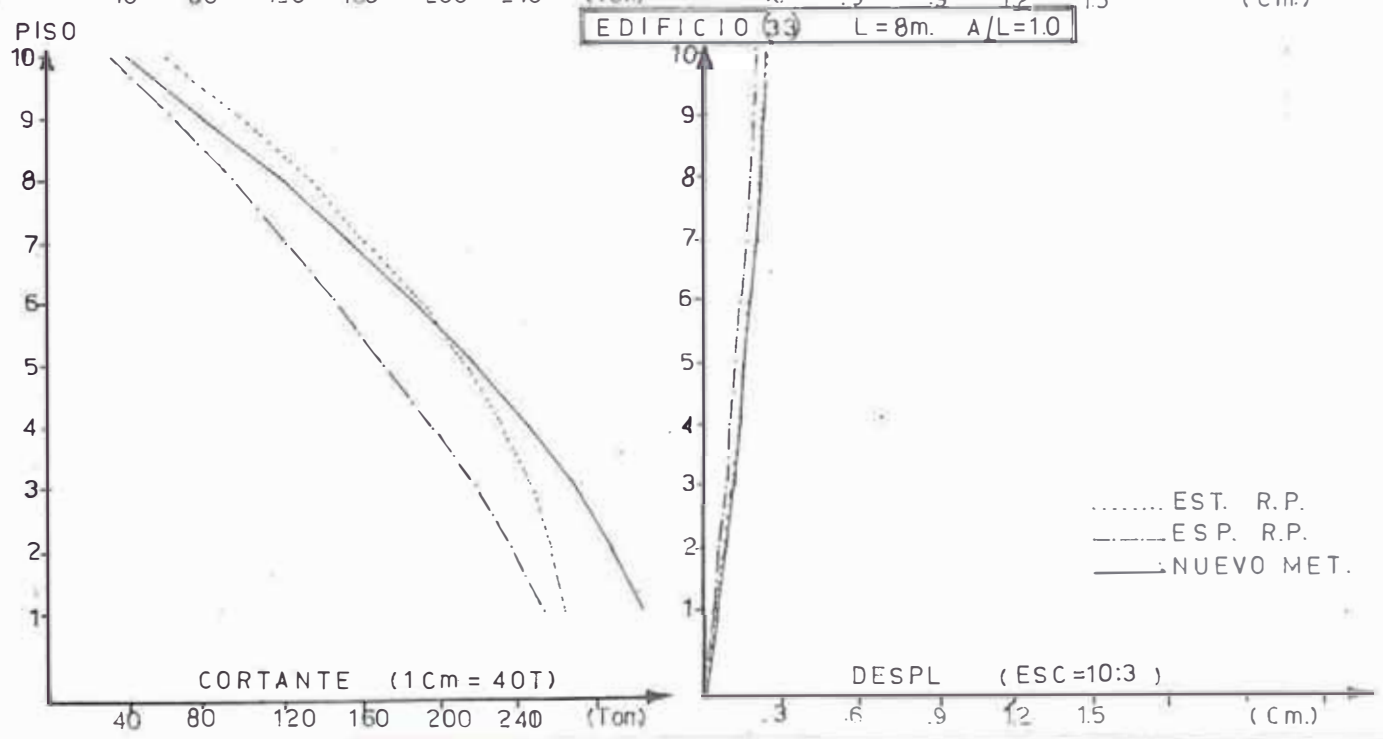
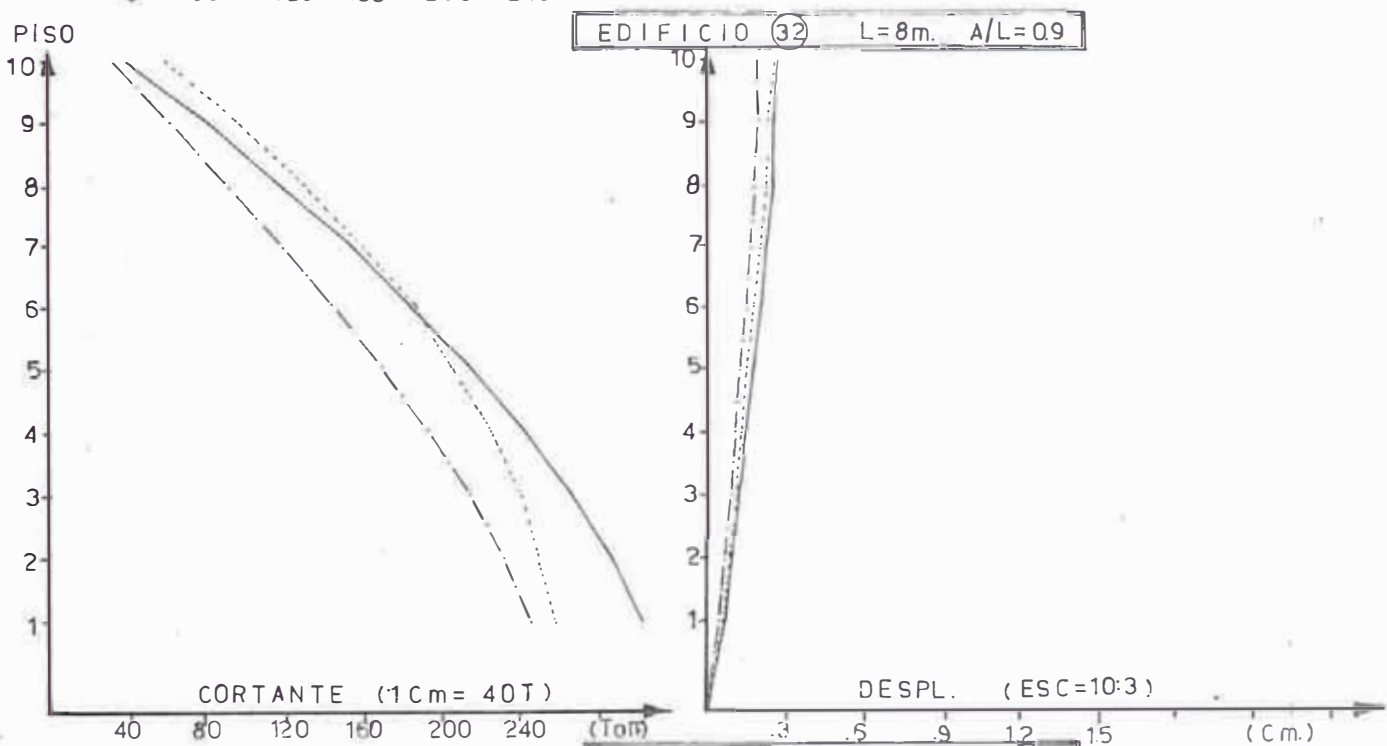
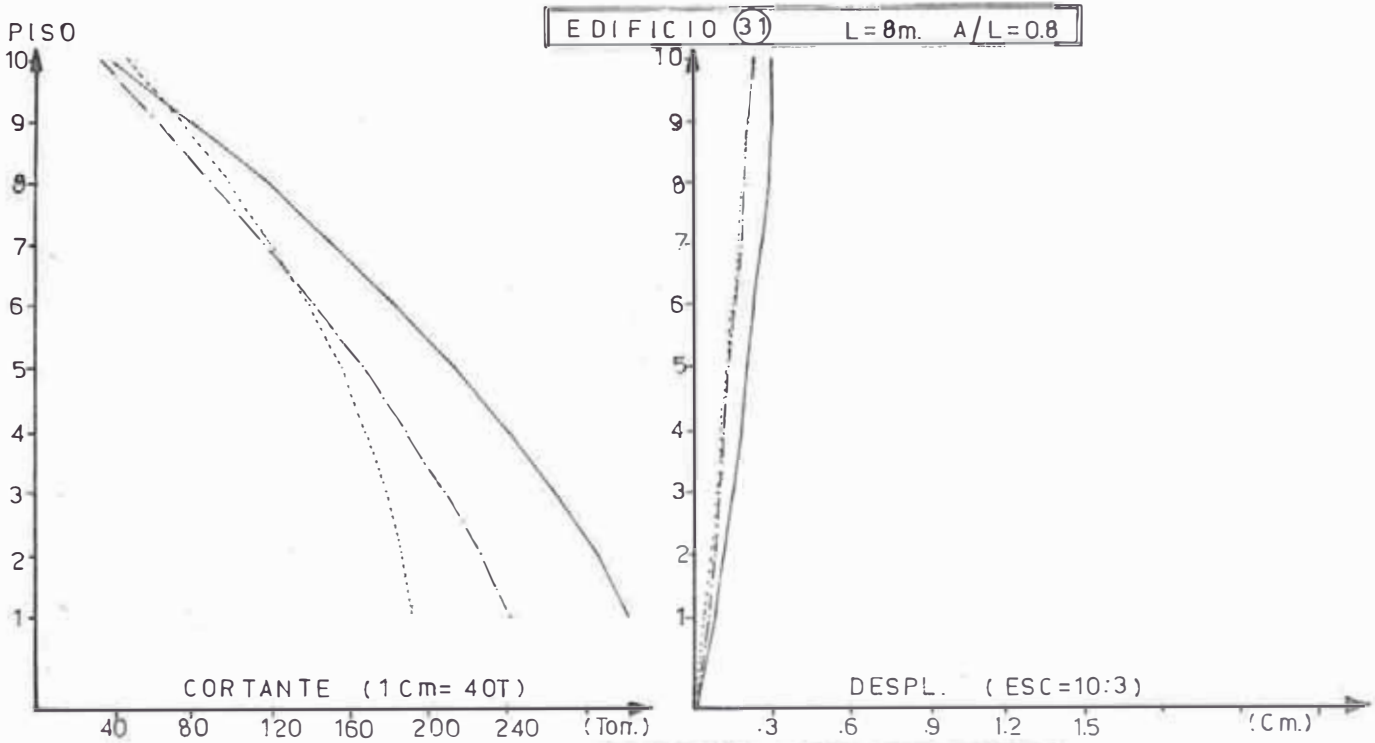






..... EST. R.P.
— ESP. R.P.
— NUEVO MET.





C A P I T U L O VII

C O N C L U S I O N E S

Muchas ventajas nos proporciona el nuevo método japonés propuesto, resaltaremos muchas de éstas que son producto de la observación y comparación con los otros métodos.

- El nuevo método japonés propuesto es el que toma más directamente las propiedades del suelo que influyen en la respuesta sísmica de estructura.

- El nuevo método es más racional y nos permite trabajar con valores más reales, estos valores dependen de cada zona en la cual se está trabajando.

- En resumen el método estático es un método espectral considerando deformación lineal para el primer modo.

- Se ha visto de la comparación que la respuesta obtenida por el método estático está gobernada por el valor que se asume para K , cuyo valor representa la rigidez. En nuestro caso cuando la relación $A/L = 0$ (que representa un edificio de vigas y columnas) se escogió $K = 0.67$ que más o menos da valores razonables; - cuando la relación A/L fue 1.0 (edificio completamente rígido, de placas) se escogió para $K = 1.33$ también los valores son semejantes al del método dinámico; pero en los casos intermedios existen mucha diferencia. En todo caso no se podrá saber qué valor de K es el que verdaderamente corresponde a determinada estructura.

- Como hemos dicho anteriormente el método estático es un método espectral para el primer modo, en igual forma el método di-

námerico espectral usando el espectro de aceleraciones $S_a = 0.05/\sqrt[3]{T \cdot g}$ empleando todos los modos siempre nos darán respuestas limitadas por dicha ecuación. En cambio el nuevo método japonés propuesto nos permite diseñar para sismos más fuertes o más bajos aumentando o disminuyendo la velocidad.

- De la comparación se deduce que el diseño por el método estático y usando el espectro teórico del R.P. equivale más o menos a una velocidad de 25 Cm/Seg.

- Se ha observado que cuando la estructura crece en planta el análisis por el método estático no se ve muy influenciado con este cambio pero el análisis por el nuevo método si se ve afectado, ya aumentan los cortantes, esto se explica porque un cambio de tal naturaleza tiende a rigidizar la estructura.

- Se nota que generalmente en el ultimo piso el cortante obtenido por el método estático es mayor que los dos métodos dinámicos tratados, esto se debe a que se está tomando como cortante adicional para el ultimo piso el 20 % del peso de los elementos que están sobre la azotea. Una forma más aproximada para el método dinámico sería considerar la azotea como un pequeño piso adicional.

- Según investigaciones se ha concluido que la velocidad es más representativa que la aceleración cuando se trata de obtener la respuesta sísmica.

- El nuevo método japonés propuesto es más funcional y nos permite jugar con los parámetros en forma directa que pueden variarse de acuerdo a las circunstancias e importancia de la estructura.

- Cuando la velocidad estandar es 40 Cm/Seg. se obtienen cortantes en la base del orden del 10 % del peso de la estructura.

- El método propuesto es aplicable a edificios de formas simples y cuyos períodos de vibración no sean mayores de 3 Seg. en tales casos se recomienda hacer estudios más exhaustivos.

- La velocidad obtenida de los mapas se ha multiplicado por un factor igual a 4. Se cree conveniente tomar esta seguridad debido a que un estudio para zonificación requiere de estudios más perfeccionados así como de datos más confiables y abundantes. Por tal motivo se sugiere mejorar dicho estudio. Se deduce que cuando se conozca la verdadera velocidad del suelo en cada zona, los diseños será bastante aproximados. (Como referencia indicaremos que Japón usa una velocidad estandar = a 60 Cm/Seg.).

- En la parte de computación se ve que una análisis de esta naturaleza no requiere de tiempos grandes de computación (como referencia señalaremos que los 33 edificios de 10 pisos fueron analizados en 8 minutos.)

Espero que este estudio sirva para tener criterios más amplios y prácticos en el análisis sísmico en nuestro medio,

A P E N D I C E A

DETERMINACION DE LOS EIGEN VALUES Y EIGEN VECTORS

DIAGONALIZACION DE JACOBI

Cuando se tiene una ecuación de la forma:

$$[A] [x] = [\lambda] [x]$$

estamos frente un típico problema EIGEN; los valores escalares de λ representan los eigen values y los valores de las columnas de X representan los eigen vectors. Esto se cumple cuando la matriz A es simétrica.

Jacobi ha desarrollado un método para resolver esta ecuación; consiste en un proceso de transformaciones sucesivas. Para tal efecto usa una matriz de transformación T , esta matriz es de la siguiente forma :

$$T = \begin{bmatrix} & p & q \\ 1 & 0 & \dots & 0 & 0 & 0 & 0 & \dots & 0 \\ 0 & 1 & \dots & 0 & 0 & 0 & 0 & \dots & 0 \\ \dots & \dots \\ 0 & 0 & \dots & 0 & 0 & -s & \dots & \dots & 0 \\ 0 & 0 & \dots & 0 & 1 & 0 & 0 & \dots & 0 \\ 0 & 0 & \dots & 0 & 0 & 1 & 0 & \dots & 0 \\ 0 & 0 & \dots & s & 0 & 0 & c & \dots & 0 \\ \dots & \dots \\ 0 & 0 & \dots & 0 & 0 & 0 & 0 & \dots & 1 \end{bmatrix}$$

$C = \text{Coseno } \theta$

$S = \text{Seno } \theta$

La propiedad fundamental de esta matriz T es la ortogonalidad, es decir :

$$[T] [T]^t = [U]$$

donde :

U = matriz unidad

t = transpuesta

Si llamamos a una columna y/o fila de T como $T(i)$ y/o $T(j)$

$$\begin{aligned} T(i) \cdot T(j) &= 1 \text{ si } i = j \\ &= 0 \text{ si } i \neq j \end{aligned}$$

Si asumimos la matriz A como primera aproximación de los eigen values tendremos:

$$\begin{aligned} A &= A_0 \\ T_1^t A_0 T_1 &= A_1 \\ T_2^t A_1 T_2 &= A_2 \\ \dots & \\ T_r^t A_{r-1} T_r &= A_r \end{aligned}$$

luego:

$$A_r = T_r^t \dots T_2^t T_1^t A T_1 T_2 \dots T_r$$

A es una matriz diagonal cuyos elementos son los eigen values; cada rotación equivale a una rotación de un ángulo θ a través del plano pq, en cada rotación la matriz A progresivamente se transforma en una matriz diagonal.

La composición de las matrices T_i da como resultado una matriz cuyas columnas son los eigen vectors.

$$\begin{bmatrix} X_T \end{bmatrix} = T_1 \ T_2 \ T_3 \ \dots \ T_r$$

Como primera aproximación para los eigen vectors se usa -- una matriz unidad

$$X_T = U \ T_1 \ T_2 \ T_3 \ \dots \ T_r$$

El valor de C y S puede hallarse resolviendo una expresión genérica

$$\Theta = T^t \ A \ T$$

$$\begin{array}{c} p \\ p \\ q \end{array} \begin{bmatrix} p & & q \\ C & 0 & 0 & S \\ 0 & 1 & 0 & 0 \\ 0 & 0 & 1 & 0 \\ -S & 0 & 0 & C \end{bmatrix} \quad \begin{bmatrix} p & & q \\ app & a & a & apq \\ a & a & a & a \\ a & a & a & a \\ aqp & a & a & aqq \end{bmatrix} \quad \begin{bmatrix} p & & q \\ C & 0 & 0 & -S \\ 0 & 1 & 0 & 0 \\ 0 & 0 & 1 & 0 \\ S & 0 & 0 & C \end{bmatrix}$$

$$bpq = app \ C^2 + 2 \ apq \ C \ S + aqq \ S^2$$

$$bpq = apq (C^2 - S^2) - (app - aqq) \ S \ C$$

$$bqq = appS^2 - 2 \ apq \ S \ C + aqq \ C$$

$$\left. \begin{array}{l} bpj = apj \ C + aqj \ S \\ bjq = -apj \ S + aqj \ C \end{array} \right\} \quad j \neq p \text{ y } q$$

Como la matriz Θ debe ser diagonal, haciendo $Bpq = 0$, se -

tiene :

$$\tan 2\theta = \frac{2 \ apq}{app - aqq}$$

Para programar estas operaciones se ha hecho las siguientes notaciones :

$$P = \frac{1}{\tan 2\theta} = \frac{app - aqq}{2 \ apq}$$

$$\cos 2\theta = C_2 = \frac{1}{\sqrt{1 + P^2}}$$

$$C = \sqrt{(1.0 + C_2) / 2.0}$$

$$S = C_2 / 2PC$$

Problema General EIGEN

Todo lo que se ha dicho anteriormente es válido sólo cuando la matriz A es simétrica y cuando la ecuación es de la forma :

$$[A][x] = [\lambda][x]$$

En el caso de antisimétrica la ecuación tiene la forma :

$$[K][x] = [M^{-1}][w^2][m][x]$$

Vamos a denotar esta ecuación en la forma :

$$[A][x] = [\lambda][B][x]$$

Si consideramos que los eigen vectors y eigen values son :

$$M = \begin{bmatrix} \overset{\Delta}{\uparrow} & \overset{\Delta}{\uparrow} & \dots & \overset{\Delta}{\uparrow} \\ x_1 & x_2 & \dots & x_n \\ \downarrow & \downarrow & & \downarrow \end{bmatrix} \quad D(\lambda) = \begin{bmatrix} \lambda_1 & 0 & \dots & 0 \\ 0 & \lambda_2 & \dots & 0 \\ \dots & \dots & \dots & \dots \\ 0 & 0 & \dots & \lambda_n \end{bmatrix}$$

Por las condiciones de ortogonalidad tenemos:

$$x_j^T x_j = 1$$

$$x_j^T x_k = 0 \quad \text{si } j \neq k$$

Dado que M son los eigen vectors se puede escribir

$$M^T A M = D(\lambda)$$

Premultiplicando y luego posmultiplicando por M y M^t respectivamente tenemos :

$$A = M D (\lambda) M^t$$

En forma análoga :

$$A^2 = M D (\lambda^2) M^t$$

$$A^{-1} = M D (\lambda^{-1}) M^t$$

$$A^{1/2} = M D (\lambda^{1/2}) M^t$$

Luego teniendo en cuenta que nuestro problema es :

$$A M = D (\lambda) B M$$

Podemos transformarlo

$$A \begin{pmatrix} -1/2 & 1/2 \\ B & B \end{pmatrix} M = D (\lambda) \begin{pmatrix} B^{1/2} & B^{1/2} \\ B^{1/2} & B^{1/2} \end{pmatrix} M$$

$$A B^{-1/2} \begin{pmatrix} B^{1/2} M \end{pmatrix} = D (\lambda) B^{1/2} \begin{pmatrix} B^{1/2} M \end{pmatrix}$$

$$(B^{-1/2} A B^{-1/2}) \begin{pmatrix} B^{1/2} M \end{pmatrix} = D (\lambda) \begin{pmatrix} B^{1/2} M \end{pmatrix}$$

Haciendo :

$$\bar{A} = B^{-1/2} A B^{-1/2}$$

$$\bar{M} = B^{1/2} M$$

$$\text{Tenemos } \bar{A} \bar{M} = D (\lambda) \bar{M}$$

Esta expresión es conocida y similar a la tratada anteriormente.

Como se puede notar los eigen values serán los mismos pero los eigen vectors deben ser transformados según la ecuación:

$$M = B^{-1/2} \bar{M}$$

Debe notarse que en nuestro caso la matriz Θ viene a ser la matriz masa y generalmente es diagonal; luego los términos de $\Theta^{-1/2}$ y $\Theta^{1/2}$ son directamente obtenidos. Para casos en que la matriz masa no sea diagonal, primero debe diagonalizarse Θ para luego, mediante la transformación indicada diagonalizar A .

B I B L I O G R A F I A

- 1.- HOUSNER, Jorge "MECANICA APLICADA - DINAMICA"
- 2.- HURTY, Walter C. y RUBINSTEIN, Moshe F. "DYNAMICS OF STRUCTURES"
- 3.- DEAN, Gordon F. "ELASTIC DESIGN FOR EARTHQUAKES MOTIONS - TECHNICAL COMMITTEE No. 14.
- 4.- NEWMARK, N.M. y ROSEMBLUTH, E. "FUNDAMENTALS OF EARTH QUAKE ENGINEERING".
- 5.- ROBERT, L. Wiegel "EARTH QUAKE ENGINEERING". Prentice Hall, Inc., 1970.
- 6.- MORALES M., Roberto. "INFLUENCE OF SHEAR WALLS TO THE STIFFNESS AND STRENGTH OF STRUCTURE".- Vol. 7. Febrero 72. International Institute of Seismology and Earth Quake Engineering - Tokyo.
- 7.- CLOUGH, Ray W. "EFECTOS DINAMICOS DE LOS SISMOS"
- 8.- HOUSNER, Jorge "ESPECTRUM ANALYSIS OF STRONG MOTION EARTH QUAKES".
- 9.- RODRIGUEZ, Carlos "INFLUENCIA DE PLACAS COMO ELEMENTOS RIGIDIZANTES DE ESTRUCTURAS DE CONCRETO ARMADO - TESIS - UNI."
- 10.- WEN-LIEH LIN "STATIC AND DYNAMIC ANALYSIS OF COMPOSITE REINFORCED CONCRETE BUILDING.- Vol. 8, Oct. 72. International Institute of Seismology and Earthquake Engineering - Tokyo - Japan.
- 11.- URDANIVIA - CANEPA "REGIONALIZACION SISMICA DEL PERU" Tesis U.P. RICARDO PALMA.
- 12.- GERE, James y Weaver, William Jr. "ANALISIS DE ESTRUCTURAS RECTICULARES".
- 13.- MERINO CABALLERO "INFLUENCIA DEL SUELO EN EL COMPORTAMIENTO SISMICO DE ESTRUCTURAS". Tesis - UNI.
- 14.- REGLAMENTO GENERAL DE CONSTRUCCIONES. LIMA-PERU "NORMAS PERUANAS DE DISEÑO ANTISISMICO"
- 15.- MORALES, Roberto "COPIAS DE CLASE DE INGENIERIA ANTISISMICA". UNI - 1972.

- 16.- MAZANORI IZUMI "ELECTRONIC COMPUTER AND ITS APPLICATION TO ANALYSIS OF STRUCTURAL DYNAMICS AND ASEISMIC DESIGN".
- 17.- McCracken, Daniel "PROGRAMACION FORTRAN IV"
- 18.- CRANDALL, S.H. "ENGINEERING ANALYSIS"
- 19.- THIRD SIMPOSIUM OF SEISMOLOGY AND EARTHQUAKE ENGINEERING Tokyo - JAPAN.
- 20.- IBM SYSTEMS "FORTRAN IV LANGUAGE. SYSTEM 360 Reference Library."